

K-2-j FISCHER

Division of Mathematics
Sectional Library

MISSION SCIENTIFIQUE
AU MEXIQUE
ET DANS L'AMÉRIQUE CENTRALE,

OUVRAGE

PUBLIÉ PAR ORDRE DU MINISTRE DE L'INSTRUCTION PUBLIQUE.

Division of Mollusks
Section of Library

RECHERCHES ZOOLOGIQUES.

fgl
421
F57
Mission scientifique...

RECHERCHES ZOOLOGIQUES
POUR SERVIR
À L'HISTOIRE DE LA FAUNE
DE L'AMÉRIQUE CENTRALE
ET DU MEXIQUE,

PUBLIÉES
SOUS LA DIRECTION DE M. MILNE EDWARDS,
MEMBRE DE L'INSTITUT.

SEPTIÈME PARTIE.

ATLAS.



PARIS.
IMPRIMERIE NATIONALE.

MCM.

198665

40
15
157
186
7
4-70

ÉTUDES

SUR

LES MOLLUSQUES TERRESTRES

ET FLUVIATILES

DU MEXIQUE ET DU GUATEMALA,

PAR

MM. P. FISCHER ET H. CROSSE.

ATLAS.

PLANCHE I.

- Fig. 1 *Strebelia Berendti*, Pfeiffer, grandeur naturelle.
Fig. 1 a Le même, grossi et vu de dos.
Fig. 1 b Le même, grossi et vu de face.
Fig. 2 *Streptostyla Nicoleti*, Shuttleworth, vu de face.
Fig. 2 a Le même, vu de dos.
Fig. 3 *Streptostyla Binneyana*, Crosse et Fischer, vu de face.
Fig. 3 a Le même, vu de dos.
Fig. 4 *Streptostyla turgidula*, Pfeiffer, vu de dos; forme typique.
Fig. 4 a La même espèce, variété β *Guatemalensis*, vue de face.
Fig. 5 *Streptostyla Delattrei*, Pfeiffer, vu de dos; forme typique.
Fig. 5 a Le même, vu de face; forme typique.
Fig. 5 b Même espèce, variété β , vue de dos.
Fig. 6 *Streptostyla cingulata*, Crosse et Fischer, vu de dos.
Fig. 6 a Le même, vu de face.
Fig. 7 *Streptostyla Shuttleworthi*, Pfeiffer, vu de face; forme typique.
Fig. 7 a Même espèce, variété β , vue de dos.
Fig. 8 *Streptostyla Blandiana*, Crosse et Fischer, vu de face.
Fig. 8 a Le même, vu de dos.
Fig. 9 *Streptostyla Boyeriana*, Crosse et Fischer, vu de face.
Fig. 9 a Le même, vu de dos.
Fig. 10 *Streptostyla glandiformis*, Crosse et Fischer, vu de dos.
Fig. 10 a Le même, vu de face.
Fig. 11 *Streptostyla fulvida*, Crosse et Fischer, vu de face.
Fig. 11 a Le même, vu de dos.
Fig. 12 *Streptostyla Sololensis*, Crosse et Fischer, vu de face.
Fig. 12 a Le même, vu de dos.
Fig. 13 *Streptostyla cornea*, Crosse et Fischer, vu de dos.
Fig. 13 a Le même, vu de face.
Fig. 14 *Streptostyla Bocourti*, Crosse et Fischer, vu de face.
Fig. 14 a Le même, vu de dos.
Fig. 15 *Streptostyla nigricans*, Pfeiffer, vu de face.
Fig. 15 a Mollusque de la même espèce, d'après un dessin de M. Bocourt.
Fig. 16 *Streptostyla mitraformis*, Shuttleworth, vu de face.
Fig. 16 a Le même, vu de dos.
Fig. 17 *Petenia ligulata*, Morelet, vu de dos.
Fig. 17 a Le même, vu de face



Arnoul del et lith

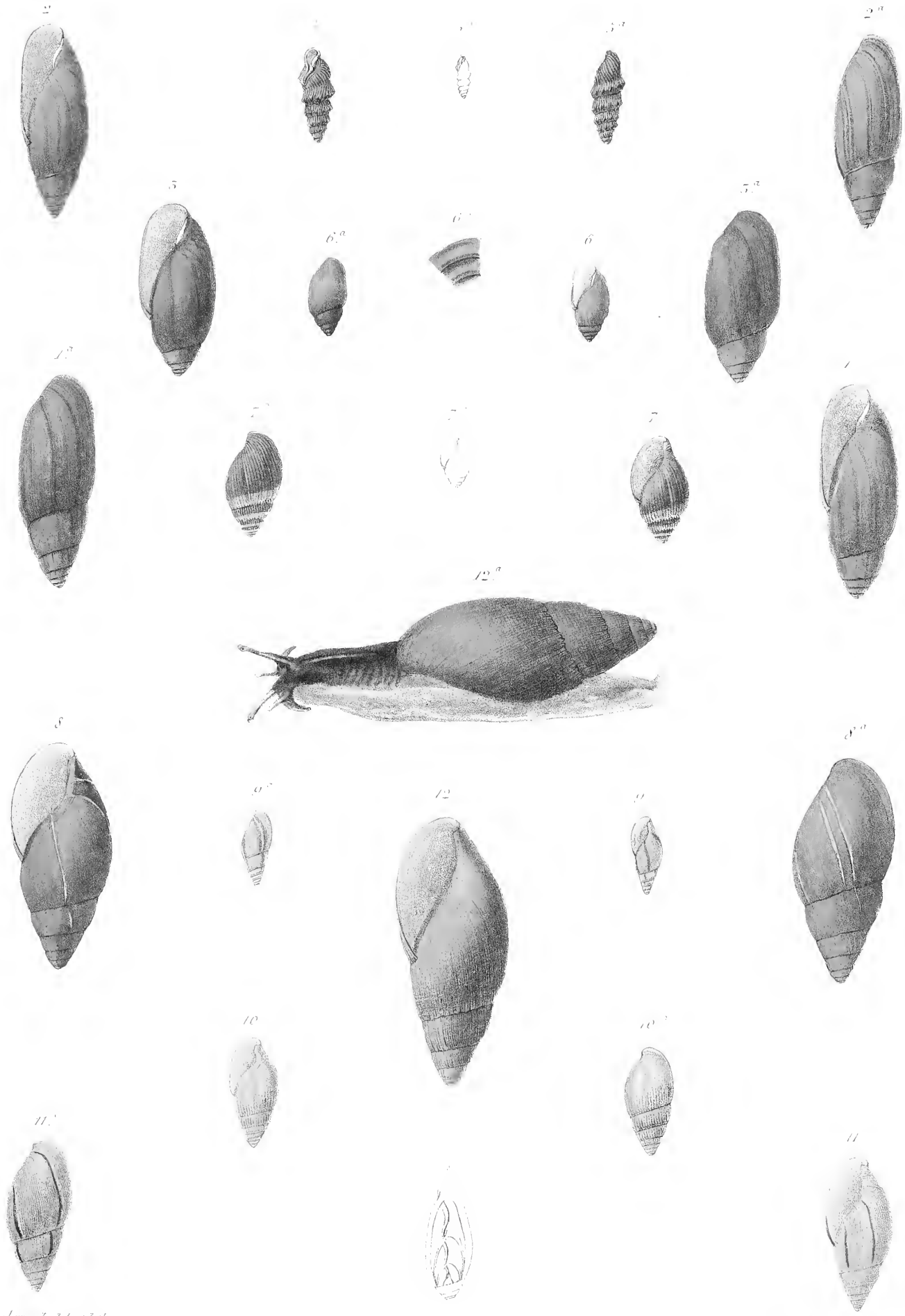
Imp. Bizeux, Paris.

Strebelia, Streptostyla, Pelenia.

MOLLUSQUES.

PLANCHE II.

- Fig. 1 *Streptostyla Sallei*, Crosse et Fischer, vu de face.
Fig. 1 a Le même, vu de dos.
Fig. 2 *Streptostyla Edwardsiana*, Crosse et Fischer, vu de face.
Fig. 2 a Le même, vu de dos.
Fig. 3 *Streptostyla Shuttleworthi*, Pfeiffer, variété γ , vu de face.
Fig. 3 a Le même, vu de dos.
Fig. 4 *Streptostyla Shuttleworthi*, Pfeiffer, ouvert, pour montrer la structure de l'axe columellaire.
Fig. 5 *Streptostyla Botteriana*, Crosse et Fischer, grossi, vu de face.
Fig. 5 a Le même, vu de dos.
Fig. 5 b Le même, de grandeur naturelle.
Fig. 6 *Streptostyla lurida*, Shuttleworth, vu de face.
Fig. 6 a Le même, vu de dos.
Fig. 6 b Grossissement partiel de deux tours de spire, pour montrer le mode de canaliculation de la suture.
Fig. 7 *Glandina nana*, Shuttleworth, grossi, vu de face.
Fig. 7 a Le même, vu de dos.
Fig. 7 b Le même, de grandeur naturelle.
Fig. 8 *Glandina Orizabæ*, Pfeiffer, vu de face.
Fig. 8 a Le même, vu de dos.
Fig. 9 *Glandina stigmatica*, Shuttleworth, vu de face.
Fig. 9 a Le même vu de dos.
Fig. 10 *Glandina speciosa*, Pfeiffer, vu de face.
Fig. 10 a Le même, vu de dos.
Fig. 11 *Glandina Cordovana*, Pfeiffer, vu de face.
Fig. 11 a Le même, vu de dos.
Fig. 12 *Glandina plicatula*, Pfeiffer, vu de face.
Fig. 12 a Mollusque de la même espèce, d'après un dessin de M. Bocourt.



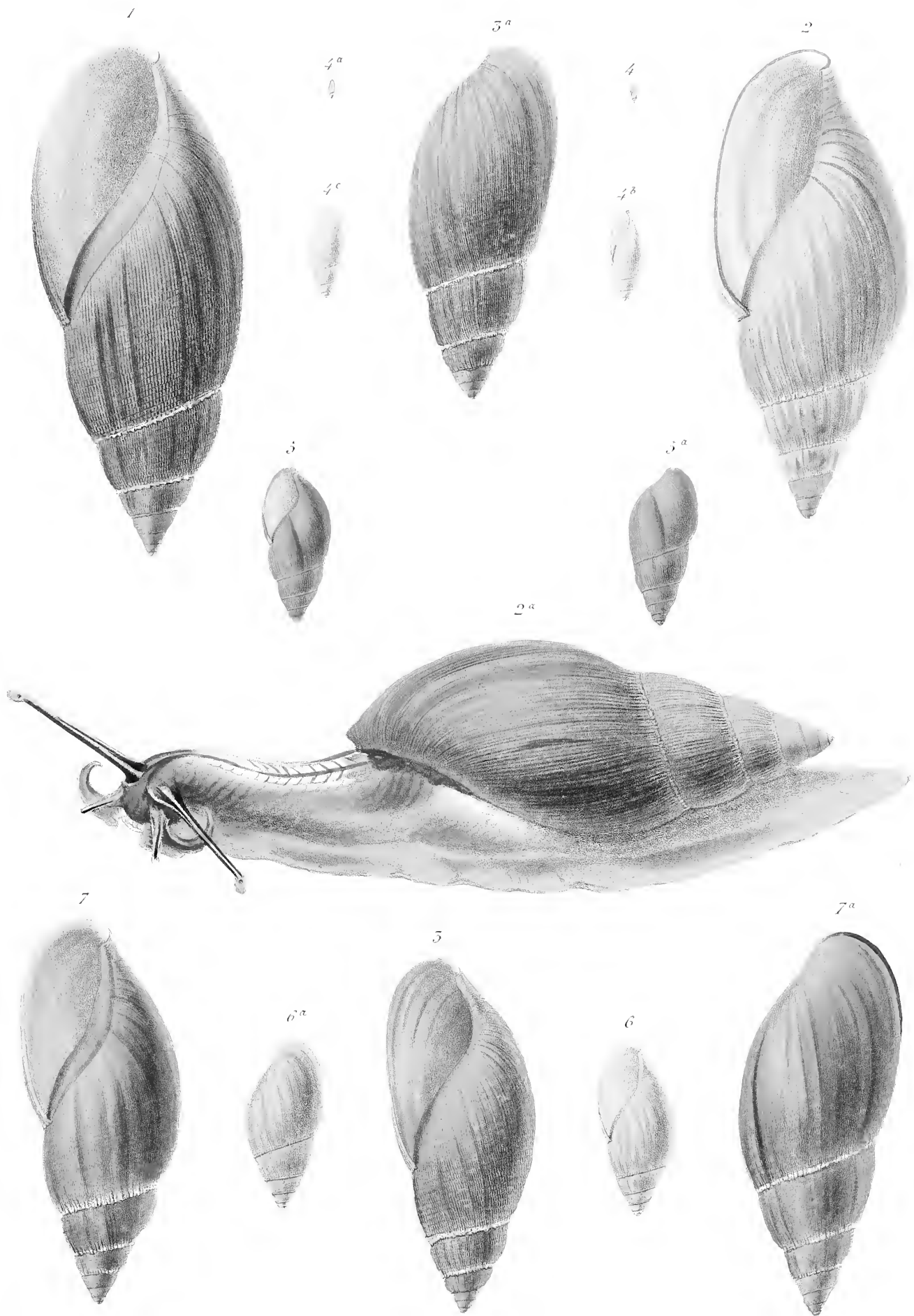
Arnoul del. et lith

Bequet Paris

Streptosylla glandina.

PLANCHE III.

- Fig. 1 *Glandina lignaria*, Reeve, vu de face.
Fig. 2 *Glandina fusiformis*, Pfeiffer, variété β , vu de face.
Fig. 2 a Même espèce, forme typique, avec son Mollusque, d'après un dessin de M. Bocourt.
Fig. 3 *Glandina guttata*, Crosse et Fischer, vu de face.
Fig. 3 a Le même, vu de dos.
Fig. 4 *Glandina perpusilla*, Pfeiffer, de grandeur naturelle, vu de face.
Fig. 4 a Le même, de grandeur naturelle, vu de dos.
Fig. 4 b Le même, grossi, vu de face.
Fig. 4 c Le même, grossi, vu de dos.
Fig. 5 *Glandina monilifera*, Pfeiffer, variété β , vu de face.
Fig. 5 a Le même, vu de dos.
Fig. 6 *Glandina Ghiesbreghtii*, Pfeiffer, variété β , vu de face.
Fig. 6 a Le même, vu de dos.
Fig. 7 *Glandina aurata*, Morelet, vu de face.
Fig. 7 a Le même, vu de dos.



Arnoul del. et lith.

Imp. Bécquet à Paris

Glandina.

MOLLUSQUES.

PLANCHE IV.

- Fig. 1 Organes digestifs du *Streptostyla Sololensis*. La langue est en complète rétraction : *a*, poche linguale ; *b*, ses muscles protracteurs ; *c*, ses muscles rétracteurs ; *d*, aponevrose qui maintient la courbure postérieure de la poche linguale ; *e*, œsophage ; *f*, première portion de l'estomac ; *g*, portion pylorique de l'estomac ; *h*, canaux biliaires ; *i*, intestin ; *k*, glandes salivaires ; *l*, leurs conduits excréteurs.
- Fig. 2 Plaque linguale du même. Partie centrale.
- Fig. 3 Plaque linguale du même. Dents marginales.
- Fig. 4 Organes génitaux du même : *a*, orifice commun ; *b*, verge ; *c*, son muscle rétracteur ; *d*, portion libre du canal déférent ; *e*, prostate déférente ; *f*, vagin ; *g*, poche copulatrice ; *h*, son col ; *i*, matrice ; *k*, glande albuminipare ; *l*, canal excréteur de la glande en grappe ; *m*, glande en grappe.
- Fig. 5 Système nerveux du même : *a*, ganglions sus-œsophagiens ; *b*, ganglions sous-œsophagiens antérieurs ; *c*, ganglions sous-œsophagiens moyens ; *d*, ganglions sous-œsophagiens postérieurs ; *e*, ganglions stomato-gastriques ; *f*, *g*, commissures des ganglions sus-œsophagiens et sous-œsophagiens ; *h*, commissure des ganglions sus-œsophagiens et stomato-gastriques.
- 1^o Nerf tentaculaire supérieur ; 2^o nerf tentaculaire inférieur ; 3^o nerf tégumentaire du tentacule supérieur ; 4^o nerf tégumentaire du tentacule inférieur ; 5^o nerf labial inférieur ; 6^o nerfs accompagnant l'aorte abdominale ; 7^o nerfs de la partie antérieure du pied ; 8^o nerfs des téguments du cou et des organes génitaux.
- Fig. 6 Plaque linguale du *Glandina Sowerbyana* : *a*, dents rachiales ; *b*, dents latérales.
- Fig. 7, 8, 9 Dents latérales de *Glandina Sowerbyana*.
- Fig. 10 Plaque linguale de *Glandina Algira* : *a*, dents rachiales ; *b*, dents latérales.
- Fig. 11 Œuf de *Glandina Andebardi*, de grandeur naturelle.
- Fig. 12 Coquille embryonnaire contenue dans cet œuf.
- Fig. 13 Même coquille, grossie.
- Fig. 14 Dent rachiale de *Glandina truncata*, d'après Binney et Bland.
- Fig. 15 Dent rachiale de *Glandina Albersi*, d'après Binney et Bland.



P. Fischer del.

Anatomie des Streptostyla et des Glandina.

PLANCHE V.

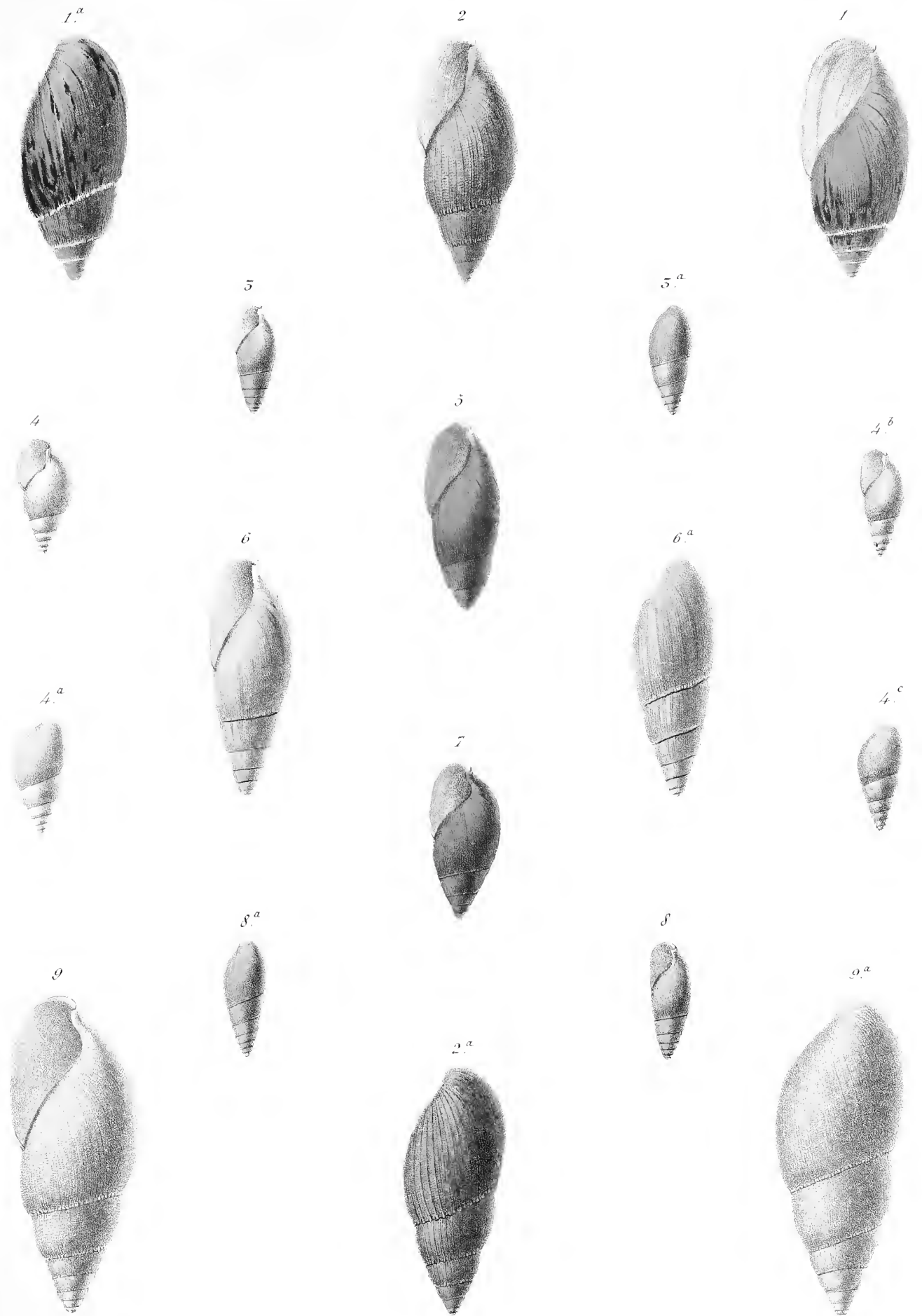
- Fig. 1 Organes digestifs du *Glandina Sowerbyana* : *a*, poche linguale; *b*, pharynx; *c*, muscles protracteurs de la poche linguale; *d*, muscles rétracteurs de la poche linguale; *e*, œsophage; *g*, glandes salivaires; *h*, leurs canaux excréteurs; *i*, estomac; *k*, intestin.
- Fig. 2 Pharynx ouvert du *Glandina fusiformis* : *a*, lèvres; *b*, muscles latéraux intrinsèques du pharynx; *c*, œsophage; *d*, canaux excréteurs des glandes salivaires; *e*, extrémité antérieure de la langue.
- Fig. 3 Langue du *Glandina Sowerbyana* : *a*, muscles protracteurs antérieurs de la langue; *b*, muscles protracteurs de la base de la langue; *c*, muscles latéraux diducteurs.
- Fig. 4 Muscle lingual du *Glandina fusiformis* : *a*, muscle lingual propre; *b*, faisceaux tenseurs de la plaque linguale.
- Fig. 5 Organes génitaux du *Glandina Sowerbyana* : *a*, orifice commun; *b*, verge; *c*, son muscle rétracteur; *d*, portion libre du canal déférent; *e*, prostate déférente; *f*, vagin; *g*, poche copulatrice; *h*, son col; *i*, matrice; *k*, glande albuminipare; *l*, canal excréteur de la glande en grappe; *m*, glande en grappe; *n*, portion adhérente du canal déférent.
- Fig. 6 Système nerveux du *Glandina Sowerbyana* : *a*, ganglions sus-œsophagiens; *b*, ganglions sous-œsophagiens antérieurs; *c*, ganglions sous-œsophagiens moyens; *d*, ganglions sous-œsophagiens postérieurs; *e*, ganglions stomato-gastriques; *f*, *g*, commissures des ganglions sus-œsophagiens et sous-œsophagiens; *h*, commissures des ganglions sus-œsophagiens et stomato-gastriques.
- 1° Nerf tentaculaire supérieur; 2° son nerf accessoire; 3° nerf tégumentaire du tentacule supérieur; 4° nerf tégumentaire du tentacule inférieur; 5° nerf tentaculaire inférieur; 6° son nerf accessoire; 7° rameau pharyngien du nerf tentaculaire inférieur; 8° nerf labial inférieur; 9° nerf compris entre les commissures des ganglions sus-œsophagiens et sous-œsophagiens; 10° nerfs de la partie antérieure du pied; 11° nerf de la poche génitale commune; 12° nerf de l'orifice génital; 13° nerfs des téguments du cou; 14° nerfs de la verge; 15° nerf de la matrice; 16° nerf du collier et de la poche pulmonaire; 17°, 18°, nerfs accompagnant l'aorte abdominale et se distribuant aux viscères du tortillon; 19°, 20°, nerfs des muscles du pied; 21° nerfs du muscle columellaire et des muscles rétracteurs; 22°, 23°, nerfs de la poche linguale; 24° nerfs œsophagiens; 25° nerfs des canaux excréteurs des glandes salivaires; 26° nerfs se distribuant à l'embouchure des canaux excréteurs des glandes salivaires.
- Fig. 7 Distribution des nerfs dans les palpes labiaux : *a*, tronc principal du nerf tentaculaire inférieur; *b*, nerf accessoire; *c*, rameau pharyngien; *d*, renflement ganglionnaire; *e*, nerf tentaculaire inférieur; *f*, *g*, *h*, nerfs du palpe labial; *i*, nerf tégumentaire du tentacule supérieur; *k*, nerf tégumentaire du tentacule inférieur; *l*, nerf labial inférieur; *m*, palpe labial; *n*, ganglion sus-œsophagien.

P. Fischer, del.

Anatomie des Glandina.

PLANCHE VI.

- Fig. 1 *Glandina indusiata*, Pfeiffer, vu de face.
Fig. 1 a Le même, vu de dos.
Fig. 2 *Glandina insignis*, Pfeiffer, vu de face.
Fig. 2 a Le même, vu de dos.
Fig. 3 *Glandina difficilis*, Crosse et Fischer, vu de face.
Fig. 3 a Le même, vu de dos.
Fig. 4 *Glandina ambigua*, Pfeiffer, vu de face.
Fig. 4 a Le même, vu de dos.
Fig. 4 b *Glandina Berendti*, Pfeiffer, vu de face.
Fig. 4 c Le même, vu de dos.
Fig. 5 *Glandina filosa*, Pfeiffer, vu de face.
Fig. 6 *Glandina longula*, Crosse et Fischer, vu de face.
Fig. 6 a Le même, vu de dos.
Fig. 7 *Glandina conferta*, Pfeiffer, vu de face.
Fig. 8 *Glandina bellula*, Crosse et Fischer, vu de face.
Fig. 8 a Le même, vu de dos.
Fig. 9 *Glandina Nympha*, Crosse et Fischer, vu de face.
Fig. 9 a Le même vu de dos.



Arnoul del et lith

Imp. Bequet à Paris

Glandina.

PLANCHE VII.

- Fig. 1 *Zonites euryomphalus*, Pfeiffer, vu de face.
Fig. 1 a Le même, vu du côté de l'ombilic.
Fig. 1 b Le même, avec son Mollusque, d'après un dessin de M. Bocourt.
Fig. 2 *Zonites metonomasticus*, Crosse et Fischer, vu de face.
Fig. 2 a Le même, vu du côté de la spire.
Fig. 3 *Zonites caducus*, Pfeiffer, vu de face.
Fig. 3 a Le même, vu du côté de l'ombilic.
Fig. 3 b Variété β de la même espèce, vue du côté de la spire.
Fig. 4 *Zonites lucubratus*, Say, var. β , vu de face.
Fig. 4 a Le même, vu du côté de la spire.
Fig. 5 *Zonites bilineatus*, Pfeiffer, var. β , vu de face.
Fig. 5 a Le même, vu de dos.
Fig. 5 b Même espèce, var. δ , vue de face.
Fig. 6 *Zonites Tuxtlensis*, Crosse et Fischer, vu de face.
Fig. 6 a Le même, vu du côté de la spire.
Fig. 7 *Zonites Paradensis*, Pfeiffer, var. β , vu de face.
Fig. 7 a Le même, vu du côté de la spire.
Fig. 8 *Zonites Veracruzensis*, Pfeiffer, vu de face et grossi.
Fig. 8 a Le même, vu du côté de l'ombilic et grossi.
Fig. 8 b Le même, au trait et de grandeur naturelle.
Fig. 9 *Zonites Selenkai*, Pfeiffer, vu de face et grossi.
Fig. 9 a Le même, au trait, vu de face et de grandeur naturelle.
Fig. 9 b Le même, vu de dos et grossi.



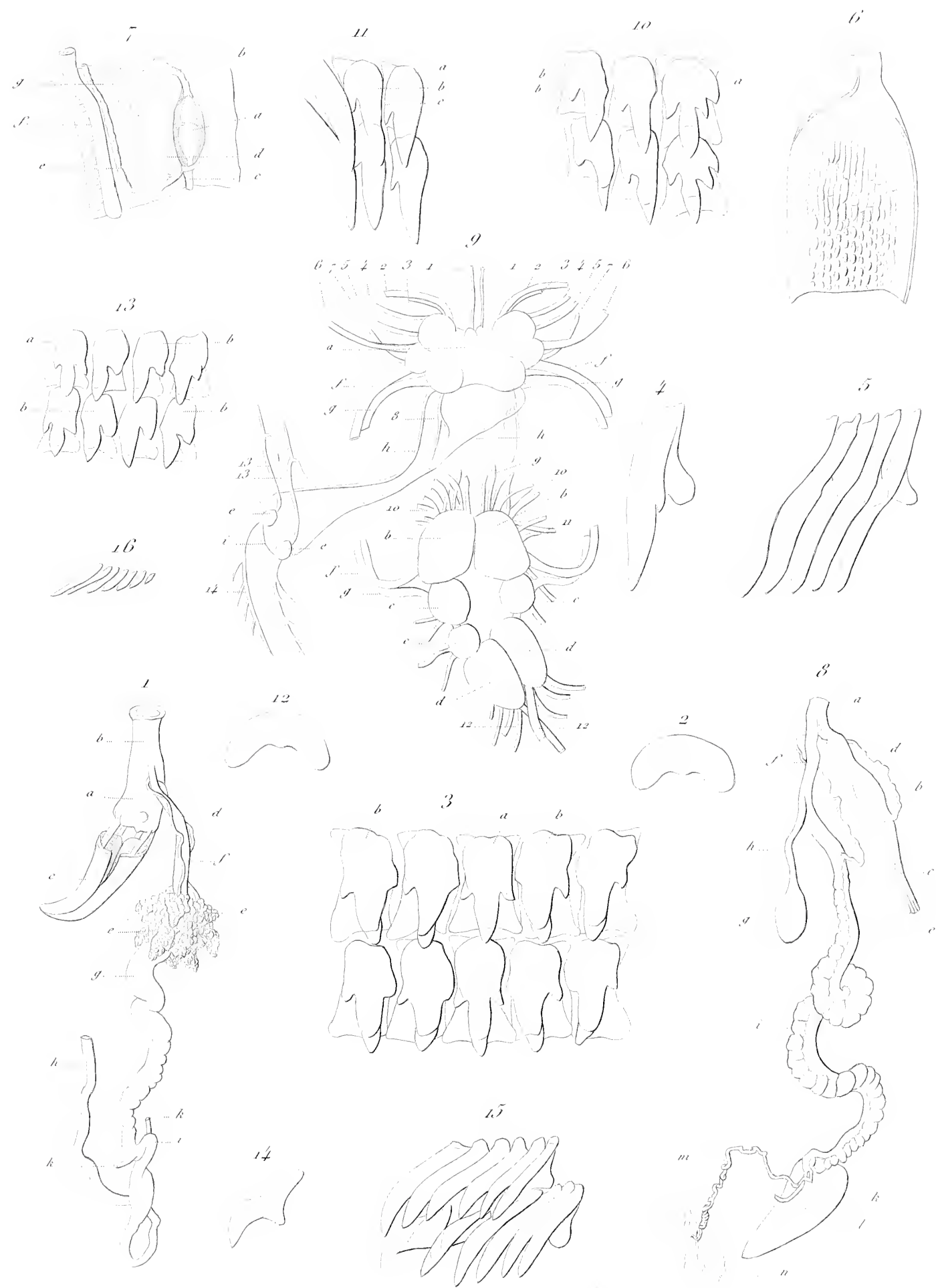
Arnoul del. et lith

Imp. Bequet, Paris

Zenites.

PLANCHE VIII.

- Fig. 1 Organes digestifs du *Zonites euryomphalus* : *a*, poche linguale; *b*, pharynx; *c*, muscle rétracteur de la poche linguale; *d*, œsophage; *e*, glandes salivaires; *f*, leurs canaux excréteurs; *g*, estomac; *h*, intestin; *i*, renflement duodénal de l'intestin; *k*, canaux biliaires.
- Fig. 2 Mâchoire du même.
- Fig. 3 Plaque linguale du même : *a*, dent rachiale; *b*, dents latérales.
- Fig. 4 Treizième dent du même, faisant le passage des dents latérales aux dents marginales.
- Fig. 5 Dents marginales du même.
- Fig. 6 Muqueuse de l'estomac du même.
- Fig. 7 Glande précordiale du même : *a*, cœur; *b*, grande veine pulmonaire; *c*, aorte; *d*, glande précordiale; *e*, urètre; *f*, rectum; *g*, poche pulmonaire.
- Fig. 8 Système reproducteur du même : *a*, orifice commun; *b*, verge; *c*, son muscle rétracteur; *d*, portion libre du canal déférent; *e*, prostate déférente; *f*, vagin; *g*, poche copulatrice; *h*, col de la poche copulatrice; *i*, matrice; *k*, glande albuminipare; *l*, épидидyme; *m*, canal excréteur de la glande en grappe; *n*, glande en grappe.
- Fig. 9 Système nerveux du même : *a*, ganglions sus-œsophagiens; *b*, ganglions sous-œsophagiens antérieurs; *c*, ganglions sous-œsophagiens moyens; *d*, ganglions sous-œsophagiens postérieurs; *e*, ganglions stomato-gastriques; *f*, *g*, commissures des ganglions sus-œsophagiens et sous-œsophagiens; *h*, commissures des ganglions sus-œsophagiens et stomato-gastriques; *i*, commissure des ganglions stomato-gastriques.
- 1^o Nerf pharyngien antérieur; 2^o nerf tentaculaire supérieur; 3^o son nerf accessoire; 4^o nerf tégumentaire du tentacule supérieur; 5^o nerf tégumentaire du tentacule inférieur; 6^o nerf tentaculaire inférieur; 7^o nerf labial inférieur; 8^o nerf de la poche linguale; 9^o nerfs de la partie antérieure du pied; 10^o nerfs des téguments du cou; 11^o nerfs des organes génitaux; 12^o nerfs des viscères abdominaux; 13^o nerfs de la poche linguale; 14^o nerfs des canaux excréteurs des glandes salivaires.
- Fig. 10 Plaque linguale du *Zonites bilineatus* : *a*, dent rachiale; *b*, dents latérales.
- Fig. 11 Autre portion de plaque linguale du même : *a*, cinquième dent latérale; *b*, sixième dent latérale; *c*, première dent marginale.
- Fig. 12 Mâchoire du même.
- Fig. 13 Plaque linguale du *Zonites caducus* : *a*, dent rachiale; *b*, premières dents latérales.
- Fig. 14 Une dent marginale isolée, du même.
- Fig. 15 Dents marginales du même.
- Fig. 16 Dernières dents marginales du même.



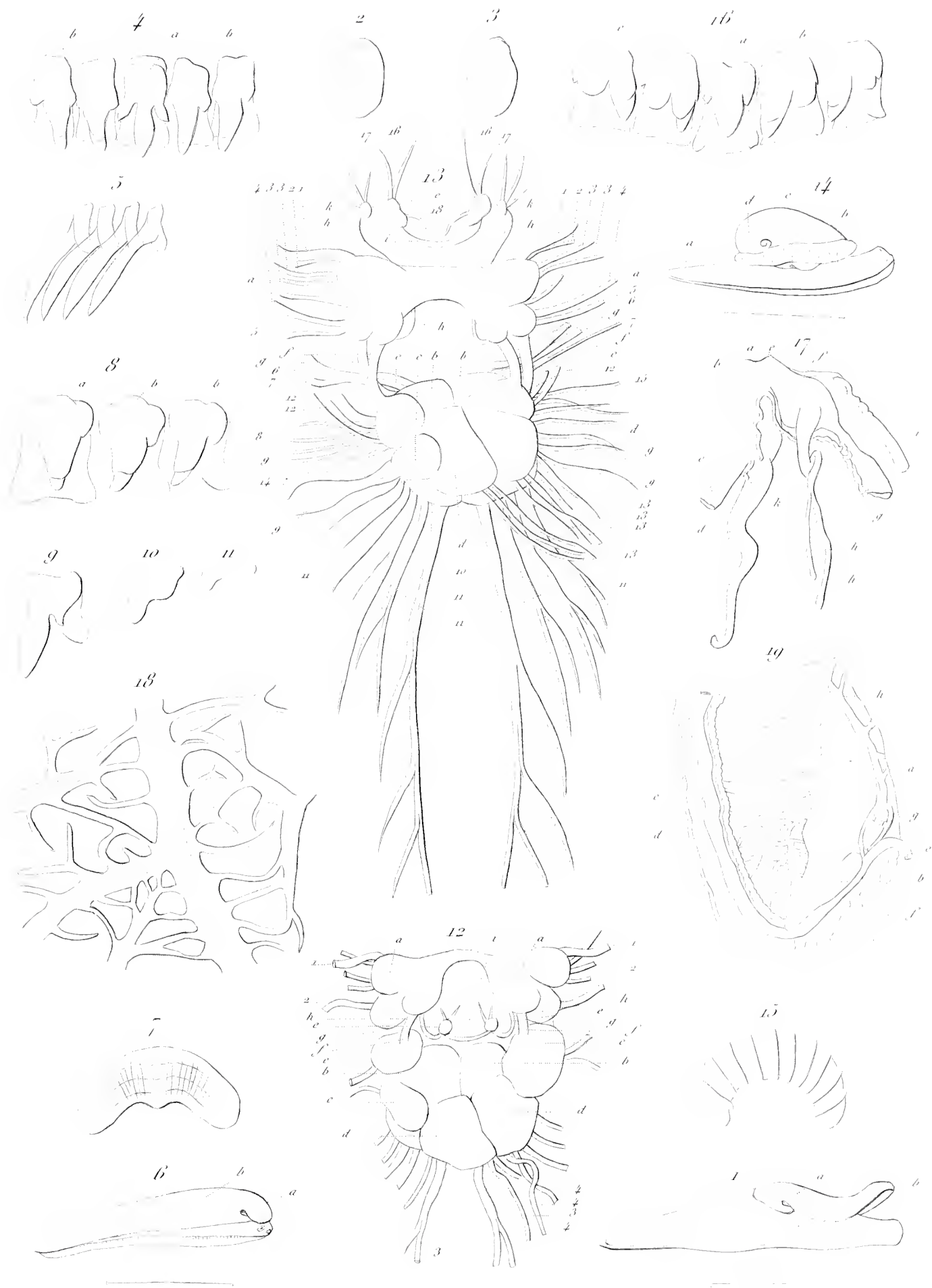
P. Fischer del.

Anatomie des Zonites.

1. Salmon imp. r. Vieille Extrapade i. 5.

PLANCHE IX.

- Fig. 1. Animal du *Limax Guatemalensis* : *a*, orifice pulmonaire; *b*, capuchon céphalique de la cuirasse.
Fig. 2. Limacelle du même, grossie et vue en dessus.
Fig. 3. Limacelle du même, vue en dessous.
Fig. 4. Plaque linguale du même : *a*, dent rachiale; *b*, dents latérales.
Fig. 5. Dents marginales du même.
Fig. 6. Animal du *Tebeumophorus Sallei* : *a*, orifice pulmonaire; *b*, manteau.
Fig. 7. Mâchoire du même.
Fig. 8. Plaque linguale du même; *a*, dent rachiale; *b*, dents latérales.
Fig. 9. Dent latérale du même rapprochée du bord de la plaque linguale.
Fig. 10. Dent marginale du même.
Fig. 11. Dernière dent marginale du même.
Fig. 12. Système nerveux du même : *a*, ganglions sus-œsophagiens; *b*, ganglions sous-œsophagiens antérieurs; *c*, ganglions sous-œsophagiens moyens; *d*, ganglions sous-œsophagiens postérieurs; *e*, ganglions stomato-gastriques; *f*, *g*, commissures des ganglions sus-œsophagiens et sous-œsophagiens; *h*, commissures des ganglions sus-œsophagiens et stomato-gastriques; *i*, commissure des ganglions stomato-gastriques.
1° Nerf tentaculaire supérieur; 2° nerf tentaculaire inférieur; 3° nerfs du plan locomoteur; 4° nerfs des viscères abdominaux.
Fig. 13. Système nerveux de l'*Arion rufus* : *a*, ganglions sus-œsophagiens; *b*, ganglions sous-œsophagiens antérieurs; *c*, ganglions sous-œsophagiens moyens; *d*, ganglions sous-œsophagiens postérieurs; *e*, ganglions stomato-gastriques; *f*, *g*, commissures des ganglions sus-œsophagiens et sous-œsophagiens; *h*, commissures des ganglions sus-œsophagiens et stomato-gastriques; *i*, commissures des ganglions stomato-gastriques; *k*, ganglions stomato-gastriques accessoires.
1° Nerf tentaculaire supérieur; 2° son nerf accessoire; 3° nerfs tégumentaires de la tête et des tentacules; 4° nerf tentaculaire inférieur; 5° nerf labial; 6°, 7° nerfs de la partie antérieure du pied; 8°, 9° nerfs des parties latérales du pied; 10° grands nerfs du plan locomoteur; 11° autres nerfs du plan locomoteur; 12° nerfs des muscles rétracteurs des tentacules; 13° nerfs des viscères abdominaux; 14° grand nerf pulmonaire; 15° nerfs de la verge et de l'orifice génital; 16° nerf œsophagien; 17° nerf distribué à l'embouchure des canaux salivaires; 18° nerf de la poche linguale.
Fig. 14. Animal du *Xanthonyx Samichrasti* : *a*, pied; *b*, cuirasse; *c*, orifice pulmonaire; *d*, tortillon.
Fig. 15. Mâchoire du même.
Fig. 16. Plaque linguale du même : *a*, dent rachiale; *b*, dents latérales.
Fig. 17. Portion du système reproducteur du même : *a*, orifice commun; *b*, verge; *c*, son muscle rétracteur; *d*, flagellum; *e*, canal déférent; *f*, vagin; *g*, matrice; *h*, branches copulatrices; *i*, vésicule muqueuse; *k*, petit cœcum de la base de la verge.
Fig. 18. Portion de pounion très-grossie de l'*Helix eximia*.
Fig. 19. Glande précordiale du même : *a*, glande précordiale; *b*, lobe accessoire; *c*, urètre; *d*, rectum; *e*, intestin; *f*, foie; *g*, cœur; *h*, grande veine pulmonaire.



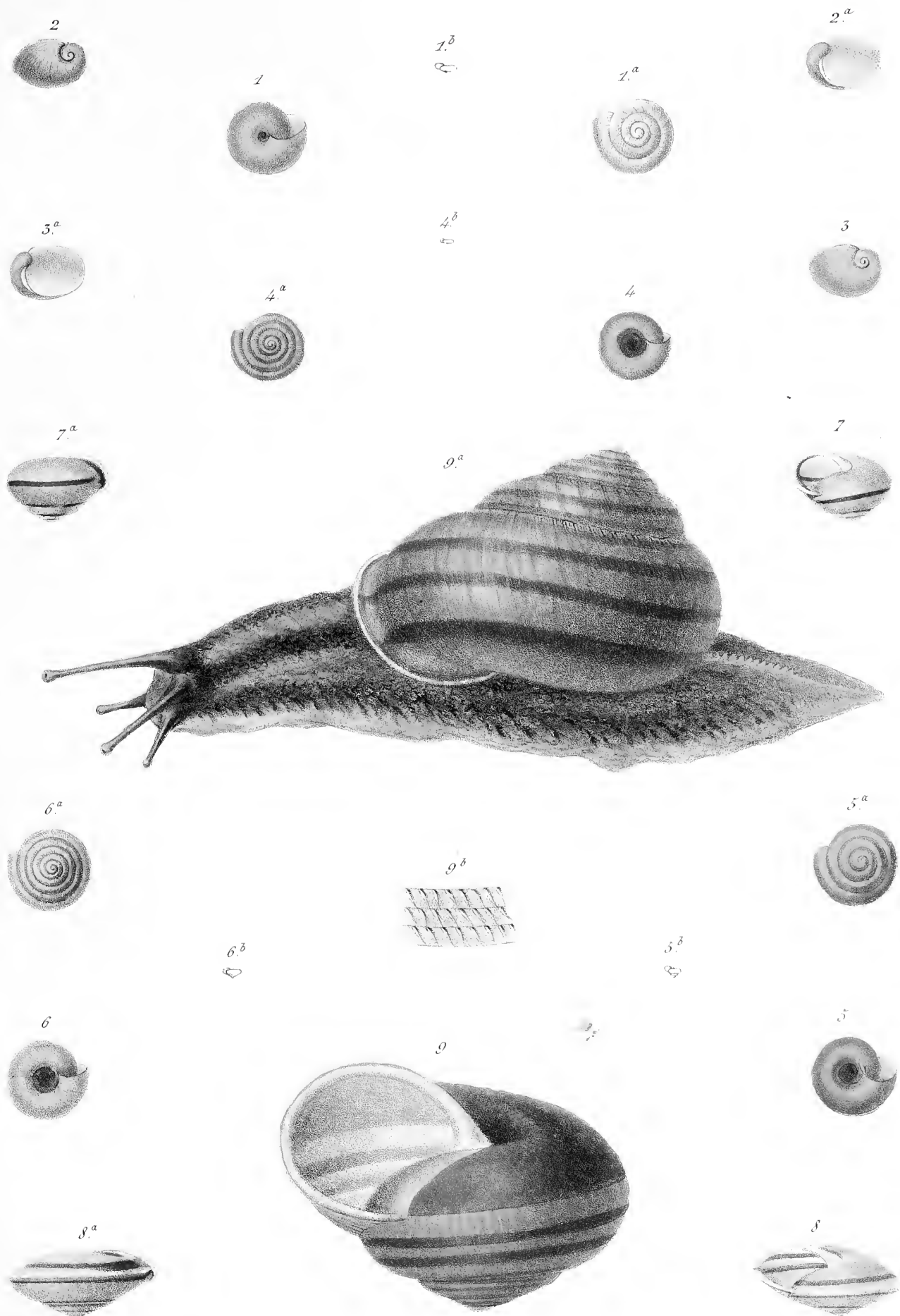
P. Fischer del.

Anatomie des *Limax*, *Tebennophorus*, *Arion*, *Xanthonyx* et *Helix*.

MOLLUSQUES.

PLANCHE X.

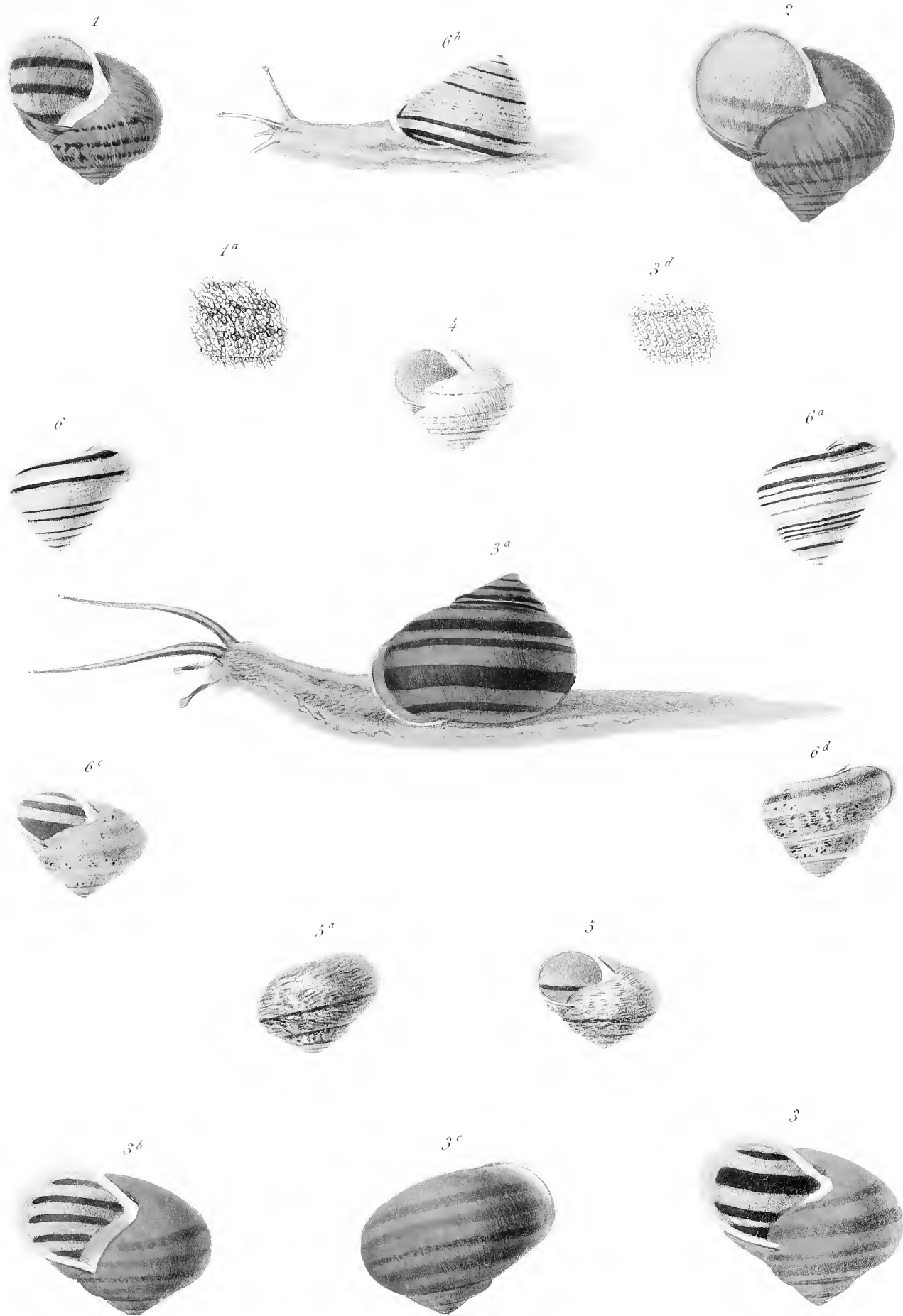
- Fig. 1 *Zonites Teluantepecensis*, Crosse et Fischer, grossi, vu du côté de l'ombilic.
Fig. 1 a Le même, grossi, vu du côté de la spire.
Fig. 1 b Le même, au trait, vu de face et de grandeur naturelle.
Fig. 2 *Xanthonyx Salleanus*, Pfeiffer, vu du côté de la spire.
Fig. 2 a Le même, vu du côté de l'ouverture.
Fig. 3 *Xanthonyx Cordoranus*, Pfeiffer, vu du côté de la spire.
Fig. 3 a Le même, vu du côté de l'ouverture.
Fig. 4 *Helix Hermannii*, Pfeiffer, grossi, vu du côté de l'ombilic.
Fig. 4 a Le même, grossi, vu du côté de la spire.
Fig. 4 b Le même, au trait, vu de face et de grandeur naturelle.
Fig. 5 *Helix Wilhelmi*, Pfeiffer, grossi, vu du côté de l'ombilic.
Fig. 5 a Le même, grossi, vu du côté de la spire.
Fig. 5 b Le même, au trait, vu de face et de grandeur naturelle.
Fig. 6 *Helix Bercudti*, Pfeiffer, grossi, vu du côté de l'ombilic.
Fig. 6 a Le même, grossi, vu du côté de la spire.
Fig. 6 b Le même, au trait, vu de face et de grandeur naturelle.
Fig. 7 *Helix biemeta*, Pfeiffer, vu de face.
Fig. 7 a Le même, vu de dos.
Fig. 8 *Helix Guillaumodi*, Shuttleworth, vu de face.
Fig. 8 a Le même, vu de dos.
Fig. 9 *Helix Ghiesbreghtii*, Nyst, vu de face (forme typique).
Fig. 9 a Variété γ de la même espèce, vue de dos, avec son Mollusque, d'après un dessin de
M. Bocourt.
Fig. 9 b Portion du test de l'*Helix Ghiesbreghtii*, fortement grossie, pour montrer la disposition
des poils de l'épiderme.



Zonites, Xanthonyx, Helix.

PLANCHE XI.

- Fig. 1 *Helix Humboldtiana*, Valenciennes (forme typique), vu de face.
Fig. 1 a Portion du test de l'*Helix Humboldtiana*, soumise à un fort grossissement.
Fig. 2 *Helix Humboldtiana*, var. β (*Helix Buffoniana*, Pfeiffer), vu de face.
Fig. 3 *Helix eximia*, Pfeiffer, vu de face.
Fig. 3 a Le même, vu de dos, avec son Mollusque, d'après un dessin de M. Bocourt.
Fig. 3 b *Helix eximia*, var. β , vu de face.
Fig. 3 c *Helix eximia*, var. β , vu de dos.
Fig. 3 d Portion du test de l'*Helix eximia*, soumise à un fort grossissement.
Fig. 4 *Helix arcolata*, Sowerby, vu de face.
Fig. 5 *Helix Stearnsiana*, Gabb, vu de face.
Fig. 5 a Même espèce, vue de dos.
Fig. 6 *Helix trigonostoma*, Pfeiffer, var. β , vu de dos.
Fig. 6 a *Helix trigonostoma*, var. γ , vu de dos.
Fig. 6 b *Helix trigonostoma*, var. δ , vu de dos, avec l'animal, d'après un dessin de M. Bocourt.
Fig. 6 c *Helix trigonostoma*, var. ζ , vu de face.
Fig. 6 d *Helix trigonostoma*, var. η , vu de dos.



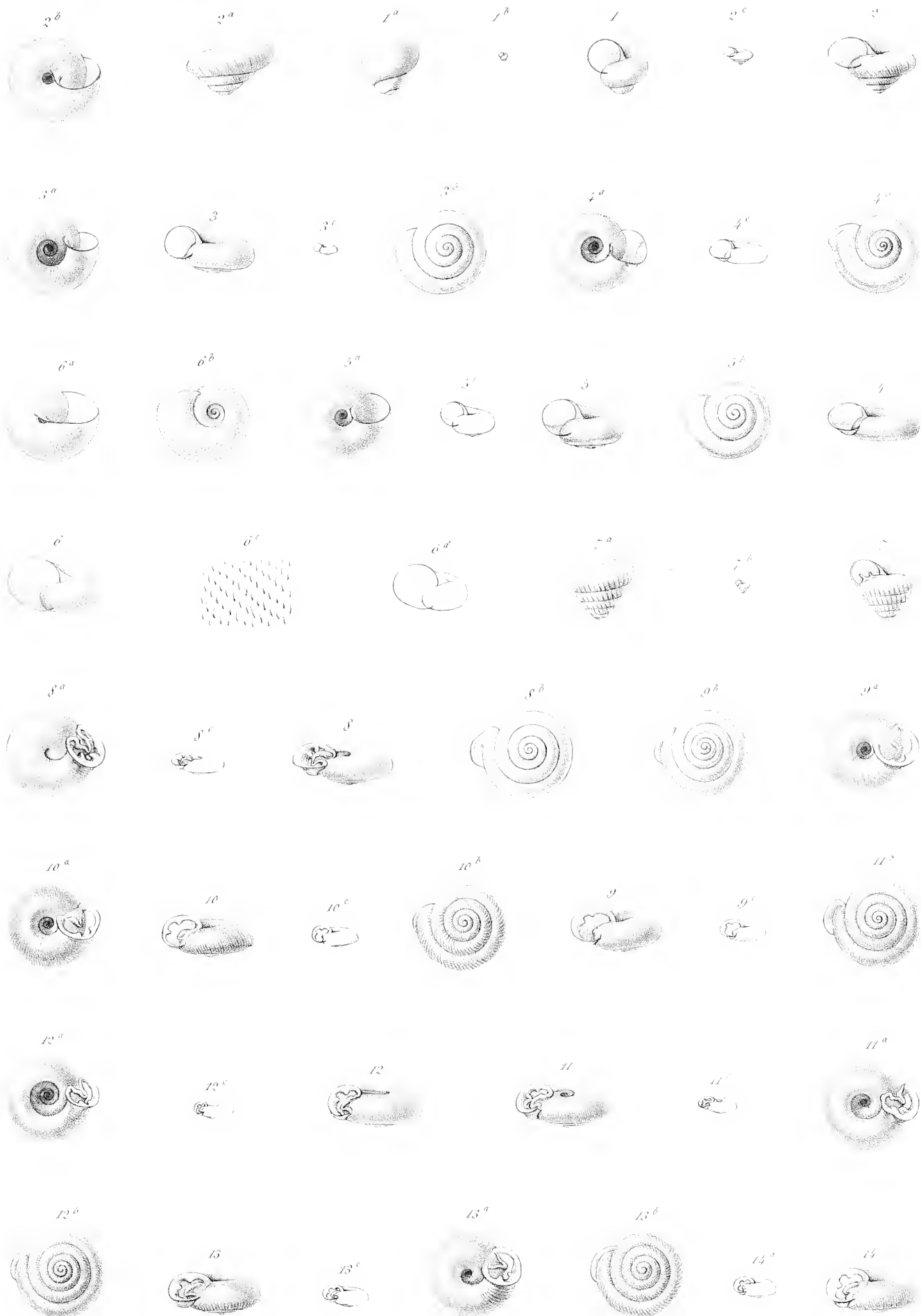
Arnoul del. et lith.

Imp. Bequet à Paris

Helix.

PLANCHE XII.

- Fig. 1 *Helix punctam*, Morelet, grossi, vu de face.
Fig. 1 a Le même, grossi, vu de dos.
Fig. 1 b Le même, au trait, vu de face et de grandeur naturelle.
Fig. 2 *Helix turbinella*, Morelet, grossi, vu de face.
Fig. 2 a Le même, grossi, vu de dos.
Fig. 2 b Le même, grossi, vu du côté de l'ombilic.
Fig. 2 c Le même, au trait, vu de face et de grandeur naturelle.
Fig. 3 *Helix conspurcatella*, Morelet, grossi, vu de face.
Fig. 3 a Le même, grossi, vu du côté de l'ombilic.
Fig. 3 b Le même, grossi, vu du côté de la spire.
Fig. 3 c Le même, au trait, vu de face et de grandeur naturelle.
Fig. 4 Variété β de l'*Helix coactiliata*, Férussac (*Helix Cordovana*, Pfeiffer), grossie, vue de face.
Fig. 4 a La même, grossie, vue du côté de l'ombilic.
Fig. 4 b La même, grossie, vue du côté de la spire.
Fig. 4 c La même, au trait, vue de face et de grandeur naturelle.
Fig. 5 *Helix pressula*, Morelet, vu de face.
Fig. 5 a Le même, vu du côté de l'ombilic.
Fig. 5 b Le même, vu du côté de la spire.
Fig. 5 c Le même, au trait, vu de face et de grandeur naturelle.
Fig. 6 *Helix sigmoides*, Morelet, grossi, vu de face.
Fig. 6 a Le même, grossi, vu du côté de l'ombilic.
Fig. 6 b Le même, grossi, vu du côté de la spire.
Fig. 6 c Portion du test du même, fortement grossie.
Fig. 6 d Le même, au trait, vu de face et de grandeur naturelle.
Fig. 7 *Helix Strebeli*, Pfeiffer, grossi, vu de face.
Fig. 7 a Le même, grossi, vu de dos.
Fig. 7 b Le même, au trait, vu de face et de grandeur naturelle.
Fig. 8 *Helix Ariadue*, Pfeiffer, grossi, vu de face.
Fig. 8 a Le même, grossi, vu du côté de l'ombilic.
Fig. 8 b Le même, grossi, vu du côté de la spire.
Fig. 8 c Le même, au trait, vu de face et de grandeur naturelle.
Fig. 9 *Helix plagioglossa*, Pfeiffer, grossi, vu de face.
Fig. 9 a Le même, grossi, vu du côté de l'ombilic.
Fig. 9 b Le même, grossi, vu du côté de la spire.
Fig. 9 c Le même, au trait, vu de face et de grandeur naturelle.
Fig. 10 *Helix helictomphala*, Pfeiffer, grossi, vu de face.
Fig. 10 a Le même, grossi, vu du côté de l'ombilic.
Fig. 10 b Le même, grossi, vu du côté de la spire.
Fig. 10 c Le même, au trait, vu de face et de grandeur naturelle.
Fig. 11 *Helix oppilata*, Morelet, grossi, vu de face.
Fig. 11 a Le même, grossi, vu du côté de l'ombilic.
Fig. 11 b Le même, grossi, vu du côté de la spire.
Fig. 11 c Le même, au trait, vu de face et de grandeur naturelle.
Fig. 12 *Helix implicata*, Beck, grossi, vu de face.
Fig. 12 a Le même, grossi, vu du côté de l'ombilic.
Fig. 12 b Le même, grossi, vu du côté de la spire.
Fig. 12 c Le même, au trait, vu de face et de grandeur naturelle.
Fig. 13 *Helix bicurvis*, Pfeiffer, grossi, vu de face.
Fig. 13 a Le même, grossi, vu du côté de l'ombilic.
Fig. 13 b Le même, grossi, vu du côté de la spire.
Fig. 13 c Le même, au trait, vu de face et de grandeur naturelle.
Fig. 14 *Helix Yucatanca*, Morelet, grossi, vu de face.
Fig. 14 a Le même, au trait, vu de face et de grandeur naturelle.



Arnoul del. et lith.

Imp. Baquet a Paris

MOLLUSQUES.

PLANCHE XIII.

- Fig. 1 Mâchoire de l'*Helix Ghiesbreghtii*.
Fig. 2 Plaque linguale du même : *a*, dent rachiale; *b*, dents latérales.
Fig. 3 Dents latérales du même. Partie moyenne de la rangée.
Fig. 4 Dernières dents marginales du même.
Fig. 5 Plaque linguale en voie de formation du même : *a*, dent rachiale; *b*, dent latérale.
Fig. 6 Système génital du même : *a*, orifice commun; *b*, verge; *c*, son muscle rétracteur;
d, flagellum; *e*, poches du dard; *f*, vésicules muqueuses; *g*, poche copulatrice;
h, son canal excréteur; *i*, portion libre du canal déférent; *k*, portion adhérente
du canal déférent; *l*, matrice; *m*, glande albuminipare; *n*, canal excréteur de la
glande en grappe; *o*, glande en grappe.
Fig. 7 Mâchoire de l'*Helix eximia*.
Fig. 8 Plaque linguale du même : *a*, dent rachiale; *b*, dents latérales.
Fig. 9 Dents marginales du même.
Fig. 10 Intérieur de l'estomac du même.
Fig. 11 Système génital du même : *a*, orifice commun; *b*, verge; *c*, son muscle rétracteur;
d, flagellum; *e*, poche du dard; *f*, vésicules muqueuses; *g*, poche copulatrice;
h, son canal excréteur; *i*, portion libre du canal déférent; *k*, portion adhérente
du canal déférent; *l*, matrice; *m*, glande albuminipare; *n*, canal excréteur de la
glande en grappe; *o*, glande en grappe.
Fig. 12 Système nerveux du même : *a*, ganglions sus-œsophagiens; *b*, ganglions sous-œso-
phagiens antérieurs; *c*, ganglions sous-œsophagiens moyens; *d*, ganglions sous-
œsophagiens postérieurs; *e*, ganglions stomato-gastriques; *f*, *g*, commissures des
ganglions sus-œsophagiens et sous-œsophagiens; *h*, commissure des ganglions sus-
œsophagiens et stomato-gastriques; *i*, commissure des ganglions stomato-gastriques.
1° Nerf pharyngien antérieur; 2° nerf tentaculaire supérieur et son nerf acces-
soire; 3° nerf tégumentaire des tentacules; 4° nerf tentaculaire inférieur; 5° nerfs
tégumentaires de la tête; 6° nerfs de la partie antérieure du pied; 7° nerfs des
parties latérales du pied; 8° nerfs de la poche pulmonaire; 9° nerfs des viscères
abdominaux.

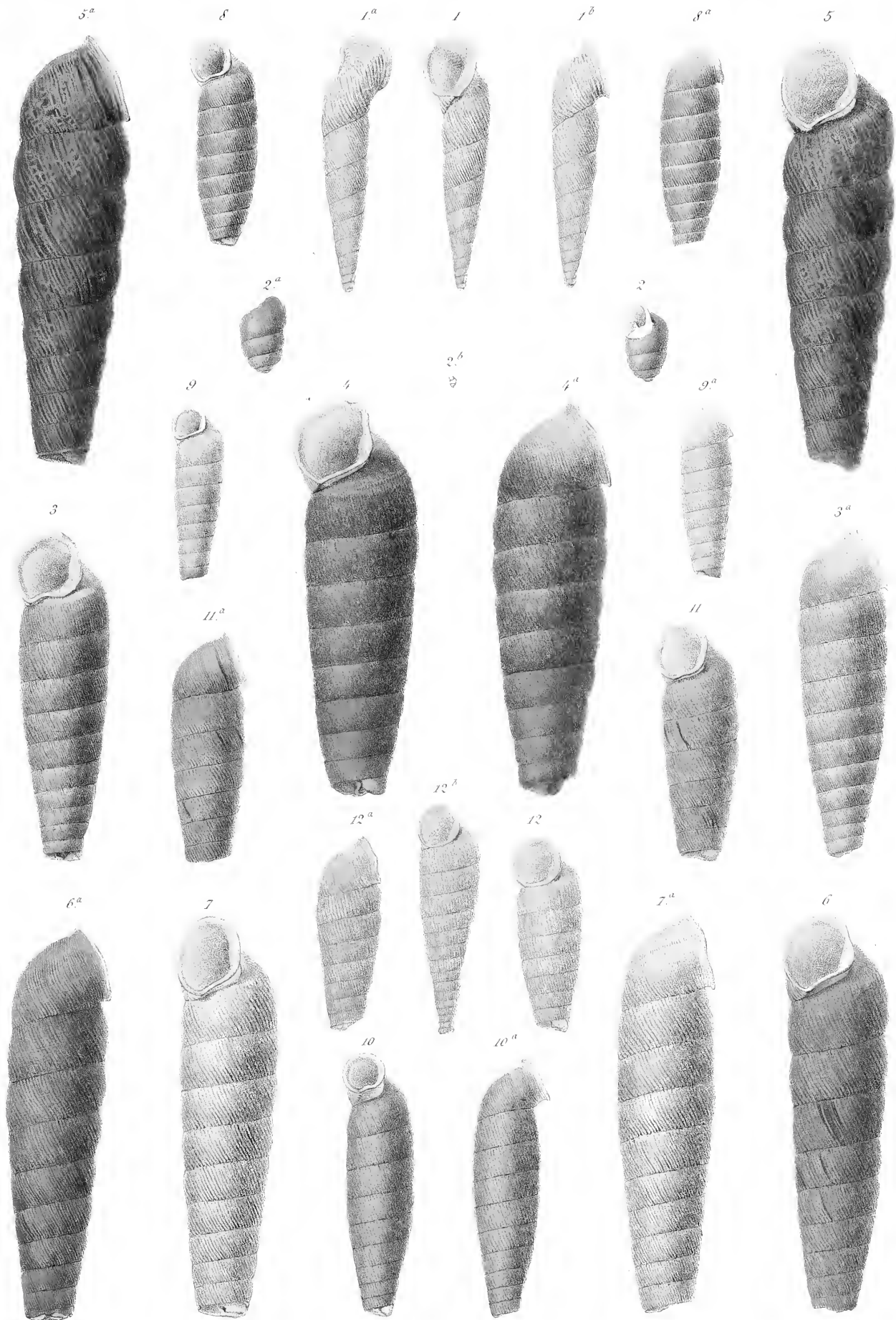


P. Fischer del

Anatomie des Helix.

PLANCHE XIV.

- Fig. 1 *Berendtia Taylora*, Pfeiffer, vu de face.
Fig. 1 a Le même, vu de dos.
Fig. 1 b Le même, vu de côté.
Fig. 2 *Pupa leucodon*, Morelet, grossi, vu de face.
Fig. 2 a Le même, grossi, vu de dos.
Fig. 2 b Le même, au trait, vu de face et de grandeur naturelle.
Fig. 3 *Eucalodium decollatum*, Nyst, vu de face.
Fig. 3 a Le même, vu de côté.
Fig. 4 *Eucalodium Ghiesbreghtii*, Pfeiffer, vu de face.
Fig. 4 a Le même, vu de côté.
Fig. 5 *Eucalodium Blandianum*, Crosse et Fischer, vu de face.
Fig. 5 a Le même, vu de côté.
Fig. 6 *Eucalodium Walpoleanum*, Crosse et Fischer, vu de face.
Fig. 6 a Le même, vu de côté.
Fig. 7 *Eucalodium insigne*, Crosse et Fischer, vu de face.
Fig. 7 a Le même, vu de côté.
Fig. 8 *Eucalodium neglectum*, Crosse et Fischer, vu de face.
Fig. 8 a Le même, vu de côté.
Fig. 9 *Eucalodium Deshayesianum*, Crosse et Fischer, vu de face.
Fig. 9 a Le même, vu de côté.
Fig. 10 *Eucalodium Edwardsianum*, Crosse et Fischer, vu de face.
Fig. 10 a Le même, vu de côté.
Fig. 11 *Eucalodium Moussonianum*, Crosse et Fischer, vu de face.
Fig. 11 a Le même, vu de côté.
Fig. 12 *Eucalodium recticosta*, Pfeiffer, vu de face.
Fig. 12 a Le même, vu de côté.
Fig. 12 b Exemplaire semi-adulte du même, conservant encore la majeure partie de ses tours
de spire, et vu de face.



Arnoul del. et lith.

Imp. Biequet, Paris.

Berendtia, Pupa, Eucalodum.

MOLLUSQUES.

PLANCHE XV.

- Fig. 1. *Eucalodium Mexicanum*, Cuming, vu de face.
Fig. 1 a. Le même, vu de côté.
Fig. 1 b. Variété γ du même, vue de dos, dessinée au trait et ouverte, pour montrer l'axe columellaire.
Fig. 1 c. Oeuf de la variété γ du même, de grandeur naturelle.
Fig. 2. *Eucalodium Blandianum*, Crosse et Fischer, vu de dos, dessiné au trait et ouvert, pour montrer l'axe columellaire.
Fig. 3. *Eucalodium splendidum*, Pfeiffer, vu de face.
Fig. 3 a. Le même, vu de côté.
Fig. 4. *Eucalodium grande*, Pfeiffer, vu de face.
Fig. 5. *Eucalodium decurtatum*, H. Adams, vu de face.
Fig. 5 a. Le même, vu de côté.
Fig. 6. *Eucalodium Boucardi*, Pfeiffer, var. φ , vu de face.
Fig. 6 a. Le même, vu de côté.
Fig. 7. *Eucalodium speciosum*, Dunker, vu de face.
Fig. 7 a. Le même, vu de côté.
Fig. 8. Oeuf d'*Eucalodium Walpoleanum*, Crosse et Fischer, de grandeur naturelle.
Fig. 9. *Eucalodium hyalinum*, Pfeiffer, vu de face.
Fig. 9 a. Individu plus jeune de la même espèce, vu de côté.
Fig. 10. *Eucalodium Liebmanni*, Pfeiffer, vu de face.
Fig. 10 a. Le même, vu de côté.
Fig. 10 b. Premiers tours de spire du même, à l'état jeune.
Fig. 11. *Cælocentrum tomacella*, Morelet, vu de face.
Fig. 12. *Cælocentrum fistulare*, Morelet, vu de face.
Fig. 12 a. Le même, vu de côté.
Fig. 13. *Cælocentrum turris*, Pfeiffer, vu de face.
Fig. 13 a. Le même, vu de côté.
Fig. 13 b. Le même, vu de côté, dessiné au trait et ouvert, pour montrer la colonne interne.
Fig. 13 c. Sommet de la troncature du même, présentée de face, pour montrer la perforation.
Fig. 14. *Cælocentrum clava*, Pfeiffer, vu de face.
Fig. 15. *Cælocentrum arctispira*, Pfeiffer, vu de face.
Fig. 15 a. Le même, vu de côté.
Fig. 16. *Cælocentrum Crosseanum*, Pfeiffer, vu de face.
Fig. 16 a. Le même, vu de côté.
Fig. 17. *Cælocentrum filicosta*, Shuttleworth, vu de face.
Fig. 17 a. Le même, vu de côté, dessiné au trait et ouvert, pour montrer la colonne interne.



Arment del et lab.

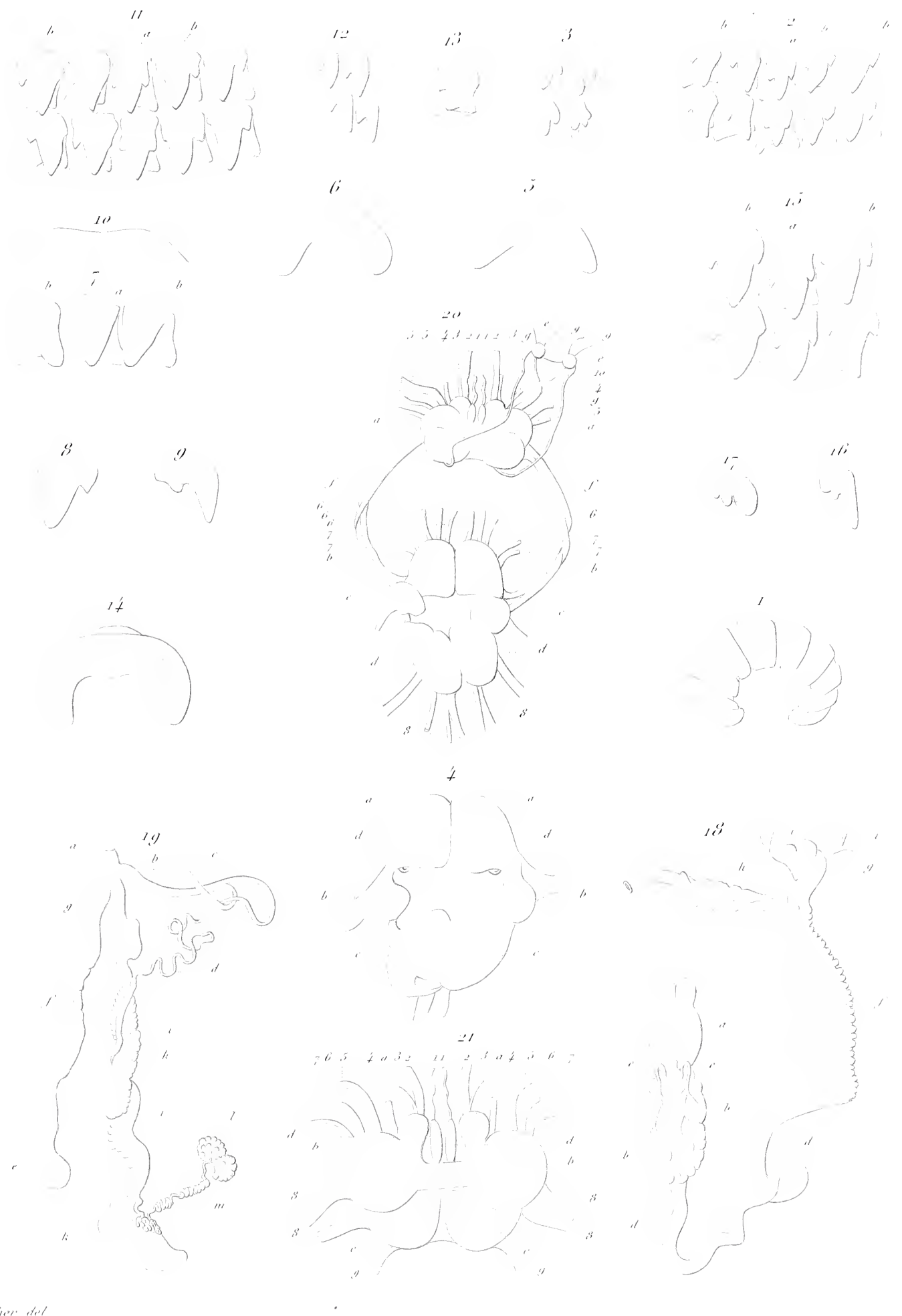
Sup. Baquet Paris.

Eucalodium, Calocentrum.

MOLLUSQUES.

PLANCHE XVI.

- Fig. 1. Mâchoire du *Berendia Taylori*.
Fig. 2. Plaque linguale du même : *a*, dent rachiale; *b*, dents latérales.
Fig. 3. Dents marginales du même.
Fig. 4. Ganglions sous-œsophagiens du même : *a*, ganglions sous-œsophagiens antérieurs; *b*, ganglions sous-œsophagiens moyens; *c*, ganglions sous-œsophagiens postérieurs; *d*, capsules auditives.
Fig. 5. Mâchoire de l'*Holospira Tryoni*.
Fig. 6. Mâchoire de l'*Holospira Pfeifferi*.
Fig. 7. Plaque linguale du même : *a*, dent rachiale; *b*, dent latérale.
Fig. 8. Neuvième dent du même.
Fig. 9. Dix-septième dent du même.
Fig. 10. Ligne indiquant la direction des rangées transversales de dents de la plaque linguale du même.
Fig. 11. Plaque linguale de l'*Eucalodium Blandianum* : *a*, dent rachiale; *b*, dents latérales.
Fig. 12. Dents marginales du même.
Fig. 13. Une dent latérale du même. Anomalie.
Fig. 14. Mâchoire de l'*Eucalodium Ghiesbreghtii*.
Fig. 15. Plaque linguale du même : *a*, dent rachiale; *b*, dents latérales.
Fig. 16. Dent marginale du même.
Fig. 17. Une des dernières dents marginales du même.
Fig. 18. Système digestif du même : *a*, poche linguale; *b*, glandes salivaires; *c*, leurs canaux excréteurs; *d*, œsophage; *e*, estomac; *f*, ampoule duodénale; *h*, intestin; *i*, canaux biliaires.
Fig. 19. Système reproducteur du même : *a*, orifice commun; *b*, verge; *c*, son muscle rétracteur; *d*, portion libre du canal déférent; *e*, poche copulatrice; *f*, son col; *g*, vagin; *h*, matrice; *i*, portion adhérente du canal déférent; *k*, glande albuminipare; *l*, glande en grappe; *m*, son canal excréteur.
Fig. 20. Système nerveux du même : *a*, ganglions sus-œsophagiens; *b*, ganglions sous-œsophagiens antérieurs; *c*, ganglions sous-œsophagiens moyens; *d*, ganglions sous-œsophagiens postérieurs; *e*, ganglions stomato-gastriques; *f*, commissures des ganglions sus-œsophagiens et des ganglions sous-œsophagiens; *g*, commissures des ganglions sus-œsophagiens et des ganglions stomato-gastriques.
1° Nerf pharyngien antérieur; 2° nerf tentaculaire supérieur; 3° son nerf accessoire; 4° nerf tentaculaire inférieur; 5° nerfs des téguments de la tête et des lèvres; 6° nerfs de la partie antérieure du pied; 7° nerfs des parties latérales du pied; 8° nerfs des viscères du tortillon; 9° nerfs des canaux excréteurs des glandes salivaires; 10° nerfs de la poche linguale.
Fig. 21. Ganglions sus-œsophagiens du même, vus par leur face inférieure : *a*, renflement optique; *b*, renflement latéral; *c*, renflement postérieur; *d*, ganglions bucco-pharyngiens.
1° Nerf pharyngien antérieur; 2° nerf tentaculaire supérieur; 3° son nerf accessoire; 4° nerf tégumentaire du tentacule supérieur; 5° nerf tentaculaire inférieur; 6° nerf tégumentaire du tentacule inférieur; 7° nerf labial inférieur; 8° commissures des ganglions sus-œsophagiens et sous-œsophagiens; 9° commissures des ganglions sus-œsophagiens et des ganglions stomato-gastriques.



P. Fischer del

Anatomie des *Berendtia*, *Holospira* et *Eucalodium*.

PLANCHE XVII.

- Fig. 1 *Holospira Pfeifferi*, Menke, var. β , vu de face et grossi.
Fig. 1 *a* Le même, vu de côté et grossi.
Fig. 1 *b* Le même, vu de côté, grossi, dessiné au trait et ouvert, pour faire voir la colonne interne.
Fig. 1 *c* Le même, dessiné au trait, vu de face et de grandeur naturelle.
Fig. 2 *Holospira Remondi*, Gabb, vu de face et grossi.
Fig. 2 *a* Le même, vu de dos et grossi.
Fig. 2 *b* Le même, vu de côté, grossi, dessiné au trait et ouvert, pour faire voir la colonne interne.
Fig. 2 *c* Le même, dessiné au trait, vu de face et de grandeur naturelle.
Fig. 3 *Holospira teres*, Menke, vu de face et grossi.
Fig. 3 *a* Le même, vu de côté et grossi.
Fig. 3 *b* Le même, dessiné au trait, vu de face et de grandeur naturelle.
Fig. 4 *Holospira gonistoma*, Pfeiffer, vu de face et grossi.
Fig. 4 *a* Le même, vu de côté et grossi.
Fig. 4 *b* Le même, dessiné au trait, vu de face et de grandeur naturelle.
Fig. 5 *Holospira Pilocerei*, Pfeiffer, var. β , vu de face et grossi.
Fig. 5 *a* Le même, vu de côté et grossi.
Fig. 5 *b* Le même, dessiné au trait, vu de face et de grandeur naturelle.
Fig. 6 *Holospira Tryoni*, Pfeiffer, vu de face et grossi.
Fig. 6 *a* Le même, vu de dos et grossi.
Fig. 6 *b* Le même, vu de dos, grossi, dessiné au trait et ouvert, pour faire voir la colonne interne.
Fig. 6 *c* Le même, dessiné au trait, vu de face et de grandeur naturelle.
Fig. 7 *Holospira Gealei*, H. Adams, vu de face et grossi.
Fig. 7 *a* Le même, vu de côté et grossi.
Fig. 7 *b* Le même, dessiné au trait, vu de face et de grandeur naturelle.
Fig. 8 *Holospira eretacea*, Pfeiffer, vu de face.
Fig. 8 *a* Le même, vu de dos.
Fig. 9 *Holospira microstoma*, Pfeiffer, vu de face et légèrement grossi.
Fig. 9 *a* Le même, vu de dos et légèrement grossi.
Fig. 10 *Calocentrum irregulare*, Gabb, grossi, dessiné au trait et ouvert, pour faire voir la colonne interne.
Fig. 11 *Cylindrella spelunca*, Pfeiffer, vu de face et grossi.
Fig. 11 *a* Le même, vu de côté et grossi.
Fig. 11 *b* Le même, dessiné au trait, vu de face et de grandeur naturelle.
Fig. 12 *Cylindrella Morini*, Morelet, vu de face et grossi.
Fig. 12 *a* Le même, vu de côté et grossi.
Fig. 12 *b* Le même, dessiné au trait, vu de face et de grandeur naturelle.
Fig. 13 *Cylindrella subtilis*, Morelet, vu de face et grossi.
Fig. 13 *a* Le même, vu de côté et grossi.
Fig. 13 *b* Le même, dessiné au trait, vu de face et de grandeur naturelle.
Fig. 14 *Cylindrella Swiftiana*, Crosse, vu de face et grossi.
Fig. 14 *a* Le même, vu de côté et grossi.
Fig. 14 *b* Le même, dessiné au trait, vu de face et de grandeur naturelle.
Fig. 15 *Cylindrella apiostoma*, Pfeiffer, vu de face et grossi.
Fig. 15 *a* Le même, vu de côté et grossi.
Fig. 15 *b* Le même, dessiné au trait, vu de face et de grandeur naturelle.
Fig. 16 *Cylindrella polygyra*, Pfeiffer, vu de face et grossi.
Fig. 16 *a* Le même, vu de côté et grossi.
Fig. 16 *b* Le même, grossi, dessiné au trait et ouvert, pour faire voir l'axe columellaire.
Fig. 16 *c* Le même, dessiné au trait, vu de face et de grandeur naturelle.
Fig. 17 *Cylindrella Gussiesi*, Pfeiffer, vu de face et grossi.
Fig. 17 *a* Le même, vu de côté et grossi.
Fig. 17 *b* Le même, dessiné au trait, vu de face et de grandeur naturelle.



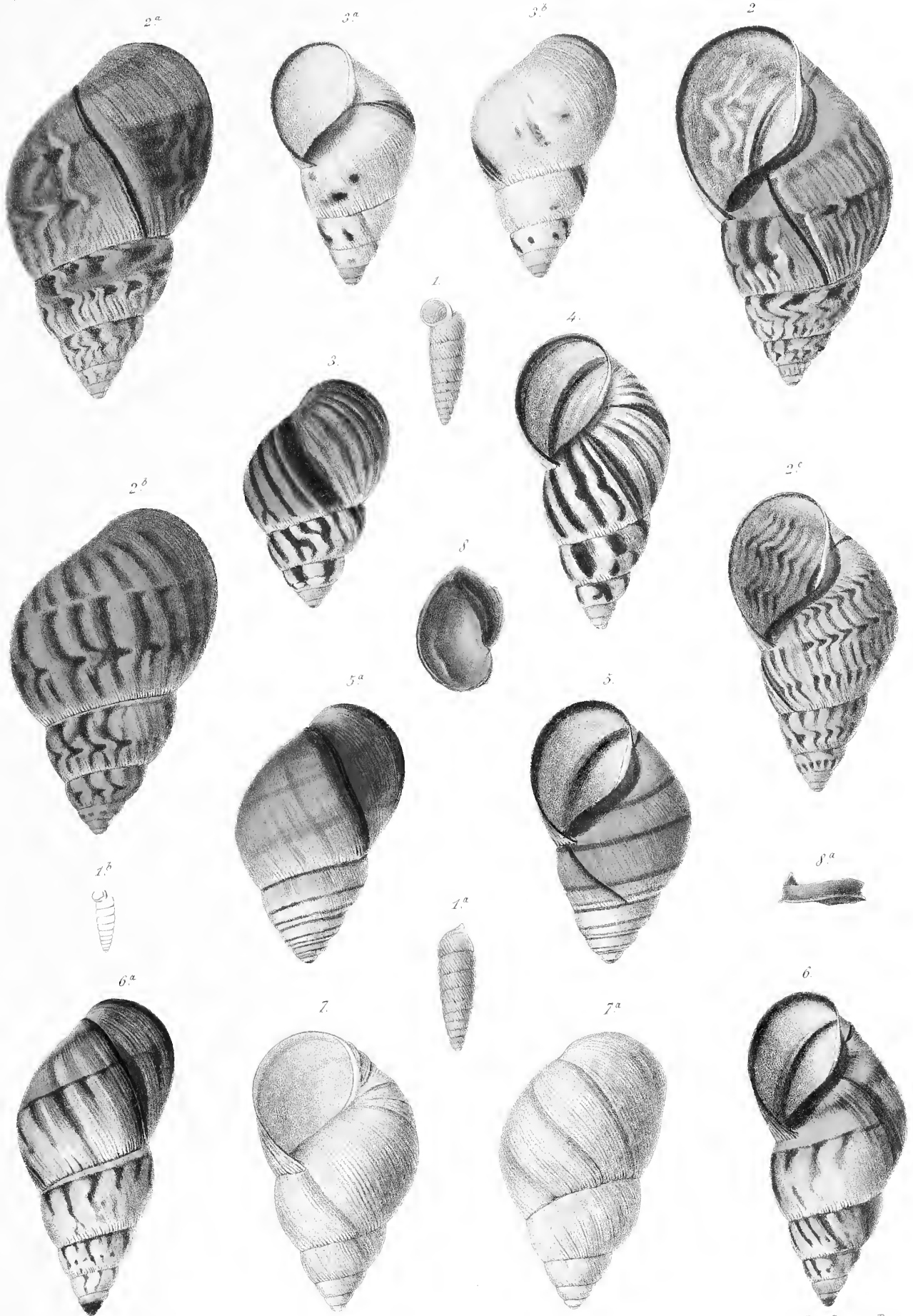
Arnoul del. et lith.

chez Faguet Paris

Holospira, Colocentrum, Cylandrella.

PLANCHE XVIII.

- Fig. 1 *Macroceramus concisus*, Morelet, vu de face et grossi.
Fig. 1 *a* Le même, vu de côté et grossi.
Fig. 1 *b* Le même, dessiné au trait, vu de face et de grandeur naturelle.
Fig. 2 *Orthalicus princeps*, Broderip, vu de face.
Fig. 2 *a* Le même, vu de dos.
Fig. 2 *b* Variété β du même, vue de dos.
Fig. 2 *c* Variété γ du même, vue de face.
Fig. 3 *Orthalicus Boucardi*, Pfeiffer, à l'état jeune et vu de dos.
Fig. 3 *a* Le même, à l'état adulte et vu de face.
Fig. 3 *b* Le même, à l'état adulte et vu de dos.
Fig. 4 *Orthalicus longus*, Pfeiffer, vu de face.
Fig. 5 *Orthalicus melanochilus*, Valenciennes, vu de face.
Fig. 5 *a* Le même, vu de dos.
Fig. 6 *Orthalicus livens*, Beck, vu de face.
Fig. 6 *a* Le même, vu de dos.
Fig. 7 *Orthalicus leucochilus*, Crosse et Fischer, vu de face.
Fig. 7 *a* Le même, vu de dos.
Fig. 8 Épiphragme de l'*Orthalicus zebra*, Müller, vu sur sa face interne.
Fig. 8 *a* Épiphragme du même, vu de côté, à l'endroit où il atteint son maximum d'épaisseur.



Arnoul del. et lith.

Imp. Dequet, Paris.

Macroceramus et Orthalicus.

MOLLUSQUES.

PLANCHE XIX.

- Fig. 1. Mâchoire de l'*Orthalicus longus*.
Fig. 2. Plaque linguale du même : *a*, dent rachiale; *b*, dents latérales.
Fig. 3. Une dent latérale du même, très-grossie : *a*, base ou support; *b*, cuspide moyenne; *c*, cuspide externe; *d*, cuspide interne.
Fig. 4. Dents latérales du même.
Fig. 5. Dents marginales du même.
Fig. 6. Système reproducteur du même : *a*, orifice commun; *b*, verge; *c*, vésicules muqueuses ou prostatiques de la verge; *d*, muscle rétracteur de la verge; *e*, portion libre du canal déférent; *f*, portion adhérente du canal déférent; *g*, poche copulatrice; *h*, col de la poche copulatrice; *i*, vagin; *k*, matrice; *l*, glande albuminipare; *m*, canal excréteur de la glande en grappe; *n*, cœcum épидидymaire.
Fig. 7. Système nerveux du même : *a*, ganglions sus-œsophagiens; *b*, ganglions sous-œsophagiens antérieurs; *c*, ganglions sous-œsophagiens moyens; *d*, ganglions sous-œsophagiens postérieurs; *e*, ganglions stomato-gastriques; *f*, *g*, commissures des ganglions sus-œsophagiens et des ganglions sous-œsophagiens; *h*, commissures des ganglions sus-œsophagiens et des ganglions stomato-gastriques; *i*, commissure des ganglions stomato-gastriques.
1° Nerf pharyngien antérieur; 2° nerf tentaculaire supérieur; 3° nerf tentaculaire inférieur; 4° nerfs tégumentaires de la tête; 5° nerf labial inférieur; 6° nerfs de la partie antérieure du pied; 7° nerfs des organes génitaux; 8° nerfs du collier et de la poche pulmonaire; 9° nerfs des viscères du tortillon; 10° nerfs des canaux excréteurs des glandes salivaires.
Fig. 8. Mâchoire de l'*Orthalicus iostomus*.
Fig. 9. Portion de plaque linguale du même : *a*, dent rachiale; *b*, dent latérale.
Fig. 10. Une dent latérale du même.
Fig. 11. Dents marginales du même.
Fig. 12. Système reproducteur du même : *a*, orifice commun; *b*, verge; *c*, vésicules muqueuses de la verge; *d*, canal déférent; *e*, poche copulatrice; *g*, col de la poche copulatrice; *h*, vagin; *i*, matrice; *k*, glande albuminipare; *l*, canal excréteur de la glande en grappe; *m*, cœcum épидидymaire.
Fig. 13. Mâchoire du *Bulinulus Guadeloupensis*.
Fig. 14. Plaque linguale du même : *a*, dent rachiale; *b*, dent latérale.
Fig. 15. Dents marginales du même.
Fig. 16. Système reproducteur du même : *a*, orifice commun; *b*, verge; *c*, étranglement de la verge; *d*, muscle rétracteur de la verge; *e*, portion libre du canal déférent; *f*, portion adhérente du canal déférent; *g*, poche copulatrice; *h*, col de la poche copulatrice; *i*, vagin; *k*, matrice; *l*, glande albuminipare; *m*, canal excréteur de la glande en grappe; *n*, cœcum épидидymaire.
Fig. 17. Mâchoire du *Bulinulus sufflatus* (d'après Binney et Bland).
Fig. 18. Dents linguales du même : *a*, dent rachiale; *b*, dent latérale.

P. Fischer del

Anatomie des Orthalicus et Bulimulus.

MOLLUSQUES.

PLANCHE XX.

- Fig. 1 *Balimulus lilaciens*, Reeve, vu de face.
Fig. 2 Le même, vu de dos.
Fig. 3 *Balimulus Delatzei*, Pfeiffer (*encod.*), var. γ , vu de dos, avec son Mollusque dessiné
d'après nature par M. Bocourt.
Fig. 4 Le même, appartenant à la forme typique et vu de face.
Fig. 5 Var. δ du même, vue de face.
Fig. 6 Var. ε du même, vu de face.
Fig. 7 *Balimulus tropicalis*, Morelet, vu de face.
Fig. 8 Le même, vu de dos.
Fig. 9 *Balimulus pallidior*, Sowerby, vu de face.
Fig. 10 *Balimulus lirius*, Morelet, vu de face.
Fig. 11 *Balimulus cucullus*, Morelet, vu de face.
Fig. 12 Var. β du même, vue de face.
Fig. 13 *Balimulus Pteuensis*, Morelet, vu de face.
Fig. 14 *Balimulus semistriatus*, Morelet, vu de face et grossi.
Fig. 15 Le même, dessiné au trait, vu de face et de grandeur naturelle.
Fig. 16 *Balimulus ueruis*, Morelet, vu de face et grossi.
Fig. 17 Le même, dessiné au trait, vu de face et de grandeur naturelle.
Fig. 18 *Balimulus Istapeusis*, Crosse et Fischer, vu de face.
Fig. 19 *Balimulus Gabbi*, Crosse et Fischer, vu de face.
Fig. 20 Le même, vu de dos.
Fig. 21 *Balimulus aurifluus*, Pfeiffer, vu de face.
Fig. 22 Le même, vu de dos.
Fig. 23 *Balimulus sufflatus*, Gould, vu de face.
Fig. 24 *Balimulus Juarezi*, Pfeiffer, vu de face.
Fig. 25 Le même, vu de dos.
Fig. 26 *Balimulus spirifer*, Gabb, vu de face.
Fig. 27 Le même, vu de dos.



Arnoul del. et lith

Jap. Biquet, Paris

Bulimulus.

MOLLUSQUES.

PLANCHE XXI.

- Fig. 1 *Bulimulus Paivanus*, Pfeiffer, vu de face.
Fig. 1 a Le même, vu de dos.
Fig. 2 *Bulimulus hepatostomus*, Pfeiffer, vu de face.
Fig. 2 a Le même, vu de dos.
Fig. 3 *Bulimulus Gealei*, H. Adams, vu de face.
Fig. 3 a Le même, vu de dos.
Fig. 3 b Le même, à l'état jeune et vu de dos.
Fig. 3 c Variété β du même, vue de face.
Fig. 3 d Variété β du même, vue de dos.
Fig. 4 *Bulimulus Uhdeanus*, Martens, variété β , vue de face.
Fig. 4 a Le même, vu de dos.
Fig. 5 *Bulimulus Sporlederi*, Pfeiffer, vu de face.
Fig. 5 a Le même, vu de dos.
Fig. 6 *Bulimulus pilula*, W. G. Binney, vu de face.
Fig. 6 a Le même, vu de dos.
Fig. 7 *Bulimulus coriaceus*, Pfeiffer, vu de face.
Fig. 7 a Le même, vu de dos.
Fig. 8 *Bulimulus Berendti*, Pfeiffer, vu de face.
Fig. 8 a Le même, vu de dos.
Fig. 9 *Bulimulus inglorius*, Reeve, vu de face.
Fig. 9 a Le même, vu de dos.
Fig. 10 *Bulimulus Xantusi*, W. G. Binney, vu de face.
Fig. 10 a Le même, vu de dos.
Fig. 11 *Bulimulus inscendens*, W. G. Binney, vu de face.
Fig. 11 a Le même, vu de dos.
Fig. 12 *Bulimulus Artemisia*, W. G. Binney, vu de face.
Fig. 12 a Le même, vu de dos.



Arnoul del. et lith.

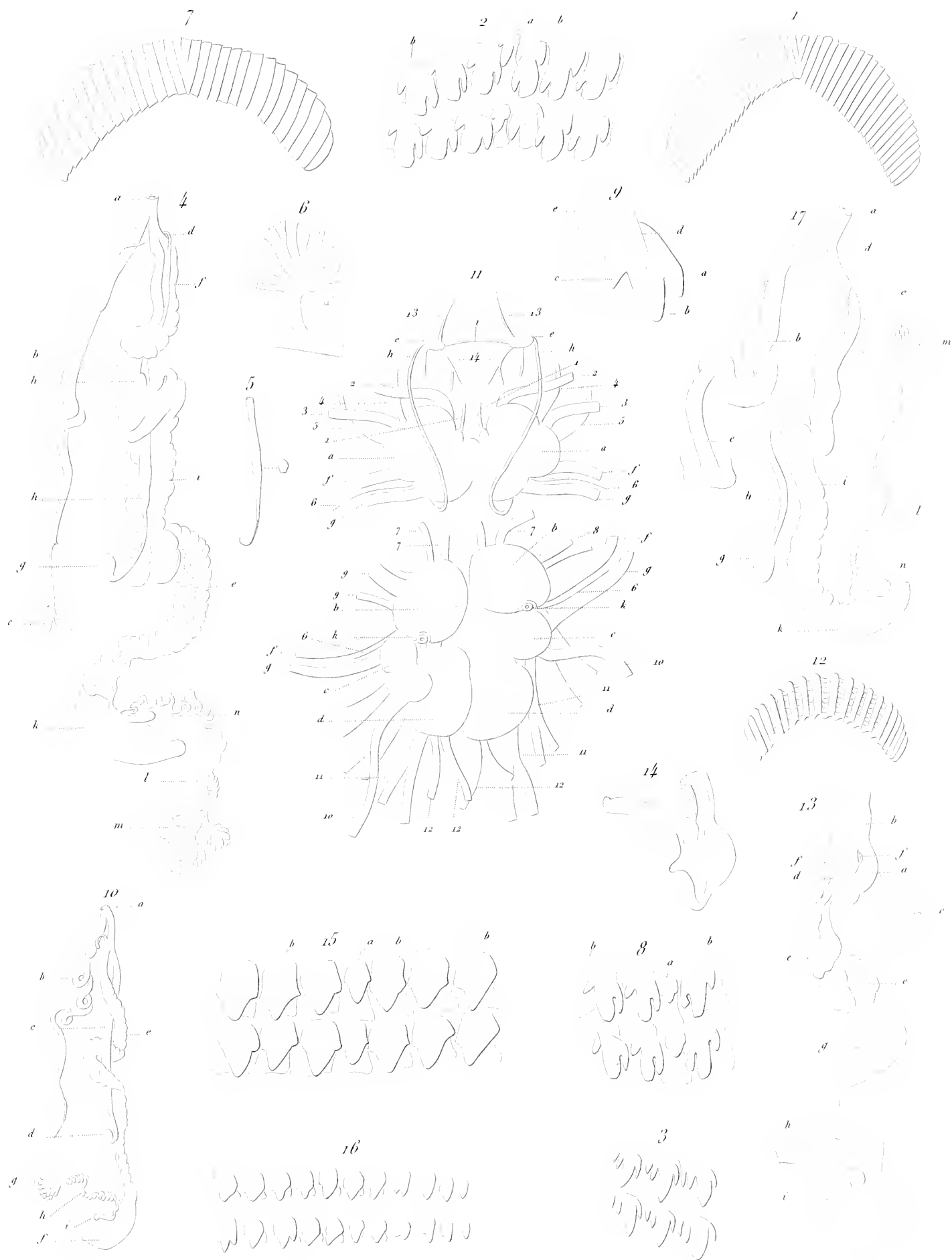
Imp. Dequeux 2443

Bulimulus.

MOLLUSQUES.

PLANCHE XXII.

- Fig. 1. Mâchoire du *Bulinulus Delattrei*.
Fig. 2. Plaque linguale du même : *a*, dent rachiale; *b*, dents latérales.
Fig. 3. Dents marginales du même.
Fig. 4. Organes génitaux du même : *a*, orifice génital commun; *b*, verge; *c*, son muscle rétracteur; *d*, portion libre du canal déférent; *e*, prostate déférente; *f*, vagin; *g*, poche copulatrice; *h*, col de la poche copulatrice; *i*, matrice; *k*, glande albuminipare; *l*, canal excréteur de la glande en grappe; *m*, glande en grappe; *n*, cœcum épидидymaire.
Fig. 5. Spermatophore du même.
Fig. 6. Éléments de la glande en grappe du même.
Fig. 7. Mâchoire du *Bulinulus rudis*.
Fig. 8. Plaque linguale du même : *a*, dent rachiale; *b*, dents latérales.
Fig. 9. Une dent latérale du même : *a*, cuspide interne; *b*, cuspide moyenne; *c*, cuspide externe; *d*, portion réfléchie ou coudée de la dent; *e*, attache de la dent sur la plaque.
Fig. 10. Organes génitaux du même : *a*, orifice génital commun; *b*, verge; *c*, son muscle rétracteur; *d*, canal déférent; *g*, poche copulatrice; *h*, col de la poche copulatrice; *i*, matrice; *k*, glande albuminipare; *l*, canal excréteur de la glande en grappe; *m*, glande en grappe; *n*, cœcum épидидymaire.
Fig. 11. Système nerveux du même : *a*, ganglions sus-œsophagiens; *b*, ganglions sous-œsophagiens antérieurs; *c*, ganglions sous-œsophagiens moyens; *d*, ganglions sous-œsophagiens postérieurs; *e*, ganglions stomato-gastriques; *f*, *g*, commissures des ganglions sus-œsophagiens et sous-œsophagiens; *h*, commissures des ganglions sus-œsophagiens et stomato-gastriques; *k*, otocystes.
1° Nerf pharyngien antérieur; 2° nerf tentaculaire supérieur; 3° nerf tentaculaire inférieur; 4° nerfs tégumentaires des tentacules; 5° nerf labial inférieur; 6° nerf acoustique; 7° nerfs de la partie antérieure du pied; 8° nerfs des organes génitaux; 9° nerfs des téguments du cou; 10° nerfs de la poche pulmonaire; 11° nerfs du disque locomoteur; 12° nerfs des viscères du tortillon; 13° nerfs de la poche linguale; 14° nerfs des canaux excréteurs des glandes salivaires.
Fig. 12. Mâchoire du *Bulinus Cantagallanus*.
Fig. 13. Organes digestifs du même : *a*, poche linguale; *b*, pharynx; *c*, muscle rétracteur de la poche linguale; *d*, œsophage; *e*, glandes salivaires; *f*, canaux excréteurs des glandes salivaires; *g*, estomac; *h*, intestin; *i*, renflement pylorique de l'estomac.
Fig. 14. Coupe de la portion pylorique de l'estomac du même.
Fig. 15. Plaque linguale du même : *a*, dent rachiale; *b*, dents latérales.
Fig. 16. Dents marginales du même.
Fig. 17. Organes génitaux du même : *a*, orifice génital commun; *b*, verge; *c*, son muscle rétracteur; *d*, canal déférent; *e*, vagin; *g*, poche copulatrice; *h*, col de la poche copulatrice; *i*, matrice; *k*, glande albuminipare; *l*, canal excréteur de la glande en grappe; *m*, glande en grappe; *n*, cœcum épидидymaire.



P. Fischer del.

Anatomie des Bulimulus et Bulimus.

MOLLUSQUES.

PLANCHE XXIII.

- Fig. 1 *Bulimulus attenuatus*, Pfeiffer, vu de face.
Fig. 1 a Le même, vu de dos.
Fig. 2 *Bulimulus sulcosus*, Pfeiffer, var. β , vu de face.
Fig. 2 a Variété γ du même, vue de face.
Fig. 2 b Variété γ du même, vue de dos.
Fig. 3 *Bulimulus sulphureus*, Pfeiffer, vu de face.
Fig. 3 a Le même, vu de dos.
Fig. 4 *Bulimulus Ghiesbreghtii*, Pfeiffer, vu de face.
Fig. 4 a Le même, vu de dos, avec son Mollusque, dessiné d'après nature par M. Bocourt.
Fig. 5 *Bulimulus alternans*, Beck, vu de dos.
Fig. 5 a Variété β du même, vue de face.
Fig. 6 *Bulimulus rudis*, Anton, vu de face.
Fig. 6 a Le même, vu de dos.
Fig. 7 *Bulimulus Jonasi*, Pfeiffer, vu de face.
Fig. 7 a Le même, vu de dos.
Fig. 8 *Bulimulus liliaeaeus*, Férussac, vu de dos.
Fig. 8 a Variété β du même, vue de face.
Fig. 9 *Bulimulus Droueti*, Pfeiffer, vu de dos.
Fig. 9 a Variété β du même, vue de face.
Fig. 9 b Variété γ du même, vue de face.
Fig. 10 *Bulimulus Hegewischi*, Pfeiffer, vu de face.
Fig. 10 a Le même, vu de dos.
Fig. 10 b Variété γ du même, vue de face.
Fig. 11 *Bulimulus Cuernavacensis*, Crosse et Fischer, vu de face.
Fig. 11 a Le même, vu de dos.



Arneul del. et lith

imp. Baquet Paris p. v.

Bulimulus.

MOLLUSQUES.

PLANCHE XXIV.

- Fig. 1 *Bulinulus alternatus*, Say, vu de face.
Fig. 2 *Bulinulus Schiedeanus*, Pfeiffer, vu de face.
Fig. 3 *Bulinulus Tryoni*, Crosse et Fischer, vu de face.
Fig. 3 a Le même, vu de dos.
Fig. 4 *Bulinulus serperastrus*, Say, vu de face.
Fig. 5 *Bulinulus lilarinus*, var. γ , Reeve, vu de face.
Fig. 5 a Le même, vu de dos.
Fig. 6 *Bulinulus Sargi*, Crosse et Fischer, vu de face.
Fig. 6 a Le même, vu de dos.
Fig. 7 *Bulinulus nuberculatus*, Pfeiffer, vu de face.
Fig. 7 a Le même, vu de dos.
Fig. 8 *Bulinulus Dysoni*, var. β , Pfeiffer, vu de face et grossi.
Fig. 8 a Le même, vu de dos et grossi.
Fig. 8 b Le même, figuré au trait et de grandeur naturelle.
Fig. 9 *Bulinulus Moricandi*, Pfeiffer, vu de face.
Fig. 9 a Le même, vu de dos.
Fig. 10 *Bulinulus Botteri*, Crosse et Fischer, vu de face.
Fig. 10 a Le même, vu de dos.
Fig. 11 *Bulinulus castus*, Pfeiffer, vu de face.
Fig. 11 a Le même, vu de dos.
Fig. 11 b Variété β du même, vue de face.
Fig. 11 c Variété γ du même, vue de face.
Fig. 11 d Variété γ du même, vue de dos.
Fig. 12 *Simpulopsis anea*, Pfeiffer, vu de face.
Fig. 12 a Le même, vu en dessous.
Fig. 12 b Le même, vu en dessus.
Fig. 13 *Simpulopsis simula*, Morelet, vu de face.
Fig. 13 a Le même, vu de dos.
Fig. 14 *Vaginula Moreleti*, Crosse et Fischer, développé. (Dessin fait d'après nature par M. A. Morelet.)
Fig. 14 a Le même, figuré au trait et contracté.



Arnoul del

Imp Bequet Paris

Butimulus, Simpulepsis, Vaginula.

MOLLUSQUES.

PLANCHE XXV.

- Fig. 1..... *Spiraxis scalariopsis*, Morelet, vu de face et grossi.
Fig. 1 a..... Le même, vu de dos et grossi.
Fig. 1 b..... Le même, dessiné au trait, vu de face et de grandeur naturelle.
Fig. 2..... *Spiraxis sulciferus*, Morelet, vu de face et grossi.
Fig. 2 a..... Le même, vu de dos et grossi.
Fig. 2 b..... Le même, dessiné au trait, vu de face et de grandeur naturelle.
Fig. 3..... *Spiraxis sulciferus*, Morelet, var. β *Cobaniensis*, vu de face et grossi.
Fig. 3 a..... Le même, vu de face et grossi.
Fig. 3 b..... Le même, dessiné au trait, vu de face et de grandeur naturelle.
Fig. 4..... *Spiraxis Bercudti*, Pfeiffer, vu de face et grossi.
Fig. 4 a..... Le même, vu de dos et grossi.
Fig. 4 b..... Le même, dessiné au trait, vu de face et de grandeur naturelle.
Fig. 5..... *Spiraxis tenuis*, Pfeiffer, vu de face et grossi.
Fig. 5 a..... Le même, vu de dos et grossi.
Fig. 5 b..... Le même, dessiné au trait, vu de face et de grandeur naturelle.
Fig. 6..... *Spiraxis acus*, Shuttleworth, vu de face et grossi.
Fig. 6 a..... Le même, vu de dos et grossi.
Fig. 6 b..... Le même, dessiné au trait, vu de face et de grandeur naturelle.
Fig. 7..... *Spiraxis linearis*, Pfeiffer, vu de face et grossi.
Fig. 7 a..... Le même, vu de dos et grossi.
Fig. 7 b..... Le même, dessiné au trait, vu de face et de grandeur naturelle.
Fig. 8..... *Spiraxis Mexicanus*, Pfeiffer, vu de face et grossi.
Fig. 8 a..... Le même, vu de dos et grossi.
Fig. 8 b..... Le même, dessiné au trait, vu de face et de grandeur naturelle.
Fig. 9..... *Spiraxis Martensi*, Pfeiffer, vu de face et grossi.
Fig. 9 a..... Le même, vu de dos et grossi.
Fig. 9 b..... Le même, dessiné au trait, vu de face et de grandeur naturelle.
Fig. 10..... *Spiraxis Guatemalensis*, Crosse et Fischer, vu de face et grossi.
Fig. 10 a..... Le même, vu de dos et grossi.
Fig. 10 b..... Le même, dessiné au trait, vu de face et de grandeur naturelle.
Fig. 11..... *Spiraxis Blandi*, Crosse et Fischer, vu de face et grossi.
Fig. 11 a..... Le même, vu de dos et grossi.
Fig. 11 b..... Le même, dessiné au trait, vu de face et de grandeur naturelle.
Fig. 12..... *Sabulina livifera*, Morelet, vu de face et grossi.
Fig. 12 a..... Le même, vu de dos et grossi.
Fig. 12 b..... Le même, dessiné au trait, vu de face et de grandeur naturelle.
Fig. 13..... *Sabulina cylindrella*, Morelet, vu de face et grossi.
Fig. 13 a..... Le même, vu de dos et grossi.
Fig. 13 b..... Le même, dessiné au trait, vu de face et de grandeur naturelle.
Fig. 14..... *Sabulina trochlea*, Pfeiffer, vu de face et grossi.
Fig. 14 a..... Le même, dessiné au trait, vu de face et de grandeur naturelle.
Fig. 15..... *Sabulina octona*, Chemnitz, vu de face et grossi.
Fig. 15 a..... Le même, dessiné au trait, vu de face et de grandeur naturelle.



Arnoul del

Imp. Boquet à Paris

MOLLUSQUES.

PLANCHE XXVI.

- Fig. 1..... *Sabulina Berendii*, Pfeiffer, vu de face et grossi.
Fig. 1 *a*..... Le même, vu de dos et grossi.
Fig. 1 *b*..... Le même, dessiné au trait, vu de face et de grandeur naturelle.
Fig. 2..... *Sabulina Chiupensis*, Pfeiffer, vu de face et grossi.
Fig. 2 *a*..... Le même, vu de dos et grossi.
Fig. 2 *b*..... Le même, dessiné au trait, vu de face et de grandeur naturelle.
Fig. 3..... *Sabulina Sargi*, Crosse et Fischer, vu de face et grossi.
Fig. 3 *a*..... Le même, vu de dos et grossi.
Fig. 3 *b*..... Le même, dessiné au trait, vu de face et de grandeur naturelle.
Fig. 4..... *Cacilianella Veracruzensis*, Crosse et Fischer, vu de face et grossi.
Fig. 4 *a*..... Le même, vu de dos et grossi.
Fig. 4 *b*..... Le même, dessiné au trait, vu de face et de grandeur naturelle.
Fig. 5..... *Opeas costatostriatus*, Pfeiffer, vu de face et grossi.
Fig. 5 *a*..... Le même, vu de dos et grossi.
Fig. 5 *b*..... Le même, dessiné au trait, vu de face et de grandeur naturelle.
Fig. 6..... *Opeas Caracasensis*, Reeve (*emend.*), vu de face et grossi.
Fig. 6 *a*..... Le même, vu de dos et grossi.
Fig. 6 *b*..... Le même, dessiné au trait, vu de face et de grandeur naturelle.
Fig. 7..... *Opeas subula*, Pfeiffer, vu de face et grossi.
Fig. 7 *a*..... Le même, vu de dos et grossi.
Fig. 7 *b*..... Le même, dessiné au trait, vu de face et de grandeur naturelle.
Fig. 8..... *Opeas Bucourtianus*, Crosse et Fischer, vu de face et grossi.
Fig. 8 *a*..... Le même, vu de dos et grossi.
Fig. 8 *b*..... Le même, dessiné au trait, vu de face et de grandeur naturelle.
Fig. 9..... *Opeas Colimensis*, Crosse et Fischer, vu de face et grossi.
Fig. 9 *a*..... Le même, vu de dos et grossi.
Fig. 9 *b*..... Le même, dessiné au trait, vu de face et de grandeur naturelle.
Fig. 10..... *Opeas gladiolus*, Crosse et Fischer, vu de face et grossi.
Fig. 10 *a*..... Le même, vu de dos et grossi.
Fig. 10 *b*..... Le même, dessiné au trait, vu de face et de grandeur naturelle.
Fig. 11..... *Succinea Guatemalensis*, Morelet, vu de face et grossi.
Fig. 11 *a*..... Le même, dessiné au trait, vu de face et de grandeur naturelle.
Fig. 12..... *Succinea hortulana*, Morelet, vu de face et grossi.
Fig. 12 *a*..... Le même, dessiné au trait, vu de face et de grandeur naturelle.
Fig. 13..... *Succinea recisa*, Morelet, vu de face et grossi.
Fig. 13 *a*..... Le même, dessiné au trait, vu de face et de grandeur naturelle.
Fig. 14..... *Succinea brevis*, Dunker, vu de face et grossi.
Fig. 14 *a*..... Le même, vu de dos et grossi.
Fig. 14 *b*..... Le même, dessiné au trait, vu de face et de grandeur naturelle.
Fig. 15..... *Succinea Pueblensis*, Crosse et Fischer, vu de face et grossi.
Fig. 15 *a*..... Le même, vu de dos et grossi.
Fig. 15 *b*..... Le même, dessiné au trait, vu de face et de grandeur naturelle.
Fig. 15 *c*..... Le même, vu de côté et grossi.



Arnoul del.

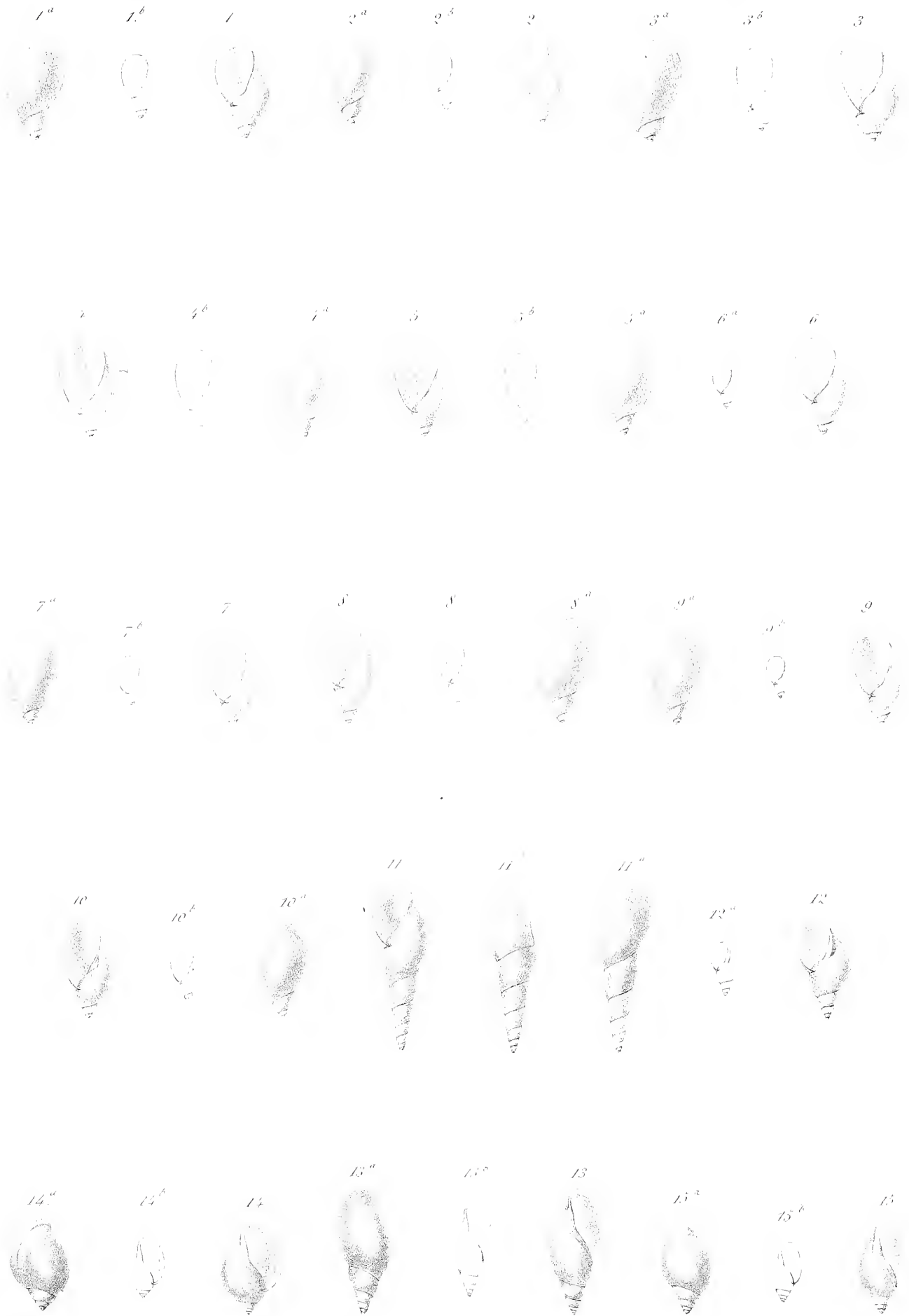
Lmo Bequet a Paris

Subulina, Cecilianella, Opas, Succinea.

MOLLUSQUES.

PLANCHE XXVII.

- Fig. 1 *Succinea aurea*, Lea, vu de face et grossi.
Fig. 1 *a* Le même, vu de dos et grossi.
Fig. 1 *b* Le même, dessiné au trait, vu de face et de grandeur naturelle.
Fig. 2 *Succinea luteola*, Gould, vu de face et grossi.
Fig. 2 *a* Le même, vu de dos et grossi.
Fig. 2 *b* Le même, dessiné au trait, vu de face et de grandeur naturelle.
Fig. 3 *Succinea virgata*, Martens, vu de face et grossi.
Fig. 3 *a* Le même, vu de dos et grossi.
Fig. 3 *b* Le même, dessiné au trait, vu de face et de grandeur naturelle.
Fig. 4 *Succinea undulata*, Say, vu de face et grossi.
Fig. 4 *a* Le même, vu de dos et grossi.
Fig. 4 *b* Le même, dessiné au trait, vu de face et de grandeur naturelle.
Fig. 5 *Succinea undulata*, Say, var. β *colorata*, vu de face et grossi.
Fig. 5 *a* Le même, vu de dos et grossi.
Fig. 5 *b* Le même, dessiné au trait, vu de face et de grandeur naturelle.
Fig. 6 *Succinea undulata*, Say, var. γ *Caruensis*, vu de face et grossi.
Fig. 6 *a* Le même, dessiné au trait, vu de face et de grandeur naturelle.
Fig. 7 *Succinea undulata*, Say, var. δ *Cordovana*, vu de face et grossi.
Fig. 7 *a* Le même, vu de dos et grossi.
Fig. 7 *b* Le même, dessiné au trait, vu de face et de grandeur naturelle.
Fig. 8 *Succinea lineata*, W. G. Binney, var. β *Sonorensis*, vu de face et grossi.
Fig. 8 *a* Le même, vu de dos et grossi.
Fig. 8 *b* Le même, dessiné au trait, vu de face et de grandeur naturelle.
Fig. 9 *Succinea Californica*, Crosse et Fischer, vu de face et grossi.
Fig. 9 *a* Le même, vu de dos et grossi.
Fig. 9 *b* Le même, dessiné au trait, vu de face et de grandeur naturelle.
Fig. 10 *Succinea Concordialis*, Gould, vu de face et grossi.
Fig. 10 *a* Le même, vu de dos et grossi.
Fig. 10 *b* Le même, dessiné au trait, vu de face et de grandeur naturelle.
Fig. 11 *Limnaea attenuata*, Say, vu de face.
Fig. 11 *a* Le même, vu de dos.
Fig. 11 *b* Le même, vu de côté.
Fig. 12 *Limnaea Cubeensis*, Pfeiffer, vu de face et grossi.
Fig. 12 *a* Le même, dessiné au trait, vu de face et de grandeur naturelle.
Fig. 13 *Aplecta spiculata*, Morelet, vu de face et grossi.
Fig. 13 *a* Le même, vu de dos et grossi.
Fig. 13 *b* Le même, dessiné au trait, vu de face et de grandeur naturelle.
Fig. 14 *Physa Brevetti*, Dunker, vu de face et grossi.
Fig. 14 *a* Le même, vu de dos et grossi.
Fig. 14 *b* Le même, dessiné au trait, vu de face et de grandeur naturelle.
Fig. 15 *Physa Teluantepecensis*, Crosse et Fischer, vu de face et grossi.
Fig. 15 *a* Le même, vu de dos et grossi.
Fig. 15 *b* Le même, dessiné au trait, vu de face et de grandeur naturelle.



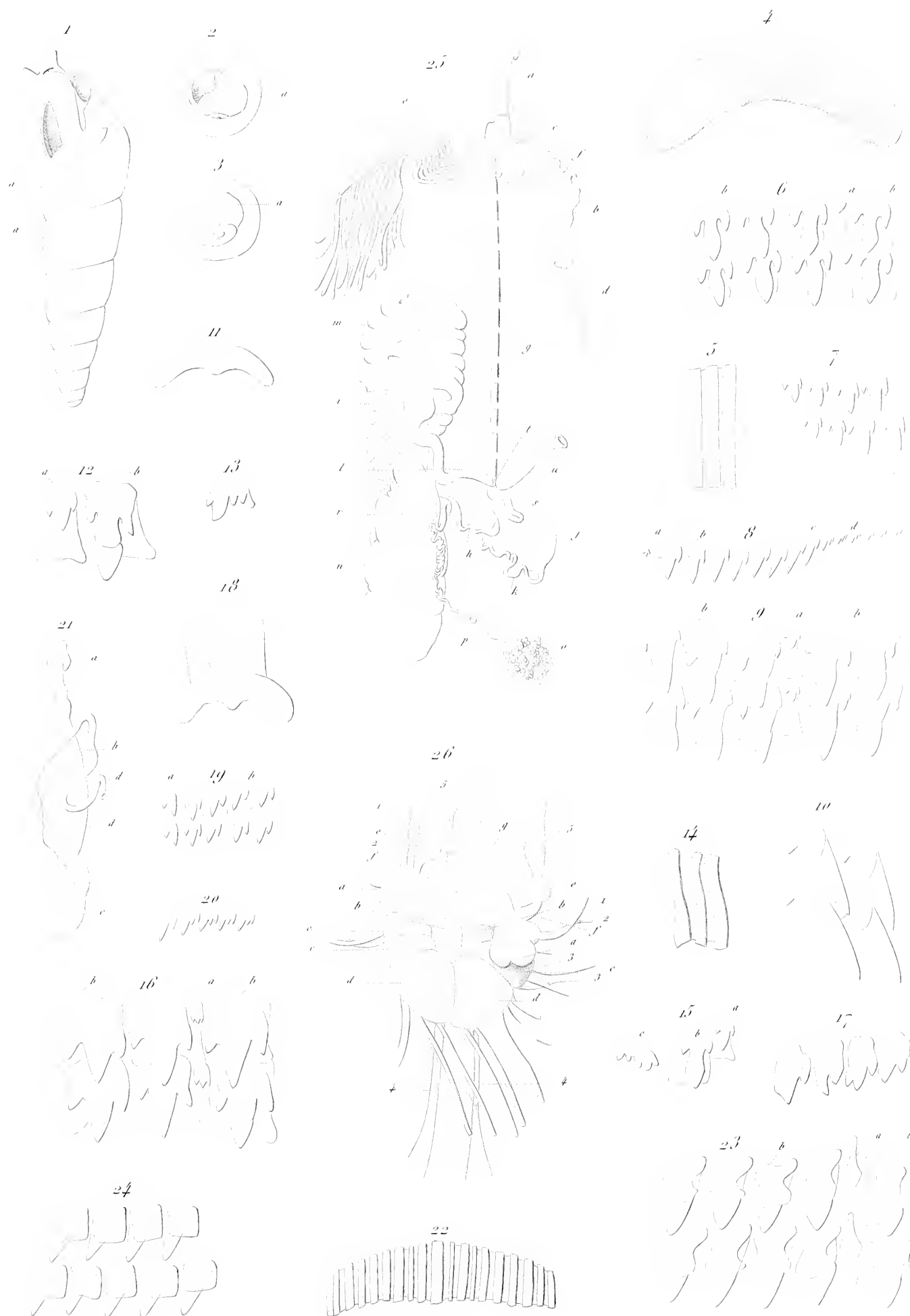
Arctur del

Imp Biequet, Paris

MOLLUSQUES.

PLANCHE XXVIII.

- Fig. 1. *Subulina octona*, Chemnitz. Animal dans sa coquille, pour montrer la position des œufs à l'intérieur des derniers tours de spire : *a*, les œufs.
- Fig. 2. Un œuf du même, ouvert : *a*, coquille embryonnaire vue par l'ouverture.
- Fig. 3. Un œuf du même : *a*, coquille embryonnaire vue en dessus.
- Fig. 4. Mâchoire du même.
- Fig. 5. Portion de la mâchoire du même, très-grossie.
- Fig. 7. Plaque linguale du même : *a*, dent centrale; *b*, dents latérales.
- Fig. 8. *Leptinaria lamellata*, Poticz et Michaud. Une rangée des dents de la plaque linguale : *a*, dent centrale; *b*, dents latérales; *c*, dents de transition entre les latérales et les marginales; *d*, dents marginales.
- Fig. 9. Plaque linguale du même, plus grossie : *a*, dent centrale; *b*, dents latérales.
- Fig. 10. Premières dents marginales du même.
- Fig. 11. *Opeas subula*, Pfeiffer. Mâchoire d'après W. G. Binney.
- Fig. 12. Portion de plaque linguale du même : *a*, dent centrale; *b*, dent latérale (W. G. Binney).
- Fig. 13. Dent marginale du même (W. G. Binney).
- Fig. 14. *Geostilbia Gundlachi*, Pfeiffer. Portion de mâchoire (W. G. Binney).
- Fig. 15. Dents linguales du même : *a*, dent centrale; *b*, dent latérale; *c*, dent marginale (W. G. Binney).
- Fig. 16. *Rumina decollata*, Linné. Plaque linguale : *a*, dent centrale; *b*, dents latérales.
- Fig. 17. Dents marginales du même.
- Fig. 18. *Succinea Californica*, Crosse et Fischer. Mâchoire.
- Fig. 19. Plaque linguale du même : *a*, dent centrale; *b*, dents latérales.
- Fig. 20. Dents marginales du même.
- Fig. 21. *Vaginula occidentalis*, Guilding. Système digestif : *a*, poche linguale; *b*, œsophage; *c*, cul-de-sac stomacal; *d*, intestin.
- Fig. 22. Mâchoire du même.
- Fig. 23. Plaque linguale du même : *a*, dent centrale; *b*, dents latérales.
- Fig. 24. Dents marginales du même.
- Fig. 25. Système génital du même : *a*, verge faisant saillie; *b*, fourreau de la verge; *c*, muscle protracteur de la verge; *d*, muscle rétracteur de la verge; *e*, vésicules muqueuses; *f*, portion antérieure libre du canal déférent; *g*, portion intra-pédieuse du canal déférent; *h*, portion postérieure libre du canal déférent; *i*, prostate déférente; *j*, vésicule séminale; *k*, son canal excréteur; *l*, vagin; *m*, matrice; *n*, glande albinipare; *o*, glande en grappe; *p*, canal excréteur de la glande en grappe; *r*, sa portion épидидymaire; *s*, poche copulatrice; *t*, orifice génital femelle; *u*, rectum.
- Fig. 26. Système nerveux du même : *a*, ganglions sus-œsophagiens; *b*, ganglions sous-œsophagiens antérieurs; *c*, ganglions sous-œsophagiens moyens; *d*, ganglions sous-œsophagiens postérieurs; *e*, ganglions stomato-gastriques; *f*, commissure des ganglions sus-œsophagiens et stomato-gastriques; *g*, commissure des ganglions stomato-gastriques. 1, nerf tentaculaire supérieur; 2, nerf tégumentaire du tentacule supérieur; 3, nerfs des parties latérales du sac tégumentaire; 4, nerfs du plan locomoteur; 5, nerfs des glandes salivaires et de leurs conduits excréteurs. — Toutes ces figures sont très-grossies.



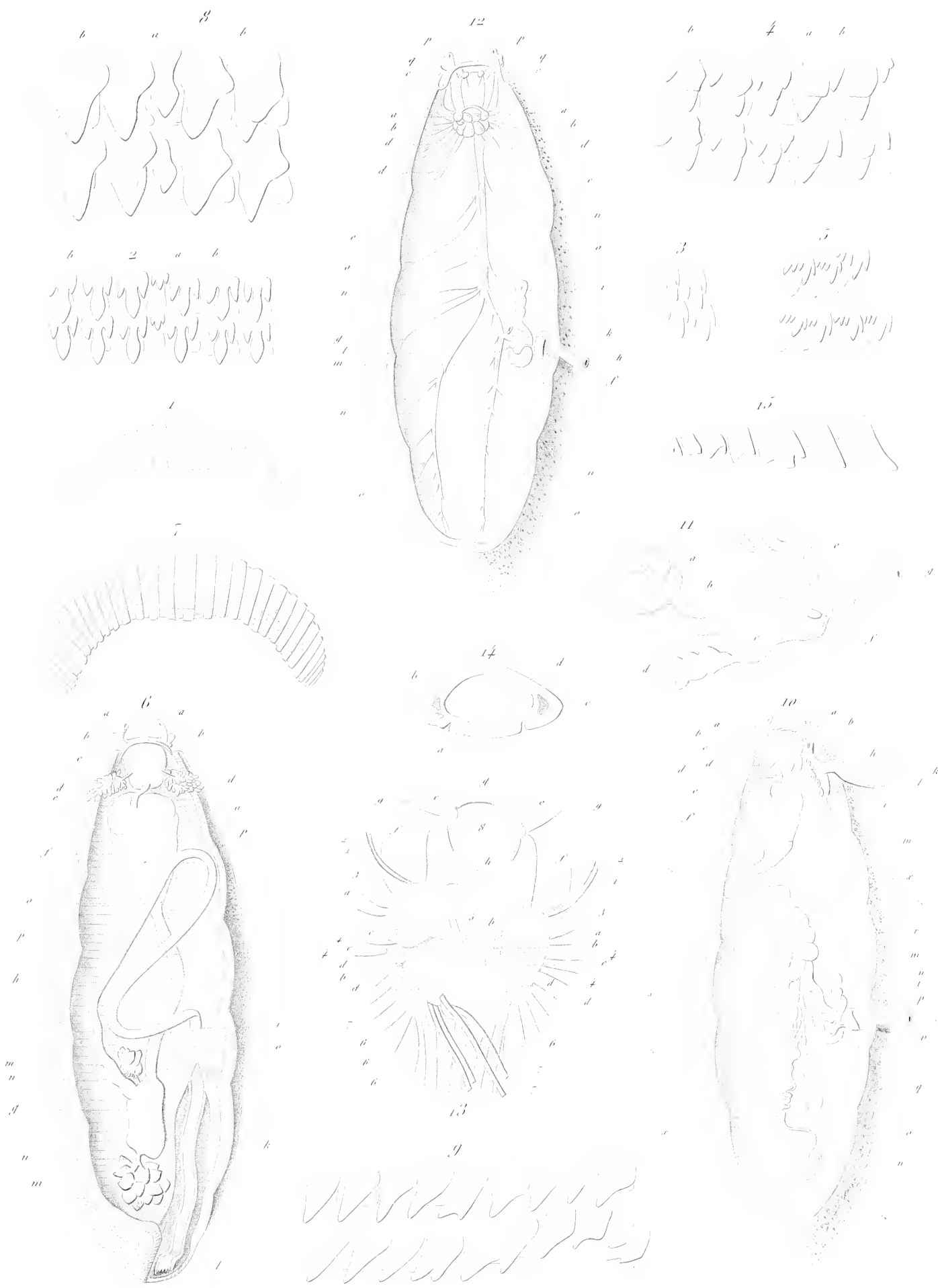
P. Fischer del.

Anatomie des *Vaginula*, *Subulina*, *Leptanaria*, *Opeas*, *Geostilbia*, *Rumina*, *Succinea*.

MOLLUSQUES.

PLANCHE XXIX.

- Fig. 1. *Opeas subula*, Pfeiffer. Mâchoire.
Fig. 2. Plaque linguale du même : *a*, dent centrale; *b*, dents latérales.
Fig. 3. Dents marginales du même.
Fig. 4. *Succinea putris*, Linné. Plaque linguale : *a*, dent centrale; *b*, dents latérales.
Fig. 5. Dents marginales du même.
Fig. 6. *Vaginula Moreleti*, Crosse et Fischer. Les téguments de la partie supérieure du corps sont enlevés. *a*, tentacules supérieurs; *b*, tentacules inférieurs; *c*, poche linguale; *d*, glandes salivaires; *e*, première portion de l'œsophage; *f*, renflement de l'œsophage; *g*, gésier; *h*, intestin; *i*, point où l'intestin s'enfonce dans les tissus du pied; *k*, rectum dans son trajet intra-pédieux; *l*, anus; *mm*, lobes du foie (une très-petite portion du lobe antérieur est figurée); *nn*, canaux hépatiques.
Fig. 7. Mâchoire du même.
Fig. 8. Plaque linguale du même : *a*, dent centrale; *b*, dents latérales.
Fig. 9. Dents marginales du même.
Fig. 10. *Vaginula Moreleti*, Crosse et Fischer. Les téguments de la partie supérieure du corps sont enlevés, ainsi que la plus grande partie du système digestif. *a*, tentacules supérieurs; *b*, tentacules inférieurs; *c*, poche linguale; *d*, canaux excréteurs des glandes salivaires; *e*, œsophage; *f*, renflement œsophagien; *g*, intestin; *h*, verge; *i*, muscle rétracteur de la verge; *k*, vésicules muqueuses; *l*, portion antérieure libre du canal déférent; *m*, trajet du canal déférent dans le pied; *n*, glande en grappe; *o*, canal excréteur de la glande en grappe; *p*, portion postérieure libre du canal déférent; *q*, glande albuminipare; *r*, matrice; *s*, prostate déférente; *t*, vagin; *u*, poche copulatrice; *v*, poche spéciale; *x*, disque podal; *z*, enveloppe tégumentaire.
Fig. 11. Portion du système génital du même : *a*, matrice; *b*, vagin; *c*, canal déférent; *d*, prostate déférente; *e*, poche copulatrice; *f*, poche spéciale; *g*, intestin.
Fig. 12. *Vaginula Moreleti*, Crosse et Fischer. Les téguments de la partie supérieure du corps sont enlevés, ainsi que le système digestif et le système génital. *a*, ganglions sus-œsophagiens; *b*, ganglions sous-œsophagiens; *c*, ganglions stomato-gastriques; *d*, nerfs du manteau et des parties latérales du pied; *e*, nerfs de la partie médiane du pied; *f*, branche nerveuse du côté droit et postérieur du pied; *g*, branche nerveuse du côté gauche et postérieur du pied; *h*, intestin; *i*, poche copulatrice; *k*, vagin; *l*, canal déférent; *m*, poche spéciale; *n*, disque podal; *o*, enveloppe tégumentaire; *p*, tentacules supérieurs; *q*, tentacules inférieurs.
Fig. 13. Système nerveux du même : *a*, ganglions sus-œsophagiens; *b*, ganglions sous-œsophagiens antérieurs ou pédieux; *c*, ganglions sous-œsophagiens moyens; *d*, ganglions sous-œsophagiens postérieurs; *e*, ganglions stomato-gastriques; *f*, commissure des ganglions sus-œsophagiens et stomato-gastriques; *g*, commissure transverse des ganglions stomato-gastriques; *h*, commissure des ganglions susœsophagiens.
1, nerf tentaculaire supérieur; 2, nerf accessoire du tentaculaire supérieur; 3, nerf tentaculaire inférieur; 4, nerfs des parties latérales de l'enveloppe tégumentaire; 5, nerfs de la partie antérieure du pied; 6, nerfs du disque podal; 7, nerfs viscéraux; 8, nerfs pharyngiens; 9, nerfs des glandes salivaires.
Fig. 14. Coupe transversale du même, vers le quart postérieur de sa longueur : *a*, disque podal; *b*, tégument dorsal; *c*, rectum; *d*, cavité viscérale.
Fig. 15. Dents marginales du *Vaginula plebeia*, Fischer.



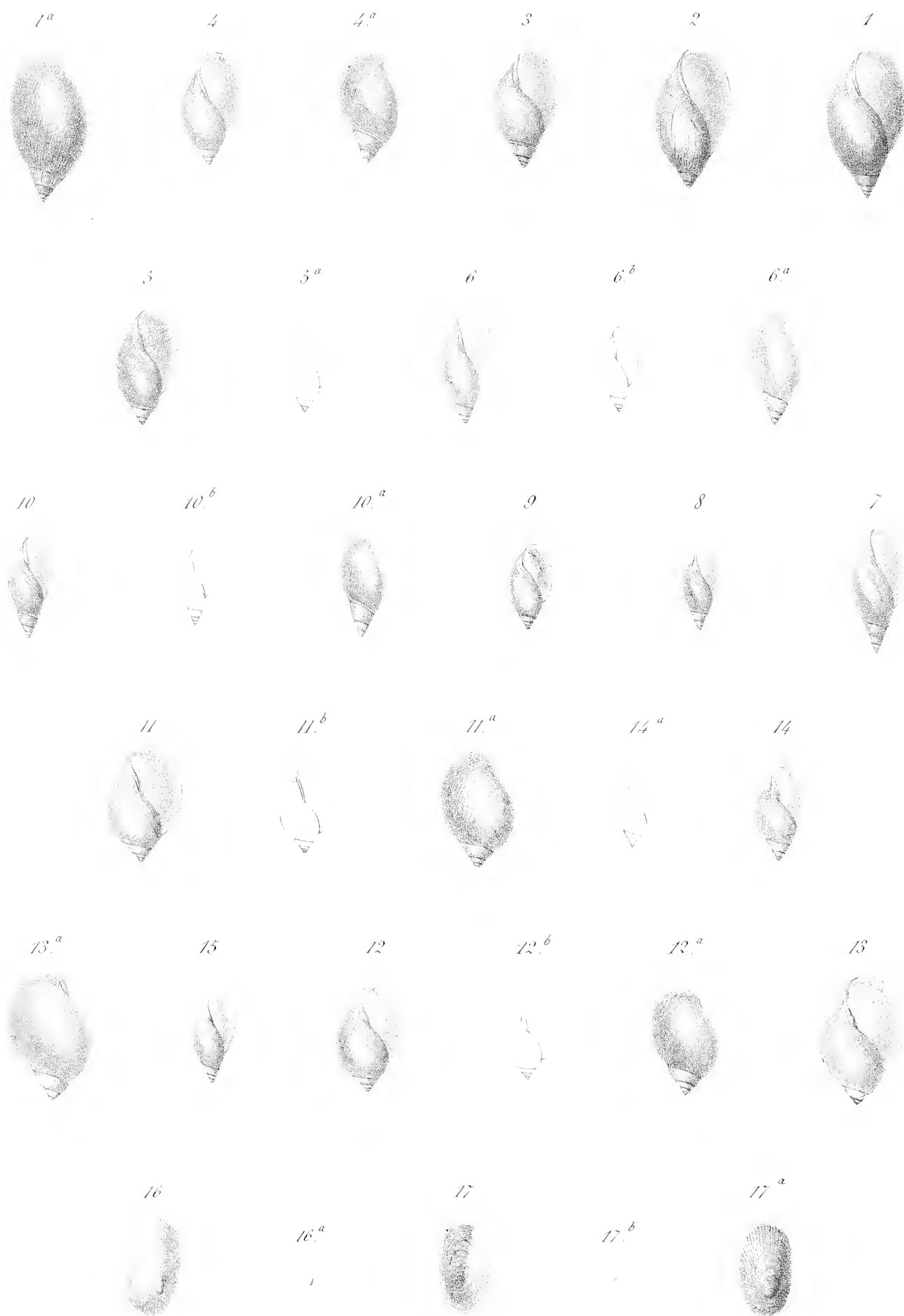
P. Fischer del.

Anatomie des Opéas, Succinea et Vaginula.

MOLLUSQUES.

PLANCHE XXX.

- Fig. 1 *Aplecta nitens*, Philippi, vu de face.
Fig. 1 a Le même, vu de dos.
Fig. 2 *Aplecta aurantia*, Carpenter, vu de face.
Fig. 3 *Aplecta impluviata*, Morelet, vu de face.
Fig. 4 *Physa Boucardi*, Crosse et Fischer, vu de face.
Fig. 4 a Le même, vu de dos.
Fig. 5 *Aplecta fuliginosa*, Morelet, vu de face et grossi.
Fig. 5 a Le même, dessiné au trait, vu de face et de grandeur naturelle.
Fig. 6 *Aplecta spiculata*, Morelet, var. γ *Tapanensis*, vu de face et grossi.
Fig. 6 a Le même, vu de dos et grossi.
Fig. 6 b Le même, dessiné au trait, vu de face et de grandeur naturelle.
Fig. 7 *Aplecta cisternina*, Morelet, vu de face.
Fig. 8 *Aplecta cisternina*, Morelet, var. β , vu de face.
Fig. 9 *Aplecta cisternina*, Morelet, var. γ , vu de face.
Fig. 10 *Aplecta cisternina*, Morelet, var. δ , vu de face et grossi.
Fig. 10 a Le même, vu de dos et grossi.
Fig. 10 b Le même, dessiné au trait, vu de face et de grandeur naturelle.
Fig. 11 *Physa Mexicana*, Philippi, vu de face et grossi.
Fig. 11 a Le même, vu de dos et grossi.
Fig. 11 b Le même, dessiné au trait, vu de face et de grandeur naturelle.
Fig. 12 *Physa Mexicana*, Philippi, var. β , *plicata*, vu de face et grossi.
Fig. 12 a Le même, vu de dos et grossi.
Fig. 12 b Le même, dessiné au trait, vu de face et de grandeur naturelle.
Fig. 13 *Physa Mexicana*, Philippi, var. γ , *Tolucensis*, vu de face.
Fig. 13 a Le même, vu de dos.
Fig. 14 *Physa squalida*, Morelet, vu de face et grossi.
Fig. 14 a Le même, dessiné au trait, vu de face et de grandeur naturelle.
Fig. 15 *Aplecta spiculata*, Morelet, var. β , vu de face.
Fig. 16 *Ancylus excentricus*, Morelet, vu de dos et grossi.
Fig. 16 a Le même, dessiné au trait, vu de dos et de grandeur naturelle.
Fig. 17 *Ancylus Salleri*, Bourguignat, vu de face et grossi.
Fig. 17 a Le même, vu de dos et grossi.
Fig. 17 b Le même, dessiné au trait, vu de dos et de grandeur naturelle.



Arnoud del

Imp. Bacheux Paris

Aplecta, Physa, Ancylus.

MOLLUSQUES.

PLANCHE XXXI.

- Fig. 1. *Oncidiella Celtica*, Cuvier. Animal vu par dessous : *a*, pied; *b*, manteau; *c*, palpes labiaux; *d*, tentacules; *e*, rainure spermatique; *f*, anus; *g*, orifice pulmonaire; *h*, orifice génital mâle; *i*, point où la rainure spermatique débouche dans la portion antérieure libre du canal déférent; *k*, rainure qui sépare le pied du manteau (côté gauche).
- Fig. 2. Le même, vu en dessus; les téguments ont été enlevés suivant une section parallèle au plan locomoteur : *a*, cavité viscérale; *b*, téguments; *c*, glandes marginales intra-tégumentaires; *d*, leurs canaux excréteurs; *e*, tubercules marginaux du manteau, à l'extrémité desquels débouchent ces canaux; *f*, poche linguale; *g*, œsophage; *h*, collier nerveux; *i*, rectum; *k*, péricarde; *l*, cœur; *m*, aorte; *n*, rameau aortique de la région antérieure du corps; *o*, rameau aortique de la région viscérale moyenne (cardia, foie, etc.); *p*, rameau aortique de la région postérieure du corps (glandes génitales, rectum, etc.).
- Fig. 3. Système digestif du même : *a*, poche linguale; *b*, ses muscles protracteurs; *c*, glandes salivaires; *d*, œsophage; *e*, estomac ou gésier; *f*, canaux hépatiques du cardia; *g*, canal hépatique du gésier; *h*, foie; *i*, renflement duodénal; *k*, intestin.
- Fig. 4. Plaque linguale du même : *a*, dent centrale; *b*, dents latérales.
- Fig. 5. Plaque linguale du même; série de dents du côté droit : *a*, dent centrale; *b*, les six premières dents latérales.
- Fig. 6. Dents latérales du même, prises vers la partie moyenne d'une rangée.
- Fig. 7. Dents marginales extrêmes du même.
- Fig. 8. Système génital du même : *a*, verge; *b*, son muscle rétracteur; *c*, portion antérieure libre du canal déférent; *d*, point où le canal déférent traverse les téguments pour aboutir à la rainure spermatique extérieure; *e*, glande en grappe; *f*, son canal excréteur; *g*, cœcum épидидymaire du canal excréteur de la glande en grappe; *h*, glande albuminipare; *i*, matrice; *k*, oviducte; *l*, portion postérieure libre du canal déférent; *m*, poche copulatrice; *n*, son canal excréteur; *o*, poche spéciale s'abouchant dans le vagin, ou diverticule vaginal; *p*, vagin; *q*, rectum; *r*, cloaque.
- Fig. 9. Spermatozoaires et cellules recueillis dans la poche copulatrice du même.
- Fig. 10. Une des glandes marginales du manteau du même : *a*, acini; *b*, tunique de la glande; *c*, son canal excréteur.
- Fig. 11. Un des acini des glandes marginales du même : *a*, cellules; *b*, noyau; *c*, portion tubuleuse.
- Fig. 12. Système nerveux du même : *a*, ganglions sus-œsophagiens; *b*, ganglions sous-œsophagiens antérieurs, ou pédieux; *c*, ganglion sous-œsophagien moyen; *d*, ganglions sous-œsophagiens postérieurs; *e*, ganglions stomato-gastriques; *f*, commissure des ganglions sus-œsophagiens et stomato-gastriques; *g*, commissure des ganglions stomato-gastriques.
- 1, nerf tentaculaire; 2, nerf des palpes labiaux; 3, nerf pénien ou copulateur; 4, nerfs des parties latérales du manteau; 5, nerfs du plan locomoteur; 6, nerf satellite de l'aorte; 7, nerf de la poche pulmonaire.
- Fig. 13. Plaque linguale de l'*Oncidium (Peronia) verruculatum*, Cuvier : *a*, dent centrale; *b*, dents latérales.
- Fig. 14. Dents latérales du même, prises vers la partie moyenne de la rangée.
- Fig. 15. Dents marginales du même.

Les figures 9, 10, 11 ont été gravées d'après les dessins de M. L. Vaillant, ainsi qu'une partie des figures 2 et 8.



P. Fischer, del.

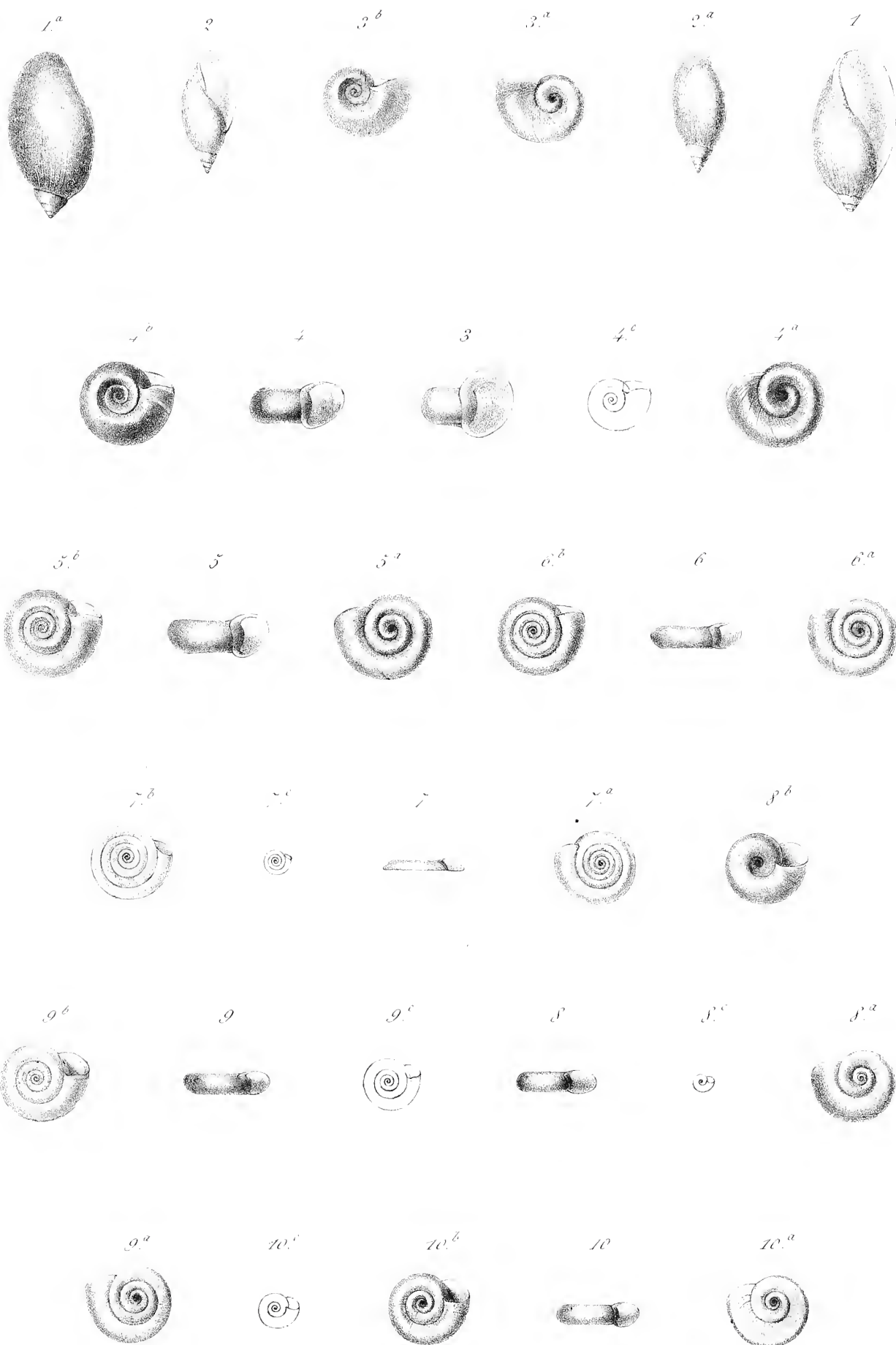
Del.

Anatomie des Oncidiella et Oncidium.

MOLLUSQUES.

PLANCHE XXXII.

- Fig. 1 *Aplecta aurantia*, Carpenter, vu de face.
 Fig. 1 a Le même, vu de dos.
 Fig. 2 *Aplecta elata*, Gould, vu de face.
 Fig. 2 a Le même, vu de dos.
 Fig. 3 *Planorbis tenuis*, Philippi, var. β Boucardi, vu de face.
 Fig. 3 a Le même, vu du côté de la face supérieure.
 Fig. 3 b Le même, vu du côté de la face inférieure.
 Fig. 4 *Planorbis tumens*, Carpenter, vu de face et grossi.
 Fig. 4 a Le même, vu du côté de la face supérieure et grossi.
 Fig. 4 b Le même, vu du côté de la face inférieure et grossi.
 Fig. 4 c Le même, dessiné au trait, vu du côté de la face inférieure et de grandeur naturelle.
 Fig. 5 *Planorbis ancylostomus*, Crosse et Fischer, vu de face.
 Fig. 5 a Le même, vu du côté de la face supérieure.
 Fig. 5 b Le même, vu du côté de la face inférieure.
 Fig. 6 *Planorbis Belizensis*, Crosse et Fischer, vu de face.
 Fig. 6 a Le même, vu du côté de la face supérieure.
 Fig. 6 b Le même, vu du côté de la face inférieure.
 Fig. 7 *Planorbis cultratus*, A. d'Orbigny, vu de face et grossi.
 Fig. 7 a Le même, vu du côté de la face supérieure et grossi.
 Fig. 7 b Le même, vu du côté de la face inférieure et grossi.
 Fig. 7 c Le même, dessiné au trait, vu du côté de la face inférieure et de grandeur naturelle.
 Fig. 8 *Planorbis æruginosus*, Morelet, vu de face et grossi.
 Fig. 8 a Le même, vu du côté de la face supérieure et grossi.
 Fig. 8 b Le même, vu du côté de la face inférieure et grossi.
 Fig. 8 c Le même, dessiné au trait, vu du côté de la face inférieure et de grandeur naturelle.
 Fig. 9 *Planorbis orbiculus*, Morelet, vu de face et grossi.
 Fig. 9 a Le même, vu du côté de la face supérieure et grossi.
 Fig. 9 b Le même, vu du côté de la face inférieure et grossi.
 Fig. 9 c Le même, dessiné au trait, vu du côté de la face inférieure et de grandeur naturelle.
 Fig. 10 *Planorbis retusus*, Morelet, vu de face et grossi.
 Fig. 10 a Le même, vu du côté de la face supérieure et grossi.
 Fig. 10 b Le même, vu du côté de la face inférieure et grossi.
 Fig. 10 c Le même, dessiné au trait, vu du côté de la face inférieure et de grandeur naturelle.



Arnoul del.

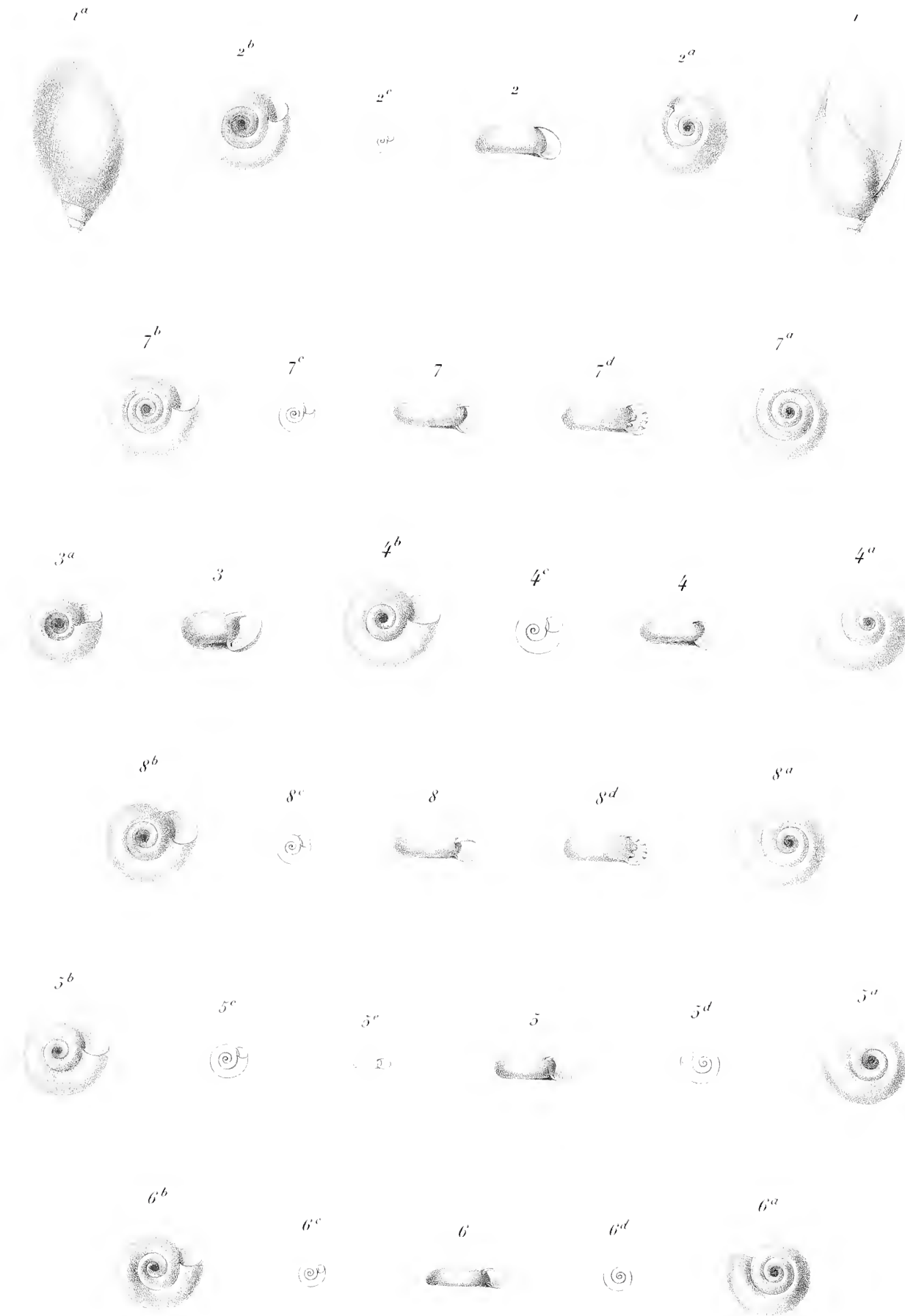
Imp. Bequet, Paris

Aplecta, Planorbis.

MOLLUSQUES.

PLANCHE XXXIII.

- Fig. 1 *Aplecta aurantia*, Carpenter, vu de face (*ex typo*).
 Fig. 1 a Le même, vu du dos.
 Fig. 2 *Planorbis Yzabalensis*, Crosse et Fischer, vu de face et grossi.
 Fig. 2 a Le même, vu du côté de la face supérieure et grossi.
 Fig. 2 b Le même, vu du côté de la face inférieure et grossi.
 Fig. 2 c Le même, dessiné au trait, vu du côté de la face inférieure et de grandeur naturelle.
 Fig. 3 *Planorbis tumens*, Carpenter, vu de face (*ex typo*).
 Fig. 3 a Le même, vu du côté de la face inférieure.
 Fig. 4 *Planorbis Maya*, Morelet, vu de face et grossi.
 Fig. 4 a Le même, vu du côté de la face supérieure et grossi.
 Fig. 4 b Le même, vu du côté de la face inférieure et grossi.
 Fig. 4 c Le même, dessiné au trait, vu du côté de la face inférieure et de grandeur naturelle.
 Fig. 5 *Planorbis Petenensis*, Morelet, vu de face et grossi.
 Fig. 5 a Le même, vu du côté de la face supérieure et grossi.
 Fig. 5 b Le même, vu du côté de la face inférieure et grossi.
 Fig. 5 c Le même, dessiné au trait, vu du côté de la face inférieure et de grandeur naturelle.
 Fig. 5 d Le même, dessiné au trait, vu du côté de la face supérieure et de grandeur naturelle.
 Fig. 5 e Le même, dessiné au trait, vu de face et de grandeur naturelle.
 Fig. 6 *Planorbis Sumichrasti*, Crosse et Fischer, vu de face et grossi.
 Fig. 6 a Le même, vu du côté de la face supérieure et grossi.
 Fig. 6 b Le même, vu du côté de la face inférieure et grossi.
 Fig. 6 c Le même, dessiné au trait, vu du côté de la face inférieure et de grandeur naturelle.
 Fig. 6 d Le même, dessiné au trait, vu du côté de la face inférieure et de grandeur naturelle.
 Fig. 7 *Planorbula dentiens*, Morelet, vu de face et grossi.
 Fig. 7 a Le même, vu du côté de la face supérieure et grossi.
 Fig. 7 b Le même, vu du côté de la face inférieure et grossi.
 Fig. 7 c Le même, dessiné au trait, vu du côté de la face inférieure et de grandeur naturelle.
 Fig. 7 d Le même, vu de face, ouvert, de façon à permettre de voir complètement ses dents internes, et grossi.
 Fig. 8 *Planorbula obstructa*, Morelet, vu de face et grossi.
 Fig. 8 a Le même, vu du côté de la face supérieure et grossi.
 Fig. 8 b Le même, vu du côté de la face inférieure et grossi.
 Fig. 8 c Le même, dessiné au trait, vu du côté de la face inférieure et de grandeur naturelle.
 Fig. 8 d Le même, vu de face, ouvert, de façon à permettre de voir complètement ses dents internes, et grossi.



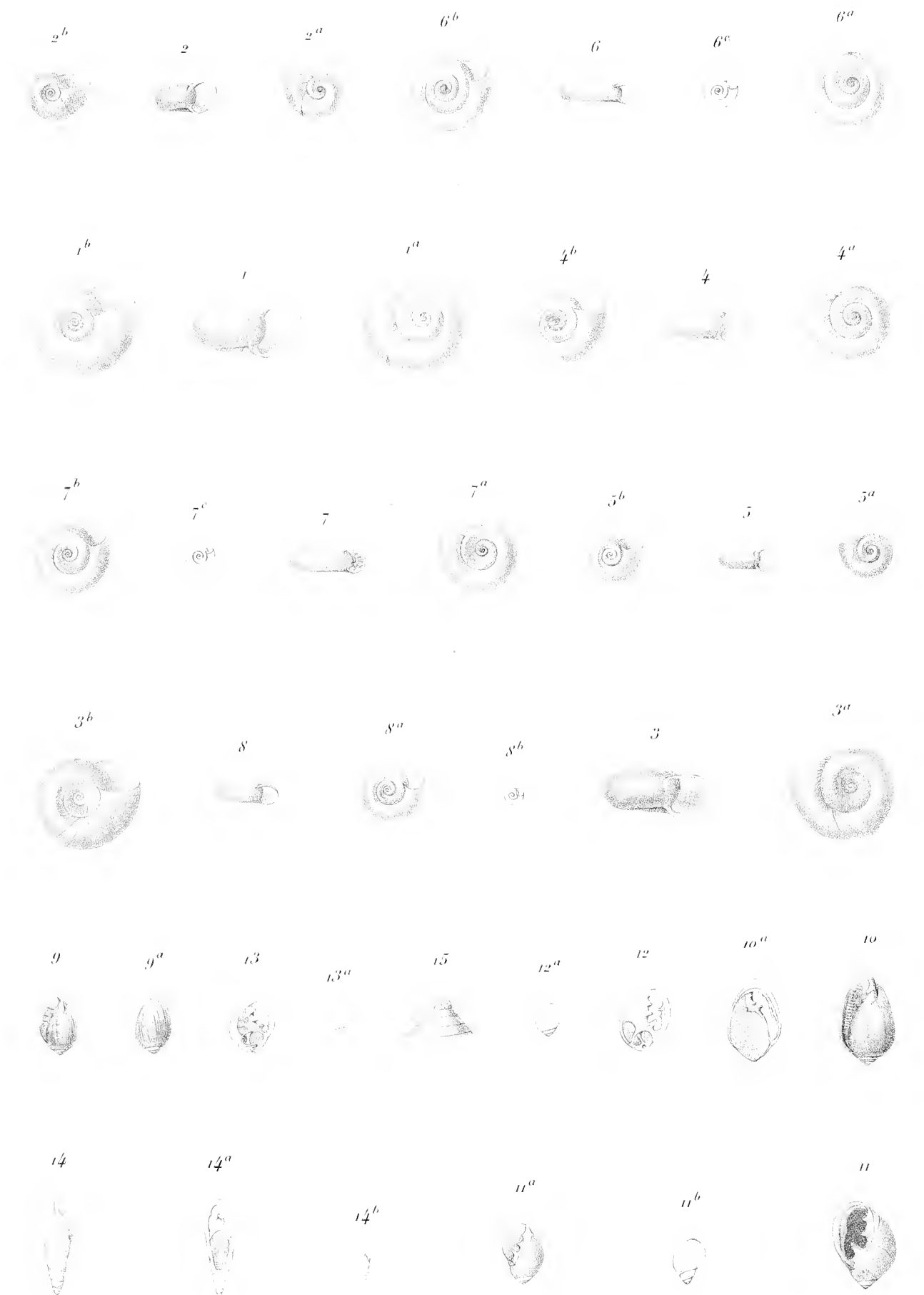
Arnoul del

Aplecta, Planorbis, Planorbula.

MOLLUSQUES.

PLANCHE XXXIV.

- Fig. 1 *Planorbis tenuis*, Philippi, vu de face.
 Fig. 1 a. Le même, vu du côté de la face supérieure.
 Fig. 1 b. Le même, vu du côté de la face inférieure.
 Fig. 2 *Planorbis tenuis*, Philippi, var. *Wyldi*, vu de face.
 Fig. 2 a. Le même, vu du côté de la face supérieure.
 Fig. 2 b. Le même, vu du côté de la face inférieure.
 Fig. 3 *Planorbis lentus*, Say, vu de face.
 Fig. 3 a. Le même, vu du côté de la face supérieure.
 Fig. 3 b. Le même, vu du côté de la face inférieure.
 Fig. 4 *Planorbis tumidus*, Pfeiffer, vu de face.
 Fig. 4 a. Le même, vu du côté de la face supérieure.
 Fig. 4 b. Le même, vu du côté de la face inférieure.
 Fig. 5 *Planorbis ancylostomus*, Crosse et Fischer, var. γ *Chiapasensis*, vu de face.
 Fig. 5 a. Le même, vu du côté de la face supérieure.
 Fig. 5 b. Le même, vu du côté de la face inférieure.
 Fig. 6 *Planorbula dentiens*, Morelet, var. *Cannarum*, vu de face et grossi.
 Fig. 6 a. Le même, vu du côté de la face supérieure et grossi.
 Fig. 6 b. Le même, vu du côté de la face inférieure et grossi.
 Fig. 6 c. Le même, dessiné au trait, vu du côté de la face inférieure et de grandeur naturelle.
 Fig. 7 *Planorbula obstructa*, Morelet, var. *Berendti*, vu de face, ouvert et grossi.
 Fig. 7 a. Le même, vu du côté de la face supérieure et grossi.
 Fig. 7 b. Le même, vu du côté de la face inférieure et grossi.
 Fig. 7 c. Le même, dessiné au trait, vu du côté de la face inférieure et de grandeur naturelle.
 Fig. 8 *Planorbula albicans*, Pfeiffer, vu de face et grossi.
 Fig. 8 a. Le même, vu du côté de la face inférieure et grossi.
 Fig. 8 b. Le même, dessiné au trait, vu du côté de la face inférieure et de grandeur naturelle.
 Fig. 9 *Melampus olivaceus*, Carpenter, vu de face.
 Fig. 9 a. Le même, vu de dos.
 Fig. 10 *Melampus coffea*, Linné, vu de face.
 Fig. 10 a. Le même, vu de dos et coupé, pour faire voir la résorption des tours de spire.
 Fig. 11 *Pedipes unisulcatus*, Cooper, vu de face (*ex typo*).
 Fig. 11 a. Le même, plus jeune, vu de dos.
 Fig. 11 b. Le même, jeune, vu de face.
 Fig. 12 *Pedipes Afer*, Gmelin, grossi, vu de dos et coupé, pour faire voir la non-résorption des tours de spire.
 Fig. 12 a. Le même, dessiné au trait, vu de dos et de grandeur naturelle.
 Fig. 13 *Pedipes mirabilis*, Mühlfeldt, grossi, vu de dos et coupé, pour faire voir la non-résorption des tours de spire.
 Fig. 13 a. Le même, dessiné au trait, vu de dos et de grandeur naturelle.
 Fig. 14 *Blautneria heterochlita*, Montagu, vu de face et grossi.
 Fig. 14 a. Le même, grossi, vu de dos et ouvert, pour faire voir la résorption des tours de spire.
 Fig. 14 b. Le même, dessiné au trait, vu de face et de grandeur naturelle.
 Fig. 15 Sommet de *Melampus flavus*, fortement grossi et montrant la disposition des tours apicaux.

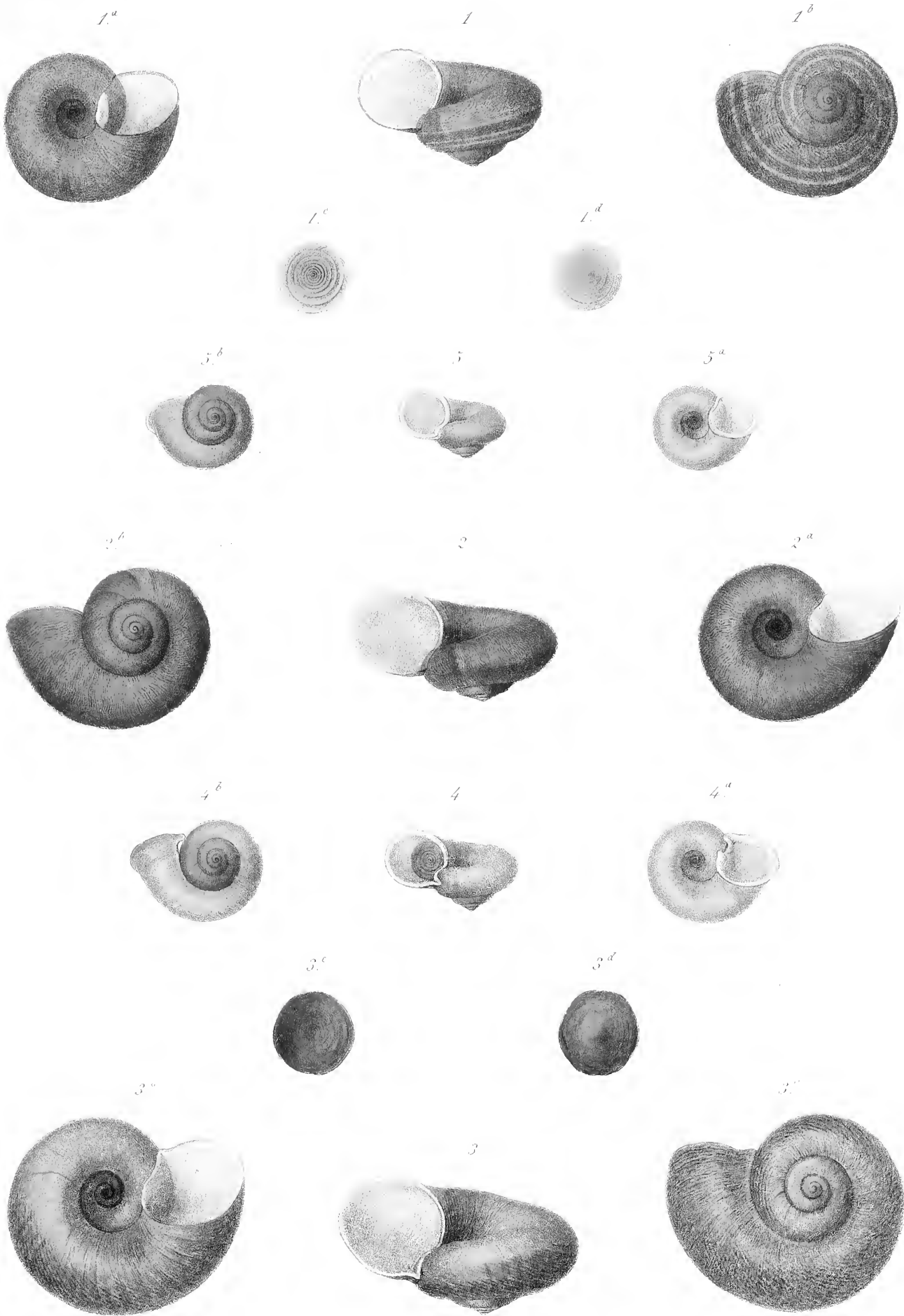


Arnoul del

Planorbis, Planorbula, Pedipes, Blauneria, Melampus

PLANCHE XXXV.

- Fig. 1 *Amphicyclotus Boucardi*, Sallé, vu de face.
Fig. 1 a Le même, vu du côté de l'ombilic.
Fig. 1 b Le même, vu du côté de la spire.
Fig. 1 c Face externe de l'opercule du même.
Fig. 1 d Face interne de l'opercule du même.
Fig. 2 *Amphicyclotus texturatus*, Sowerby, vu de face.
Fig. 2 a Le même, vu du côté de l'ombilic.
Fig. 2 b Le même, vu du côté de la spire.
Fig. 3 *Amphicyclotus ponderosus*, Pfeiffer, vu de face.
Fig. 3 a Le même, vu du côté de l'ombilic.
Fig. 3 b Le même, vu du côté de la spire.
Fig. 3 c Face externe de l'opercule du même.
Fig. 3 d Face interne de l'opercule du même.
Fig. 4 *Habropoma Salleanum*, Martens, vu de face.
Fig. 4 a Le même, vu du côté de l'ombilic.
Fig. 4 b Le même, vu du côté de la spire.
Fig. 5 *Habropoma (Cyrtotoma) Mexicanum*, Menke, vu de face.
Fig. 5 a Le même, vu du côté de l'ombilic.
Fig. 5 b Le même, vu du côté de la spire.



Arnaut del. et lith

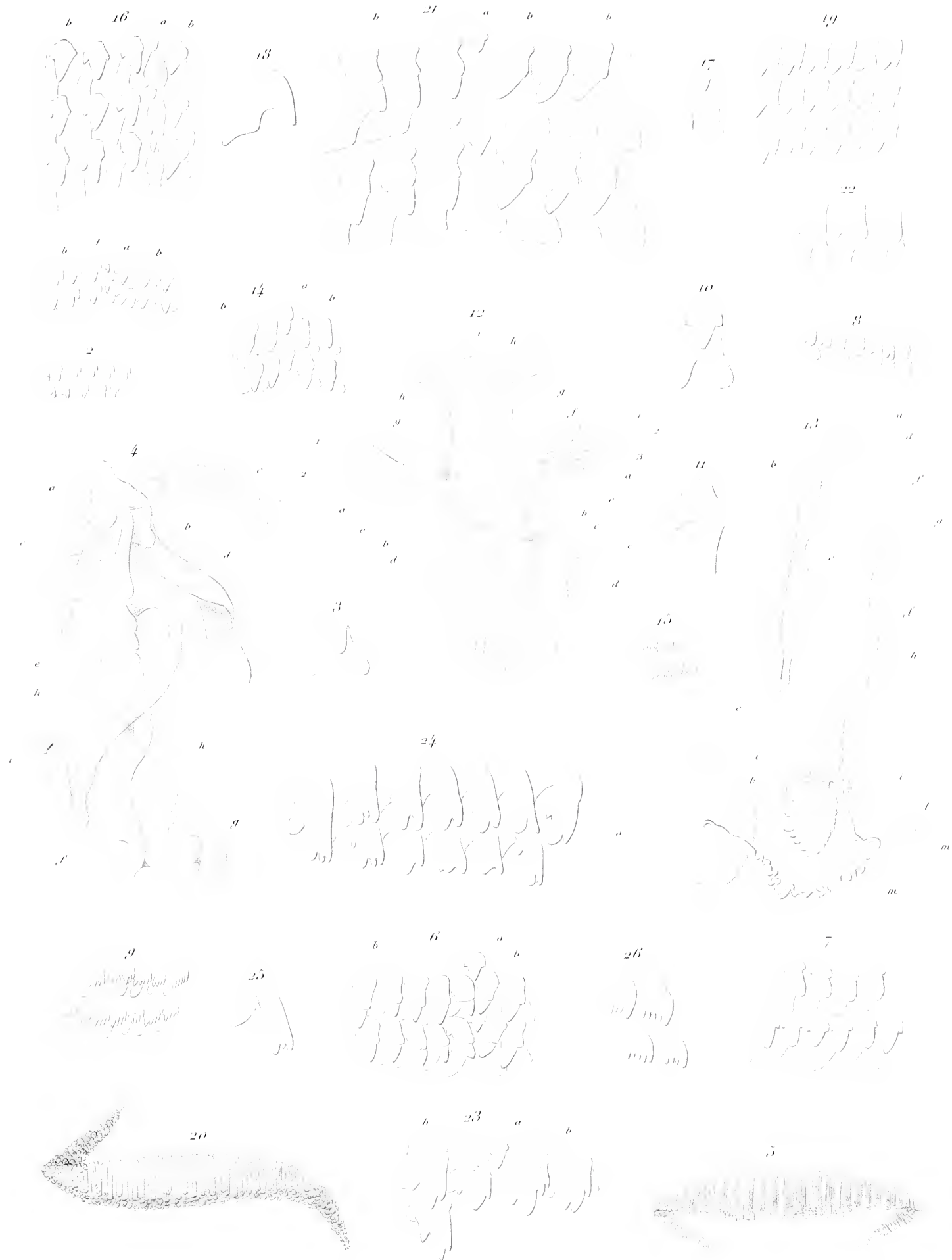
Imp. Bachelier à Paris

Amphiliclotus Hubropoma

MOLLUSQUES.

PLANCHE XXXVI.

- Fig. 1 Plaque linguale de *Blauneria heteroclita* : *a*, dent centrale; *b*, dents latérales.
- Fig. 2 Dents marginales du même.
- Fig. 3 Dent centrale du même, très-grossie.
- Fig. 4 Système digestif de *Melampus luteus* : *a*, poche linguale; *b*, canal excréteur des glandes salivaires; *c*, glandes salivaires; *d*, muscle rétracteur de la poche linguale; *e*, œsophage; *f*, estomac; *g*, renflement duodénal; *h*, intestin; *i*, rectum.
- Fig. 5 Mâchoire du même.
- Fig. 6 Plaque linguale du même : *a*, dent centrale; *b*, dents latérales.
- Fig. 7 Dents latérales du même (côté gauche).
- Fig. 8 Dents marginales du même (côté droit).
- Fig. 9 Dernières dents marginales du même (côté gauche).
- Fig. 10 Dent centrale du même, très-grossie.
- Fig. 11 Une dent latérale du même, très-grossie et vue de côté.
- Fig. 12 Système nerveux du même : *a*, ganglions sus-œsophagiens; *b*, ganglions sous-œsophagiens antérieurs ou pédiens; *c*, ganglions sous-œsophagiens moyens; *d*, ganglions sous-œsophagiens postérieurs; *e*, commissures des ganglions sus-œsophagiens et sous-œsophagiens; *f*, commissure des ganglions sus-œsophagiens; *g*, commissures des ganglions sus-œsophagiens et stomato-gastriques; *h*, ganglions stomato-gastriques; *i*, commissure transverse des ganglions stomato-gastriques.
1, nerf tentaculaire; 2, grand nerf labial; 3, nerf pénien.
- Fig. 13 Système reproducteur de *Melampus*. Figure schématique d'après Souleyet (*Melampus fuscus*) et nos observations (*Melampus luteus*) : *a*, orifice de la verge; *b*, verge; *c*, portion antérieure libre du canal déférent; *d*, point où le canal déférent fait suite à la rainure déférente; *e*, muscle rétracteur de la verge; *f*, trajet hypothétique de la rainure déférente et de la portion postérieure du canal déférent; *g*, orifice génital femelle; *h*, vagin; *i*, vésicules muqueuses; *k*, poche copulatrice; *l*, glande albumipare et matrice; *m*, *n*, canal excréteur de la glande en grappe; *o*, glande en grappe.
- Fig. 14 Plaque linguale du *Melampus olivaceus* : *a*, dent centrale; *b*, dents latérales.
- Fig. 15 Dents marginales du même.
- Fig. 16 Plaque linguale de *Scarabus chalcostomus* : *a*, dent centrale; *b*, dents latérales.
- Fig. 17 Dent centrale du même, très-grossie.
- Fig. 18 Une dent latérale du même, très-grossie et vue de côté.
- Fig. 19 Dents marginales du même.
- Fig. 20 Mâchoire de *Monica Firmini*.
- Fig. 21 Plaque linguale du même : *a*, dent centrale; *b*, dents latérales.
- Fig. 22 Dents marginales du même.
- Fig. 23 Plaque linguale de *Limnæa auricularia* : *a*, dent centrale; *b*, dents latérales.
- Fig. 24 Dents latérales du même, passant aux dents marginales.
- Fig. 25 Une dent marginale du même.
- Fig. 26 Dents marginales extrêmes du même.



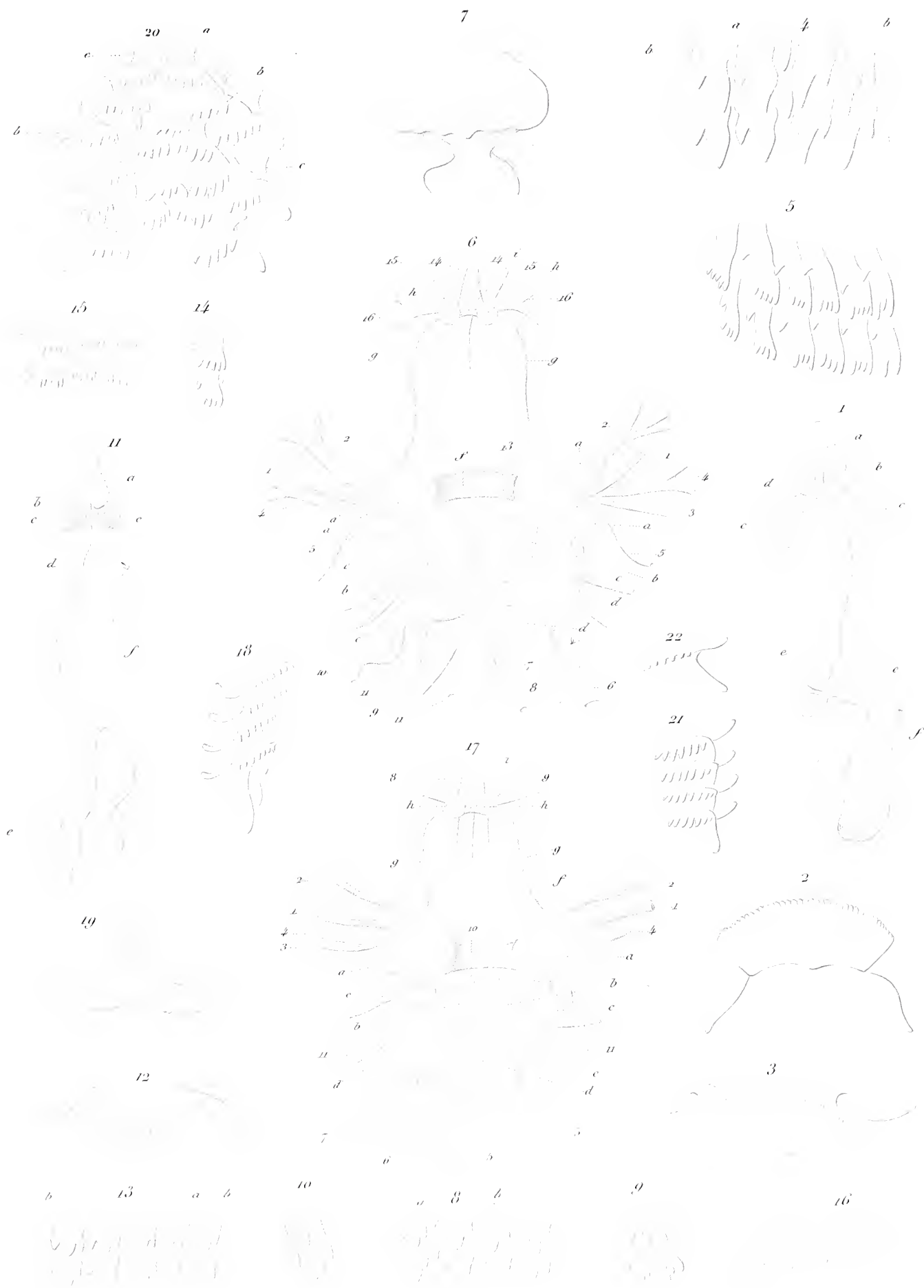
P. Fischer del.

Lagasse sc.

MOLLUSQUES.

PLANCHE XXXVII.

- Fig. 1. Tube digestif de *Limnæa stagnalis* : *a*, poche linguale; *b*, canaux excréteurs des glandes salivaires; *c*, glandes salivaires; *d*, œsophage; *e*, poche stomacale et gésier; *f*, intestin.
- Fig. 2. Mâchoires du même. Les mâchoires verticales sont un peu écartées.
- Fig. 3. Mâchoires du même. Les mâchoires verticales sont redressées.
- Fig. 4. Plaque linguale du même; *a*, dent centrale; *b*, dents latérales.
- Fig. 5. Dents marginales du même; côté gauche.
- Fig. 6. Système nerveux du même : *a*, ganglions sus-œsophagiens; *b*, ganglions sous-œsophagiens antérieurs ou pédieux; *c*, ganglions sous-œsophagiens moyens; *d*, ganglions sous-œsophagiens postérieurs; *f*, commissures des ganglions sus-œsophagiens; *g*, commissures des ganglions sus-œsophagiens et stomato-gastriques; *h*, ganglions stomato-gastriques; *i*, commissure transverse des ganglions stomato-gastriques.
1, nerfs optique et tentaculaire; 2, nerfs fronto-labiaux; 3, nerf pénien; 4, nerfs labiaux inférieurs; 5, nerfs cervicaux; 6, nerf palléal droit; 7, nerf satellite de l'aorte; 8, 9, nerfs palléaux et des glandes génitales; 10, nerf palléal latéral gauche; 11, nerfs pédieux postérieurs; 13, nerfs pédieux antérieurs; 14, nerfs œsophagiens; 15, nerfs satellites des conduits excréteurs des glandes salivaires; 16, nerfs de la poche linguale.
- Fig. 7. Mâchoire de *Limnæa palustris*.
- Fig. 8. Plaque linguale du même : *a*, dent centrale; *b*, dents latérales.
- Fig. 9. Dents marginales du même : côté gauche.
- Fig. 10. Dernières dents marginales du même : côté gauche.
- Fig. 11. Tube digestif de *Planorbis corneus* : *a*, poche linguale; *b*, canaux excréteurs des glandes salivaires; *c*, glandes salivaires; *d*, œsophage; *e*, estomac; *f*, intestin.
- Fig. 12. Mâchoires du même.
- Fig. 13. Plaque linguale du même : *a*, dent centrale; *b*, dents latérales.
- Fig. 14. Premières dents marginales du même : côté gauche.
- Fig. 15. Dents marginales du même plus rapprochées du bord externe de la plaque linguale : côté gauche.
- Fig. 16. Dents marginales extrêmes du même : côté droit.
- Fig. 17. Système nerveux du même : *a*, ganglions sus-œsophagiens; *b*, ganglions sous-œsophagiens antérieurs ou pédieux; *c*, ganglions sous-œsophagiens moyens; *d*, ganglions sous-œsophagiens postérieurs; *f*, commissure des ganglions sus-œsophagiens; *g*, commissures des ganglions sus-œsophagiens et stomato-gastriques; *h*, ganglions stomato-gastriques; *i*, commissure transverse des ganglions stomato-gastriques.
1, nerfs optique et tentaculaire; 2, nerfs fronto-labiaux inférieurs; 3, nerf pénien; 4, nerfs labiaux inférieurs; 5, nerfs distribués au plan locomoteur et partant des ganglions pédieux; 6, 7, nerfs des glandes génitales et de l'orifice pulmonaire; 8, nerfs œsophagiens; 9, nerfs satellites des conduits excréteurs des glandes salivaires; 10, nerfs pédieux antérieurs; 11, nerfs pédieux latéraux.
- Fig. 18. Quatre dents en série de la plaque linguale de l'*Aplecta hypnorum*.
- Fig. 19. Mâchoire de *Physa acuta*.
- Fig. 20. Portion de plaque linguale du même : *a*, dent centrale; *b*, dents latérales; *c*, apophyse accessoire des dents latérales.
- Fig. 21. Quatre dents en série de la plaque linguale du *Physa squalida*.
- Fig. 22. Une dent isolée du même et dont la base est portée un peu en avant et le bord renversé en arrière pour montrer la continuité de l'apophyse accessoire.



P. Fischer del.

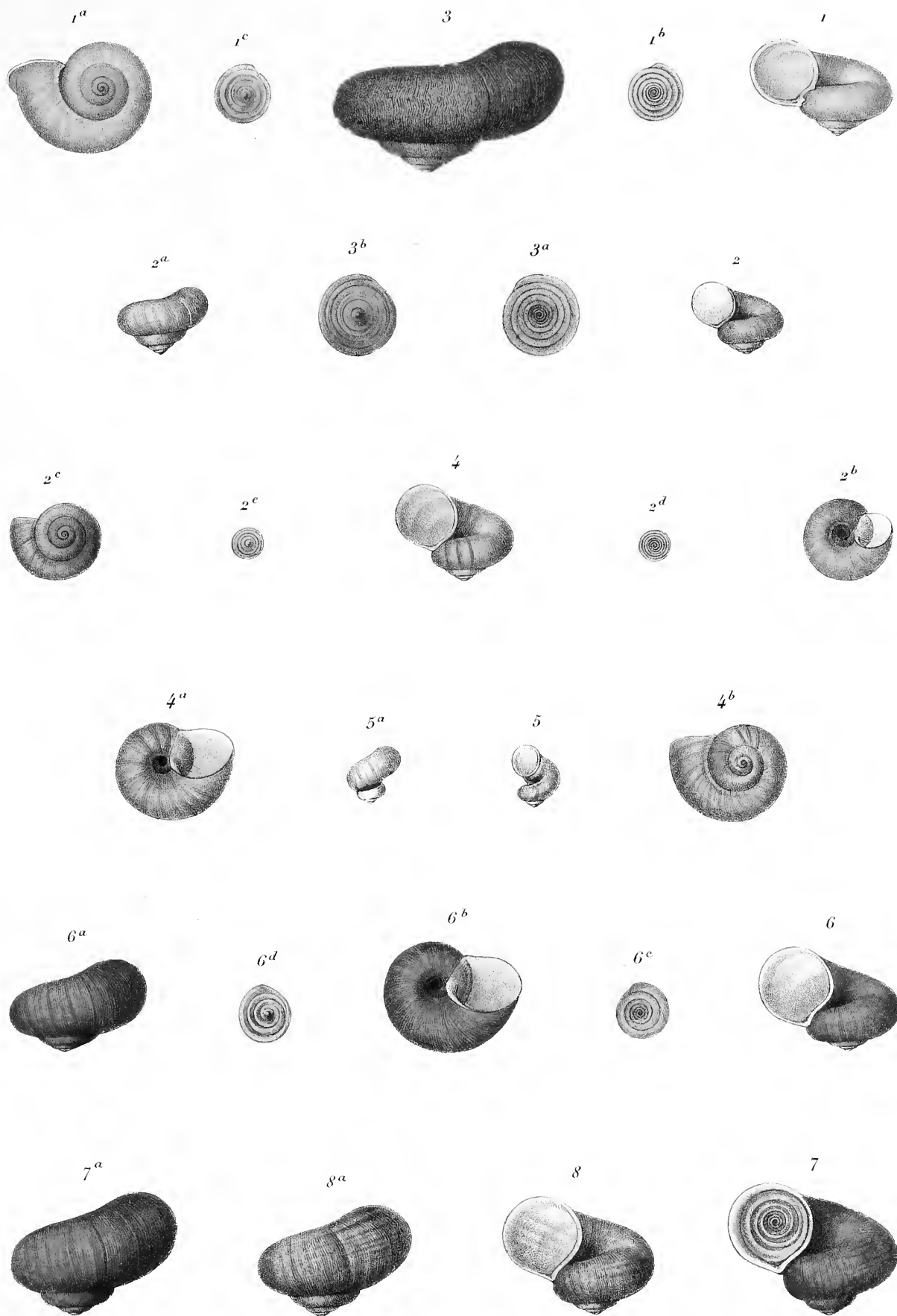
Lagrange sculp.

MOLLUSQUES.

PLANCHE XXXVIII.

- Fig. 1 *Habropoma Salleanum*, Martens, vu de face.
 Fig. 1 a Le même, vu du côté de la spire.
 Fig. 1 b Face externe de l'opercule du même.
 Fig. 1 c Face interne de l'opercule du même.
 Fig. 2 *Habropoma lutescens*, Pfeiffer, vu de face.
 Fig. 2 a Le même, vu de dos.
 Fig. 2 b Le même, vu du côté de l'ombilic.
 Fig. 2 c Le même, vu du côté de la spire.
 Fig. 2 d Face externe de l'opercule du même.
 Fig. 2 e Face interne de l'opercule du même.
 Fig. 3 *Amphicyclotus texturatus*, Sowerby, vu de dos.
 Fig. 3 a Face externe de l'opercule du même.
 Fig. 3 b Face interne de l'opercule du même.
 Fig. 4 *Neocyclotus Berendti*, Pfeiffer, vu de face.
 Fig. 4 a Le même, vu du côté de l'ombilic.
 Fig. 4 b Le même, vu du côté de la spire.
 Fig. 5 *Neocyclotus Berendti*, Pfeiffer, *monstr. scalaris*, vu de face.
 Fig. 5 a Le même, vu de dos.
 Fig. 6 *Neocyclotus Dysoni*, Pfeiffer, var. β , vu de face.
 Fig. 6 a Le même, vu de dos.
 Fig. 6 b Le même, vu du côté de l'ombilic.
 Fig. 6 c Face externe de l'opercule du même.
 Fig. 6 d Face interne de l'opercule du même.
 Fig. 7 *Neocyclotus Dysoni*, Pfeiffer, var. γ , vu de face.
 Fig. 7 a Le même, vu de dos.
 Fig. 8 *Neocyclotus Dysoni*, Pfeiffer, var. δ , vu de face.
 Fig. 8 a Le même, vu de dos.

NOTA. Dans la mention des genres du bas de la planche, au lieu de *Cyclotus*, lisez *Neocyclotus*.



Arnoul del. et lith.

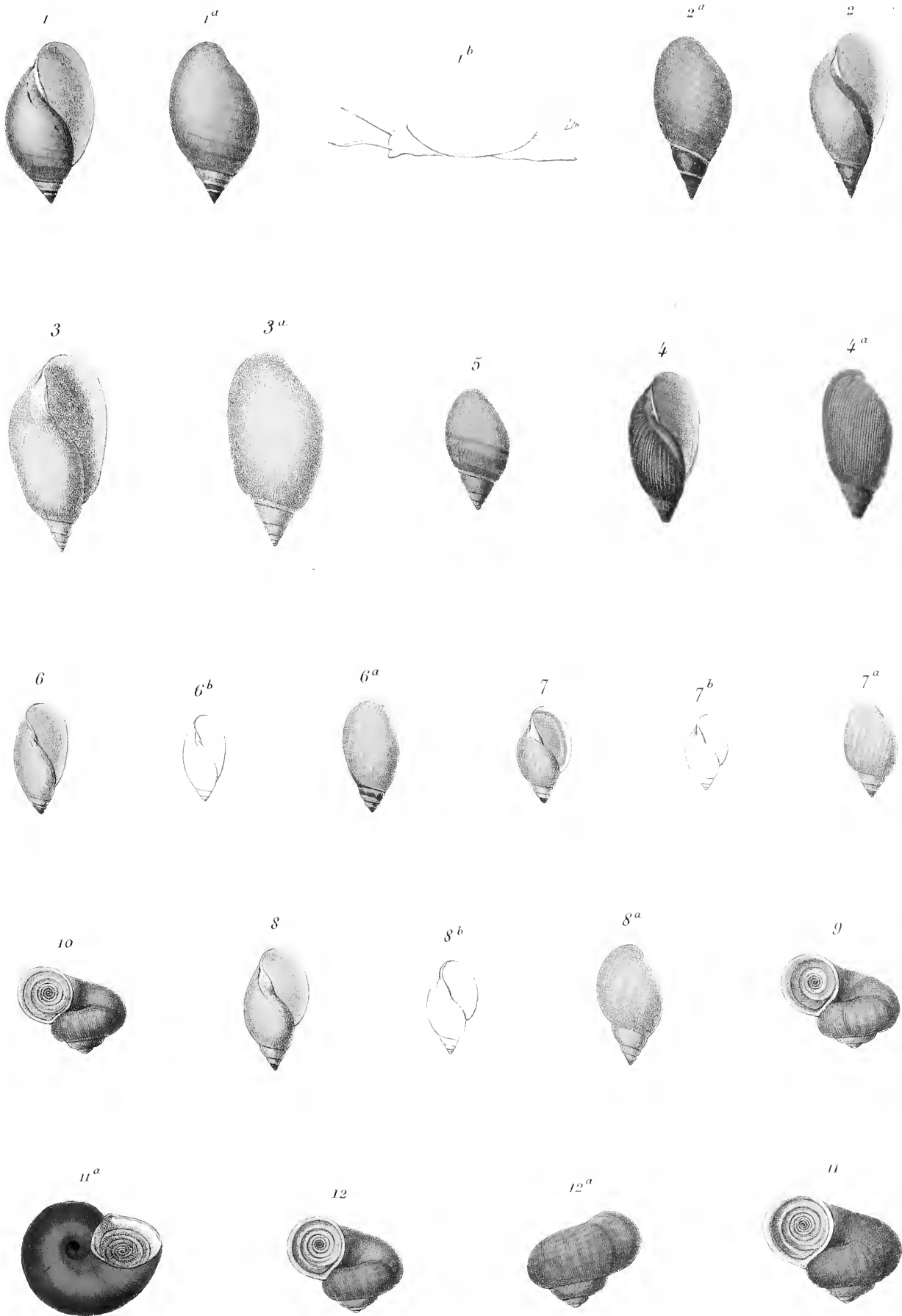
Habropoma, Amphicyclotus, Cyclotus.

MOLLUSQUES.

PLANCHE XXXIX.

- Fig. 1 *Aplceta nitens*, Philippi, vu de face.
 Fig. 1 a Le même, vu de dos.
 Fig. 1 b Le même, avec l'animal vu de côté et dessiné au trait.
 Fig. 2 *Aplceta nitens*, Philippi, var. *acutalis*, vu de face.
 Fig. 2 a Le même, vu de dos.
 Fig. 3 *Aplceta nitens*, Philippi, var. *gigantea*, vu de face.
 Fig. 3 a Le même, vu de dos.
 Fig. 4 *Aplceta aurantia*, Carpenter, var. *gracilenta*, vu de face.
 Fig. 4 a Le même, vu de dos.
 Fig. 5 *Aplceta impluviata*, Morelet, vu de dos.
 Fig. 6 *Aplceta bullula*, Crosse et Fischer, vu de face et grossi.
 Fig. 6 a Le même, vu de dos et grossi.
 Fig. 6 b Le même, vu de face, dessiné au trait et de grandeur naturelle.
 Fig. 7 *Physa Berendti*, Dunker, var. *intermedia*, vu de face et grossi.
 Fig. 7 a Le même, vu de dos et grossi.
 Fig. 7 b Le même, vu de face, dessiné au trait et de grandeur naturelle.
 Fig. 8 *Physa Mexicana*, Philippi, var. *conoidea*, vu de face et grossi.
 Fig. 8 a Le même, vu de dos et grossi.
 Fig. 8 b Le même, vu de face, dessiné au trait et de grandeur naturelle.
 Fig. 9 *Neocyclotus Dysoni*, Pfeiffer, vu de face. (Istapa, État d'Oaxaca.)
 Fig. 10 *Neocyclotus Dysoni*, Pfeiffer, vu de face. (Panistlahuaca, État d'Oaxaca.)
 Fig. 11 *Neocyclotus Dysoni*, Pfeiffer, vu de face, avec son opercule en place. (Haute Vera-Paz.)
 Fig. 11 a Le même, vu du côté de l'ombilic.
 Fig. 12 *Neocyclotus Dysoni*, Pfeiffer, vu de face. (Rio Grande.)
 Fig. 12 a Le même, vu de dos.

NOTA. Dans la mention des genres du bas de la planche, au lieu de *Cyclotus*, lisez *Neocyclotus*.



Arnoul del et lith

Aplecta, Physa, Cyclotus.

PLANCHE XL.

- Fig. 1 *Tomocyclus Gealei*, Crosse et Fischer, vu de face. Forme typique.
Fig. 1 a Le même, vu de dos.
Fig. 1 b Péristome du même, grossi et dessiné au trait.
Fig. 1 c Face externe de l'opercule du même.
Fig. 1 d Face interne de l'opercule du même.
Fig. 2 *Tomocyclus Gealei*, Crosse et Fischer, var. β , vu de face.
Fig. 2 a Le même, vu de dos.
Fig. 3 *Tomocyclus Gealei*, Crosse et Fischer, var. γ , vu de face.
Fig. 3 a Le même, vu de dos.
Fig. 4 *Tomocyclus simulacrum*, Morelet, var. β , vu de face, avec l'opercule en place.
Fig. 4 a Le même, vu de dos.
Fig. 4 b Le même, vu du côté de la spire, montrant le débouché de la perforation de l'axe columellaire.
Fig. 4 c Péristome du même, grossi et dessiné au trait.
Fig. 4 d Face externe de l'opercule du même.
Fig. 4 e Face interne de l'opercule du même.
Fig. 5 Le même, coupé dans sa longueur et dessiné au trait, de manière à montrer la structure de l'axe columellaire.
Fig. 6 *Tomocyclus simulacrum*, Morelet, var. δ , vu de face, sans l'opercule.
Fig. 6 a Le même, vu de dos.
Fig. 7 *Tomocyclus simulacrum*, Morelet, var. γ , vu de face, sans l'opercule.
Fig. 7 a Le même, vu de dos.
Fig. 8 *Tomocyclus simulacrum*, Morelet, var. β , vu de face, avec l'opercule légèrement enfoncé à l'intérieur.
Fig. 8 a Le même, vu de dos.
Fig. 9 *Tomocyclus simulacrum*, Morelet, vu de face, sans l'opercule. Spécimen fortement tronqué de l'espèce typique.
Fig. 9 a Le même, vu de dos.
Fig. 10 *Tomocyclus simulacrum*, Morelet, var. β , vu de face, sans l'opercule.
Fig. 10 a Le même, vu de dos.
Fig. 11 *Tomocyclus Guatemalensis*, Pfeiffer, vu de face, avec l'opercule en place.
Fig. 11 a Le même, vu de dos.



Arnoul del. et lith.

Tomocyclus.

MOLLUSQUES.

PLANCHE XLI.

- Fig. 1 *Neocyclotus Dysoni*, Pfeiffer, individu mâle, vu de face et dessiné au trait.
 Fig. 1 a Le même, vu de dos et dessiné au trait.
 Fig. 2 *Neocyclotus Dysoni*, Pfeiffer, individu femelle, vu de face et dessiné au trait.
 Fig. 2 a Le même, vu de dos et dessiné au trait.
 Fig. 3 *Amphicyclotus Maleci*, Crosse et Fischer, vu de face, avec son opercule en place.
 Fig. 3 a Le même, vu de dos.
 Fig. 3 b Le même, vu du côté de l'ombilic.
 Fig. 3 c Le même, vu du côté de la spire.
 Fig. 4 *Chondropoma acerbulum*, Morelet, vu de face, avec son opercule en place et grossi.
 Fig. 4 a Le même, vu de dos et grossi.
 Fig. 4 b Le même, vu de face, dessiné au trait et de grandeur naturelle.
 Fig. 4 c *Chondropoma acerbulum*, Morelet, var. β , vu de face et grossi.
 Fig. 4 d Le même, vu de face, dessiné au trait et de grandeur naturelle.
 Fig. 5 *Chondropoma rubicundum*, Morelet, vu de face, avec son opercule en place.
 Fig. 5 a *Chondropoma rubicundum*, Morelet, var. β , vu de face, avec son opercule en place.
 Fig. 5 b *Chondropoma rubicundum*, Morelet, var. γ , vu de face.
 Fig. 5 c Le même, vu de dos.
 Fig. 5 d *Chondropoma rubicundum*, Morelet, var. δ , vu de face.
 Fig. 5 e Le même, vu de dos.
 Fig. 5 f Opercule du *Chondropoma rubicundum*, Morelet, vu du côté interne et grossi.
 Fig. 5 g Le même, vu du côté externe et grossi.
 Fig. 5 h Le même, vu du côté externe, dessiné au trait et de grandeur naturelle.
 Fig. 6 *Chondropoma Cordovanum*, Pfeiffer, vu de face, avec son opercule en place, et grossi.
 Fig. 6 a Le même, vu de dos et grossi.
 Fig. 6 b Le même, vu de face, dessiné au trait et de grandeur naturelle.
 Fig. 6 c *Chondropoma Cordovanum*, Pfeiffer, var. β , vu de face et grossi.
 Fig. 6 d Le même, vu de dos et grossi.
 Fig. 6 e Le même, vu de face, dessiné au trait et de grandeur naturelle.
 Fig. 6 f *Chondropoma Cordovanum*, Pfeiffer, var. γ , vu de face et grossi.
 Fig. 6 g Le même, vu de dos et grossi.
 Fig. 6 h Le même, vu de face, dessiné au trait et de grandeur naturelle.
 Fig. 7 *Chondropoma vespertinum*, Morelet, vu de face.
 Fig. 7 a Même espèce, plus fortement tronquée, vue de face, avec son opercule en place.
 Fig. 8 *Choanopoma Chiapasense*, Crosse et Fischer, vu de face, avec son opercule en place.
 Fig. 8 a Le même, vu de dos.
 Fig. 8 b *Choanopoma Chiapasense*, Crosse et Fischer, var. β , vu de face.
 Fig. 8 c *Choanopoma Chiapasense*, Crosse et Fischer, var. γ , vu de face.
 Fig. 8 d Le même, vu de dos.
 Fig. 9 *Choanopoma Sumichrasti*, Crosse et Fischer, vu de face, avec son opercule en place.
 Fig. 9 a Le même, vu de dos.

NOTA. Dans la mention des genres du bas de la planche, au lieu de *Cyclotus*, lisez *Neocyclotus*.



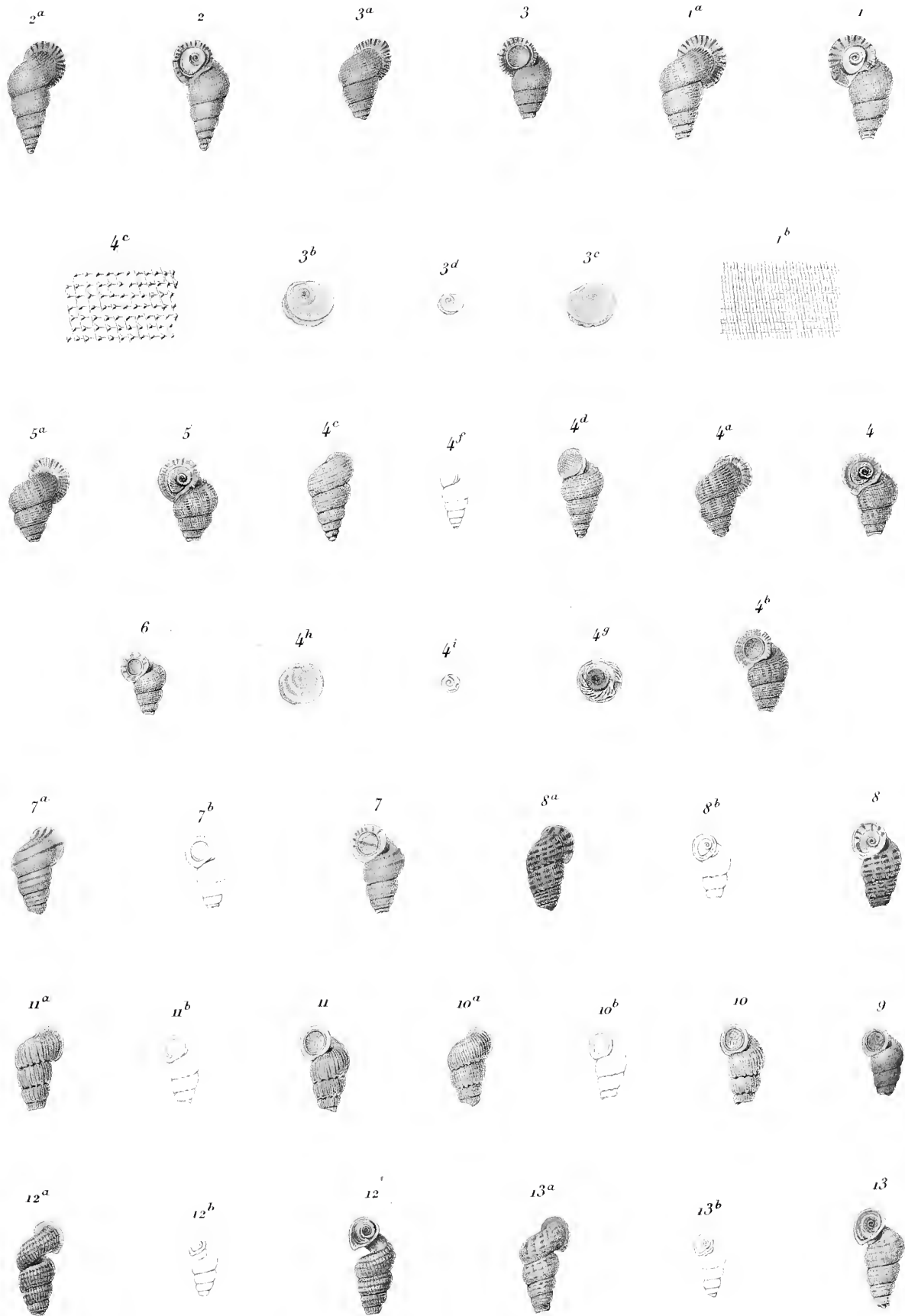
Arnoul del. et lith

Cyclotus, Amphicyclotus, Chondropoma, Choanopoma

MOLLUSQUES.

PLANCHE XLII.

- Fig. 1 *Cistula radiosa*, Morelet, vu de face, avec son opercule en place.
 Fig. 1 a Le même, vu de dos.
 Fig. 1 b Portion du test du *Cistula radiosa*, Morelet, dessinée au trait et fortement grossie.
 Fig. 2 *Cistula radiosa*, Morelet, var. β , vu de face, avec son opercule en place.
 Fig. 2 a Le même, vu de dos.
 Fig. 3 *Cistula radiosa*, Morelet, var. γ , vu de face.
 Fig. 3 a Le même, vu de dos.
 Fig. 3 b Opercule du *Cistula radiosa*, Morelet, vu du côté externe et grossi.
 Fig. 3 c Le même, vu du côté interne et grossi.
 Fig. 3 d Le même, vu du côté externe, dessiné au trait et de grandeur naturelle.
 Fig. 4 *Cistula Sargi*, Crosse et Fischer, vu de face, avec son opercule en place.
 Fig. 4 a Le même, vu de dos.
 Fig. 4 b *Cistula Sargi*, Crosse et Fischer, vu de face, sans son opercule.
 Fig. 4 c Portion du test du *Cistula Sargi*, Crosse et Fischer, dessinée au trait et fortement grossie.
 Fig. 4 d *Cistula Sargi*, Crosse et Fischer, à l'état jeune, avant la troncature de la spire, vu de face et grossi.
 Fig. 4 e Le même, vu de dos et grossi.
 Fig. 4 f Le même, vu de face, dessiné au trait et de grandeur naturelle.
 Fig. 4 g Opercule du *Cistula Sargi*, Crosse et Fischer, vu du côté externe et grossi.
 Fig. 4 h Le même, vu du côté interne et grossi.
 Fig. 4 i Le même, vu du côté externe, dessiné au trait et de grandeur naturelle.
 Fig. 5 *Cistula Sargi*, Crosse et Fischer, var. β , vu de face, avec son opercule en place.
 Fig. 5 a Le même, vu de dos.
 Fig. 6 *Cistula Sargi*, Crosse et Fischer, var. γ , vu de face.
 Fig. 7 *Cistula Kusteri*, Pfeiffer, vu de face et grossi.
 Fig. 7 a Le même, vu de dos et grossi.
 Fig. 7 b Le même, vu de face, dessiné au trait et de grandeur naturelle.
 Fig. 8 *Cistula Grateloupi*, Pfeiffer, vu de face, avec son opercule en place, et grossi.
 Fig. 8 a Le même, vu de dos et grossi.
 Fig. 8 b Le même, vu de face, dessiné au trait et de grandeur naturelle.
 Fig. 9 *Cistula Grateloupi*, Pfeiffer, var. β , vu de face.
 Fig. 10 *Cistula Largillierti*, Pfeiffer, vu de face et grossi.
 Fig. 10 a Le même, vu de dos et grossi.
 Fig. 10 b Le même, vu de face, dessiné au trait et de grandeur naturelle.
 Fig. 11 *Cistula Largillierti*, Pfeiffer, var. β , vu de face et grossi.
 Fig. 11 a Le même, vu de dos et grossi.
 Fig. 11 b Le même, vu de face, dessiné au trait et de grandeur naturelle.
 Fig. 12 *Adamsiella rigidula*, Morelet, vu de face, avec son opercule en place, et grossi.
 Fig. 12 a Le même, vu de dos et grossi.
 Fig. 12 b Le même, vu de face, dessiné au trait et de grandeur naturelle.
 Fig. 13 *Adamsiella Osberti*, Tristram, vu de face, avec son opercule en place, et grossi.
 Fig. 13 a Le même, vu de dos et grossi.
 Fig. 13 b Le même, vu de face, dessiné au trait et de grandeur naturelle.



Arnoul del et lith

Imprimerie Nationale

Cistula, Adamsiella.

MOLLUSQUES.

PLANCHE XLIII.

- Fig. 1 Dents linguales d'*Aplecta cisternina*.
- Fig. 2 Animal de *Tomocyclus simulacrum*, extrait de sa coquille; individu mâle, vu de côté :
a, pied; *b*, opercule; *c*, mufle; *d*, tentacule; *e*, verge; *m*, manteau; *t*, tortillon.
- Fig. 3 Animal de *Tomocyclus simulacrum*, extrait de sa coquille; individu femelle, vu de dos :
a, pied; *b*, opercule; *c*, mufle; *d*, tentacule; *m*, manteau; *t*, tortillon.
- Fig. 4 Verge de *Tomocyclus simulacrum* : *v*, base de la verge; *a*, son appendice terminal.
- Fig. 5 Mâchoires du même.
- Fig. 6 Éléments rectangulaires des mâchoires du même, vus à un plus fort grossissement.
- Fig. 7 Radule du même : *a*, dent centrale; *b*, dent latérale; *c*, dent marginale interne;
d, dent marginale externe.
- Fig. 8 Animal de *Neocyclotus Dysoni*, extrait de sa coquille; individu mâle, vu de dos :
a, pied; *b*, opercule; *c*, mufle; *d*, tentacule; *m*, manteau; *t*, tortillon; *v*, verge
défléchie.
- Fig. 9 Animal de *Neocyclotus Dysoni*, extrait de sa coquille; individu femelle, vu de dos :
a, pied; *b*, opercule; *c*, mufle; *d*, tentacule; *m*, manteau; *t*, tortillon.
- Fig. 10 Verge de *Neocyclotus Dysoni*, conservant sa coudure normale à l'état de rétraction de
l'animal dans la coquille : *v*, base de la verge; *b*, partie antérieure; *c*, renflement
antérieur; *a*, appendice terminal.
- Fig. 11 Mâchoires du même.
- Fig. 12 Éléments des mâchoires du même, vus à un plus fort grossissement.
- Fig. 13 Radule du même : *a*, dent centrale; *b*, dent latérale; *c*, dent marginale interne;
d, dent marginale externe.

NOTA. Toutes ces figures sont très-grossies.



P. Fischer del.

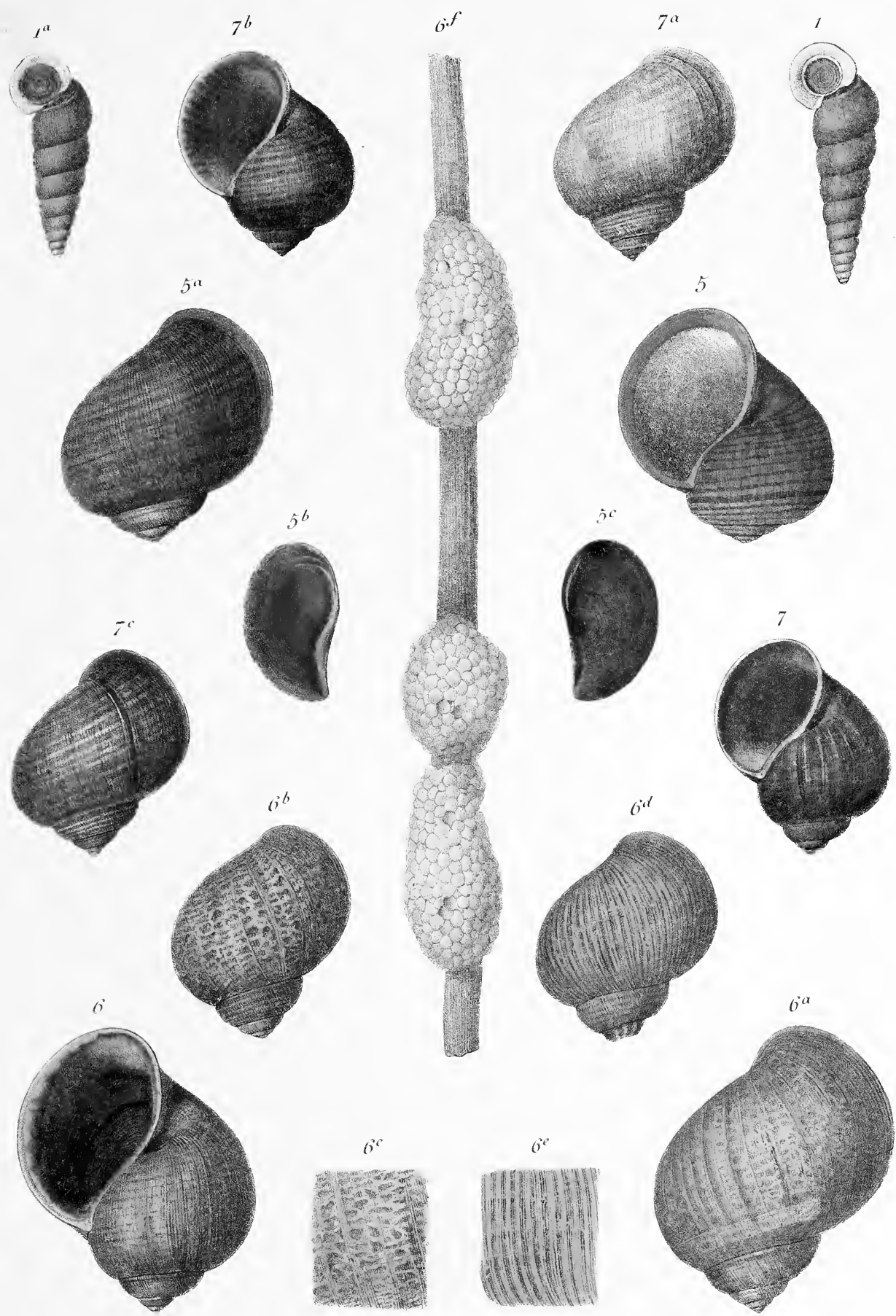
Lebrun sc.

Anatomie des *Aplecta*, *Tomocyclus* et *Neocyclotus*.

MOLLUSQUES.

PLANCHE XLIV.

- Fig. 1 *Tomocyclus simulacrum*, Morelet, vu de face, l'opercule en place. Individu ayant conservé accidentellement tous ses tours de spire.
- Fig. 1 a Autre exemplaire du même, et dans les mêmes conditions.
- Fig. 5 *Ampullaria lemniscata*, Crosse et Fischer, vu de face.
- Fig. 5 a Le même, vu de dos.
- Fig. 5 b Opercule du même, vu par sa face externe.
- Fig. 5 c Opercule du même, vu par sa face interne.
- Fig. 6 *Ampullaria malleata*, Jonas, variété δ . Individu de taille moyenne, vu de face.
- Fig. 6 a Le même, vu de dos.
- Fig. 6 b *Ampullaria malleata*, Jonas, variété δ . Individu non adulte, vu de dos.
- Fig. 6 c Une portion du test très-grossie, du même.
- Fig. 6 d *Ampullaria malleata*, Jonas, variété ϵ . Individu non adulte, vu de dos.
- Fig. 6 e Une portion de test très-grossie, du même.
- Fig. 6 f Groupes d'œufs d'*Ampullaria malleata*, Jonas.
- Fig. 7 *Ampullaria imexa*, Crosse et Fischer, vu de face.
- Fig. 7 a Le même, vu de dos.
- Fig. 7 b *Ampullaria imexa*, Crosse et Fischer. Autre individu, vu de face.
- Fig. 7 c Le même, vu de dos.



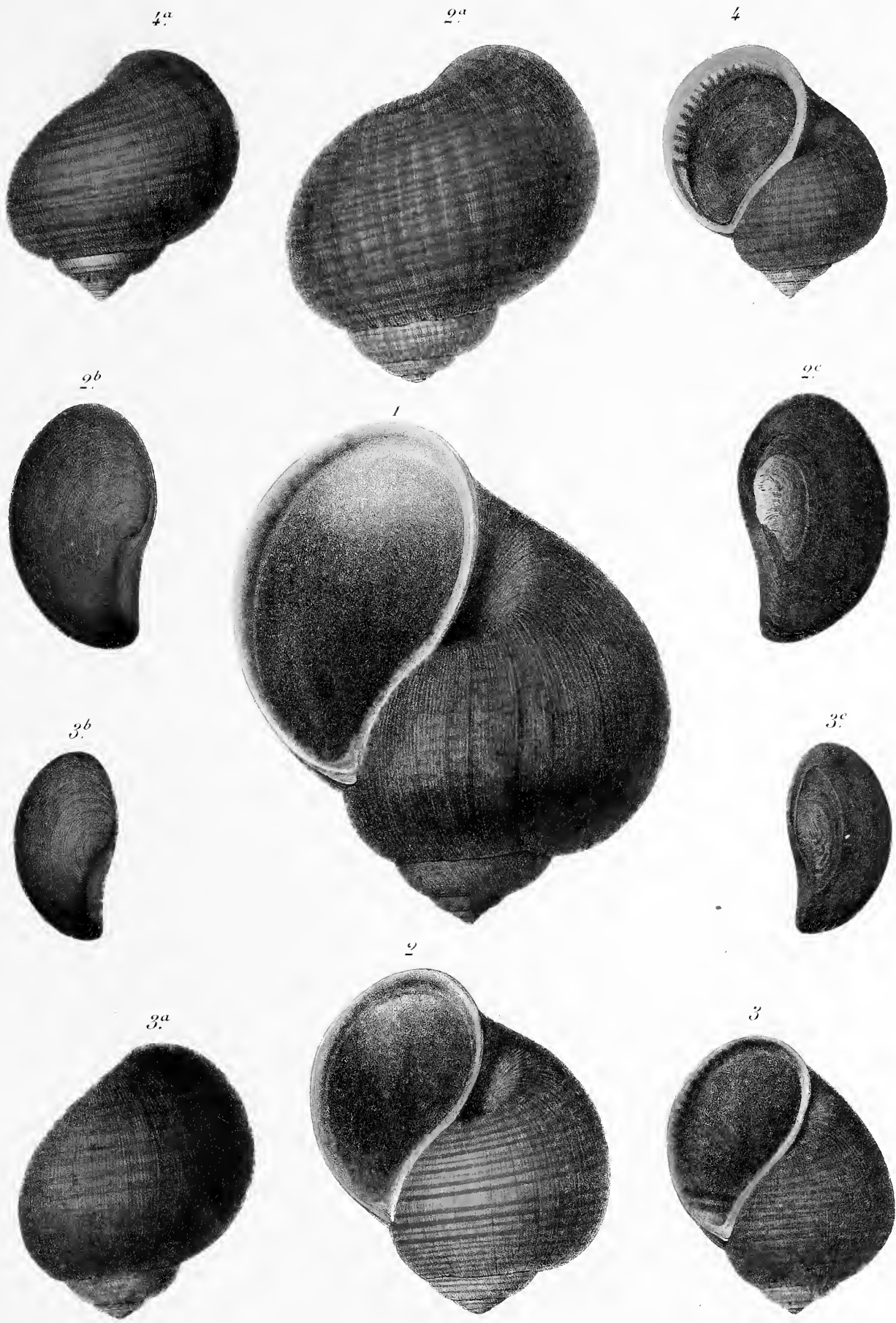
Arnoul del. et lith.

Tomocyclus, Ampullaria.

MOLLUSQUES.

PLANCHE XLV.

- Fig. 1 *Ampullaria malleata*, Jonas, vu de face. Individu très-adulte, de Tabasco.
Fig. 2 *Ampullaria Belizensis*, Crosse et Fischer, vu de face.
Fig. 2 a Le même, vu de dos.
Fig. 2 b Opercule du même, face externe.
Fig. 2 c Opercule du même, face interne.
Fig. 3 *Ampullaria occlusa*, Crosse et Fischer, vu de face.
Fig. 3 a Le même, vu de dos.
Fig. 3 b Opercule du même, face externe.
Fig. 3 c Opercule du même, face interne.
Fig. 4 *Ampullaria Delattrei*, Reeve, vu de face, l'opercule en place.
Fig. 4 a Le même, vu de dos.



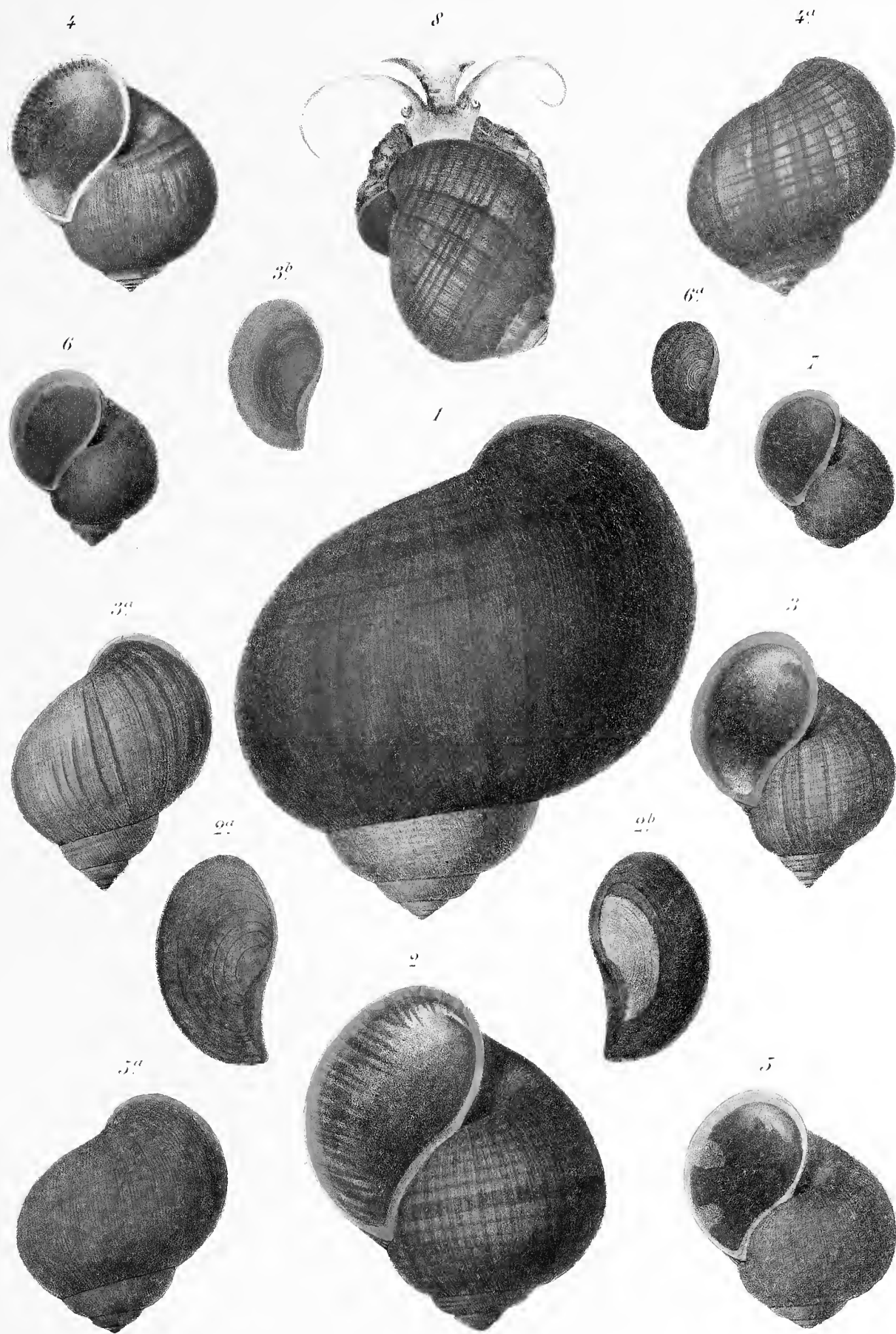
Arnoul del. et lith

Ampullaria.

MOLLUSQUES.

PLANCHE XLVI.

- Fig. 1 *Ampullaria malleata*, Jonas, vu de dos. Individu très-adulte, de Tabasco.
Fig. 2 *Ampullaria malleata*, Jonas, vu de face. Individu non adulte, de Cajabon.
Fig. 2 a Opercule du même, face externe.
Fig. 2 b Opercule du même, face interne.
Fig. 3 *Ampullaria malleata*, Jonas, variété ξ , vu de face.
Fig. 3 a Le même, vu de dos.
Fig. 3 b Opercule du même, face externe.
Fig. 4 *Ampullaria violacea*, Valenciennes. Type, vu de face.
Fig. 4 a Le même, vu de dos.
Fig. 5 *Ampullaria monachus*, Crosse et Fischer. Type, vu de face.
Fig. 5 a Le même, vu de dos.
Fig. 6 *Ampullaria erogata*, Crosse et Fischer. Type, vu de face.
Fig. 6 a Opercule du même, face externe.
Fig. 7 *Ampullaria erogata*, Crosse et Fischer, variété β , vu de face.
Fig. 8 *Ampullaria violacea*, Valenciennes, dont l'animal montre la tête, les tentacules et une partie du pied. D'après un dessin de M. A. Morelet.



Arnoul del. et lith.

Ampullaria.

MOLLUSQUES.

PLANCHE XLVII.

- Fig. 1 Appareil reproducteur mâle du *Neocyclotus Dysoni* : *a*, verge; *b*, son appendice filiforme terminal; *c*, rainure séminale pénienne; *d*, rainure déférente des téguments; *e*, prostate; *f*, canal déférent; *g*, testicule logé dans le tortillon; *h*, rectum; *i*, anus.
- Fig. 2 Appareil reproducteur femelle du même : *a*, orifice vaginal; *b*, oviducte; *c*, ovaire logé dans le tortillon; *d*, poche copulatrice; *e*, col de la poche copulatrice; *f*, utérus; *g*, rectum; *h*, anus.
- Fig. 3 Système nerveux du même : *a*, ganglions cérébroïdes; *b*, ganglions pédieux; *c*, prolongements des ganglions pédieux le long du pied; *d*, ganglion palléal droit; *e*, ganglion palléal gauche; *f*, ganglion sous-intestinal; *g*, ganglion sus-intestinal; *h*, ganglion viscéral précardiaque; *i*, plexus palléal gauche; *k*, connectif reliant le ganglion palléal gauche au ganglion sous-intestinal; *l*, connectif reliant le ganglion palléal droit au ganglion sus-intestinal; *m*, connectifs reliant les ganglions cérébroïdes aux ganglions palléaux; *n*, connectifs reliant les ganglions cérébroïdes aux ganglions pédieux; *o*, connectifs reliant les ganglions cérébroïdes aux ganglions stomato-gastriques; *p*, ganglions stomato-gastriques; *q*, commissure des ganglions stomato-gastriques; *r*, *s*, commissures transverses des ganglions pédieux.
1, nerf tentaculaire; 2, nerf optique; 3, nerf tégumentaire; 4, 5, 6, nerfs du muffle et des lèvres; 7, nerf du pénis.
- Fig. 4 Animal de l'*Amphicyclotus Montrouzieri*, extrait de sa coquille et grossi : *a*, opercule; *b*, face plantaire du pied; *c*, muffle; *d*, tentacules; *m*, manteau ouvert en avant; *t*, tortillon; *v*, verge.
- Fig. 5 Radule du même : *a*, dent centrale; *b*, dents latérales; *c*, dents marginales internes; *d*, dents marginales externes.
- Fig. 6 Radule de l'*Amphicyclotus Beauianus* : *a*, dent centrale; *b*, dents latérales; *c*, dents marginales internes; *d*, dents marginales externes.
- Fig. 7 Portion de mâchoire du même, vue à un très fort grossissement.
- Fig. 8 Une rangée de dents de la radule du *Chondropoma crenulatum* : *a*, dent centrale; *b*, dents latérales; *c*, dents marginales internes; *d*, dents marginales externes.
- Fig. 9 Mâchoires et radule de l'*Ampullaria Belizensis*, grossies : *a*, mâchoires; *b*, radule.
- Fig. 10 Portion de mâchoire du même, très grossie, pour montrer le réseau de sa surface dans la région moyenne; chaque petit polygone mesure 0^{mm}.005 de diamètre.
- Fig. 11 Radule du même : *a*, dent centrale; *b*, dents latérales; *c*, dents marginales internes; *d*, dents marginales externes.



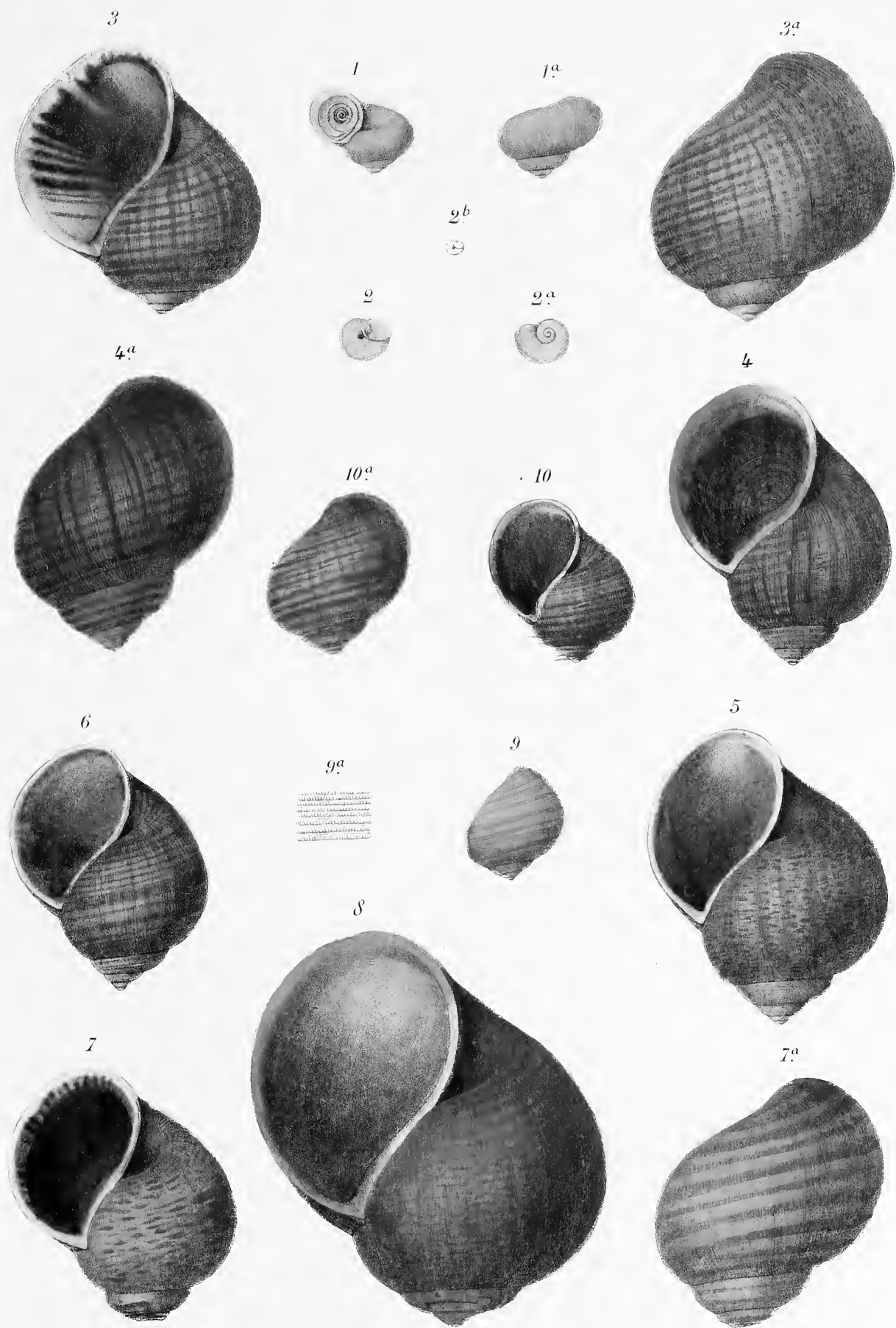
P. Fischer del

Labrousse sc

MOLLUSQUES.

PLANCHE XLVIII.

- Fig. 1 *Neocyclotus translucidus*, Sowerby, vu de face, l'opercule en place.
 Fig. 1 a Le même, vu de dos.
 Fig. 2 *Valvata Guatemalensis*, Morelet, vu par sa face inférieure. Grossi.
 Fig. 2 a Le même, vu par sa face supérieure.
 Fig. 2 b Le même, de grandeur naturelle.
 Fig. 3 *Ampullaria Yucatanensis*, Crosse et Fischer, vu de face.
 Fig. 3 a Le même, vu de dos.
 Fig. 4 *Ampullaria malleata*, Jonas, variété η *prasiua*, vu de face, l'opercule en place.
 Fig. 4 a Le même, vu de dos.
 Fig. 5 *Ampullaria malleata*, Jonas, variété γ *Chiapasensis*, vu de face.
 Fig. 6 *Ampullaria violacea*, Valenciennes, vu de face.
 Fig. 7 *Ampullaria Delattrei*, Reeve, vu de face, l'opercule en place.
 Fig. 7 a Le même, vu de dos.
 Fig. 8 *Ampullaria Ghiesbreghtii*, Reeve, vu de face. Individu du fleuve Usumasinta.
 Fig. 9 *Ampullaria Belizensis*, Crosse et Fischer, vu de dos. Jeune individu à épiderme hispide.
 Fig. 9 a Portion du test du même, grossie pour montrer les séries spirales de poils.
 Fig. 10 *Ampullaria eumicra*, Crosse et Fischer, vu de face.
 Fig. 10 a Le même, vu de dos.



Arnoul del. et lith.

Imprimerie Nationale

Neocyclotus, Valvata, Ampullaria.

MOLLUSQUES.

PLANCHE XLIX.

- Fig. 1. Animal du *Pachychilus glaphyrus*, var. *pyramidalis*, mâle, extrait de sa coquille et un peu grossi : *a*, pied; *b*, tentacule; *c*, mufle; *d*, manteau; *e*, tortillon; *f*, muscle columellaire; *g*, testicule.
- Fig. 2. Partie antérieure du corps du même, vue de dos, la cavité palléale et la cavité viscérale sont ouvertes : *a*, pied; *b*, tentacule; *c*, mufle; *d*, bulbe pharyngien; *e*, glandes salivaires; *f*, cul-de-sac radulaire; *g*, manteau; *h*, repli divisant la cavité palléale; *i*, rectum; *k*, branchie; *l*, fausse-branchie ou organe de Spengel.
- Fig. 3. Partie antérieure du corps du même, vue du côté droit : *a*, pied; *b*, tentacule; *c*, mufle; *d*, manteau; *e*, rainure génitale.
- Fig. 4. Mâchoires de *Pachychilus lacustris*.
- Fig. 5. Portion de mâchoire du même, vue à un très-fort grossissement.
- Fig. 6. Une rangée de dents de la radule du *Pachychilus glaphyrus*, var. *pyramidalis* : *a*, dent centrale; *b*, dents latérales; *c*, dents marginales internes; *d*, dents marginales externes; *e*, glabellule de la dent centrale; *f*, glabellule des dents latérales; *g*, indice de glabellule des dents marginales.
- Fig. 7. Estomac du même ouvert : *a*, œsophage; *b*, orifice œsophagien; *c*, première cavité de l'estomac; *d*, saillie en forme de selle et supportant la cuticule stomacale; *e*, orifice du canal hépatique; *f*, deuxième cavité de l'estomac; *g*, lamelle interne de cette cavité; *h*, rectum.
- Fig. 8. Système nerveux du même : *a*, ganglions cérébroïdes; *b*, commissure transverse des ganglions cérébroïdes; *c*, ganglions pédiéux; *d*, ganglion palléal droit; *e*, ganglion palléal gauche; *f*, ganglion sous-intestinal; *g*, ganglion sus-intestinal; *h*, ganglion viscéral précardiaque; *i*, plexus palléal gauche; *k*, plexus palléal droit; *l*, connectif reliant le ganglion palléal droit au ganglion sus-intestinal; *m*, connectif reliant le ganglion sous-intestinal au ganglion viscéral; *n*, connectif cérébro-pédiéux; *o*, connectif cérébro-palléal; *p*, connectif reliant le ganglion cérébroïde au ganglion stomato-gastrique du même côté; *q*, ganglions stomato-gastriques; *r*, commissure transverse des ganglions stomato-gastriques; *s*, position des otocystes à la face ventrale des ganglions pédiéux.
1, nerf tentaculaire; 2, nerf optique; 3, nerfs tégumentaires de la tête; 4, nerf acoustique.
- Fig. 9. Quelques otolithes de *Pachychilus lacustris*.
- Fig. 10. Partie antérieure du corps du *Semisinus ruginosus*, vue de dos : la cavité palléale et la cavité viscérale étant ouvertes; femelle adulte : *a*, pied; *b*, tentacule; *c*, mufle; *d*, manteau; *e*, papilles des bords du manteau; *f*, bulbe pharyngien; *g*, œsophage; *h*, ganglions cérébroïdes; *i*, ganglion palléal droit; *k*, ganglion palléal gauche; *l*, ganglion sus-intestinal; *m*, ganglion sous-intestinal; *n*, utérus; *o*, rectum; *p*, branchie; *q*, fausse-branchie; *r*, orifice génital externe.
- Fig. 11. Coquille d'un jeune individu, long de 4 millimètres et trouvé dans l'utérus du précédent.
- Fig. 12. Opercule de la coquille précédente.
- Fig. 13. Coquille d'un embryon long de 1,5 millimètre, trouvé également dans l'utérus du *Semisinus ruginosus*.
- Fig. 14. Une rangée de la radule du jeune individu représenté fig. 11 : *a*, dent centrale; *b*, dents latérales; *c*, dents marginales internes; *d*, dents marginales externes; *e*, cavité de la dent centrale; *f*, cavité des dents latérales.
- Fig. 15. Quelques otolithes de *Semisinus ruginosus* adulte.



P. Fischer del.

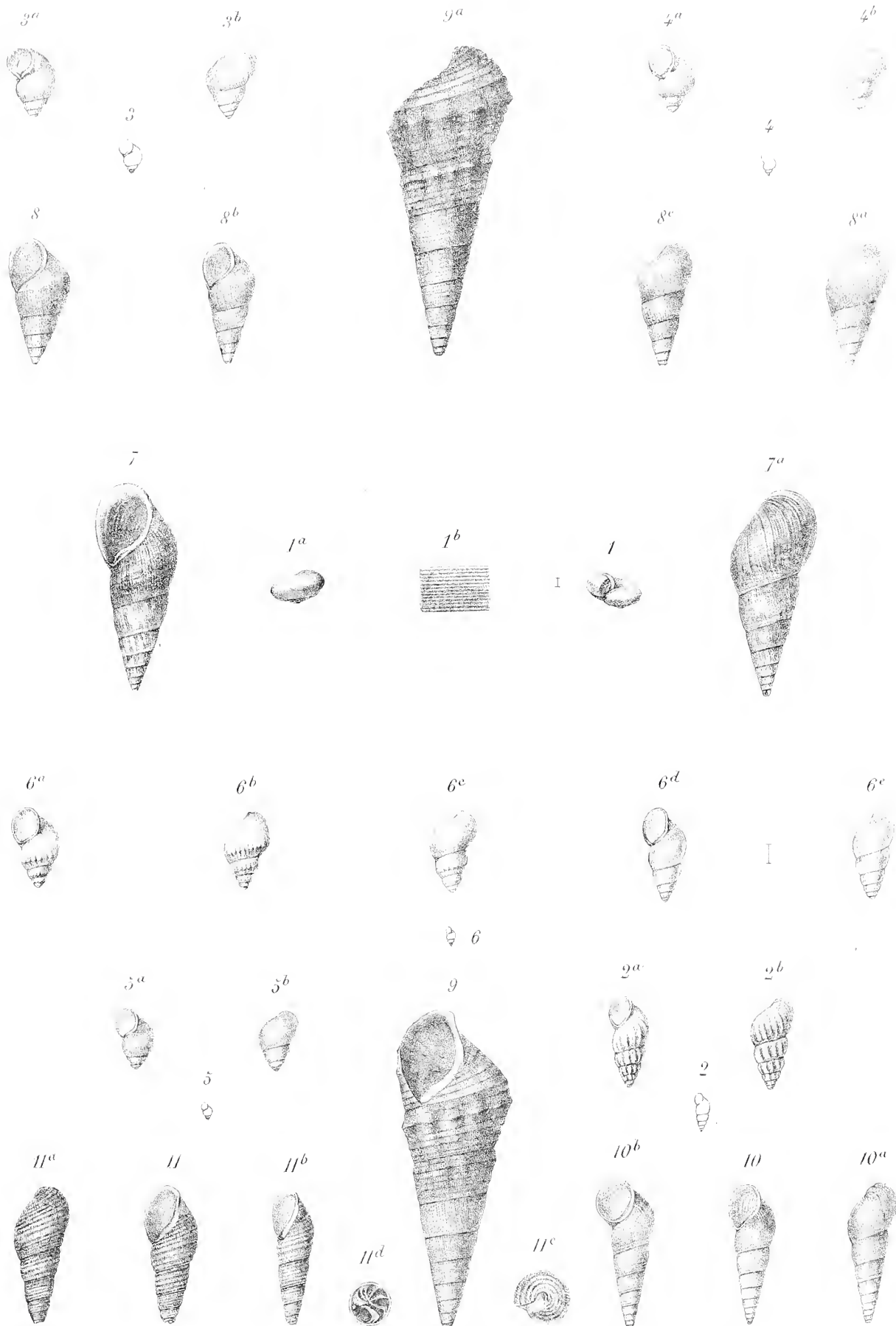
Lobrun sc.

Anatomie des Pachychilus et des Semisinus

MOLLUSQUES.

PLANCHE I.

- Fig. 1. *Valvata Guatemalensis*, Morelet, vu de face, grossi.
 Fig. 1 a. Le même, vu de dos, grossi.
 Fig. 1 b. Surface du dernier tour, très-grossie.
 Fig. 2. *Tryonia exigua*, Morelet, vu de face, de grandeur naturelle.
 Fig. 2 a. Le même, grossi, vu de face.
 Fig. 2 b. Un autre spécimen du même, grossi, vu de dos.
 Fig. 3. *Amnicola Petenensis*, Morelet, vu de face, de grandeur naturelle.
 Fig. 3 a. Le même, vu de face et grossi.
 Fig. 3 b. Le même, vu de dos et grossi.
 Fig. 4. *Amnicola Orizabensis*, Crosse et Fischer, vu de face, de grandeur naturelle.
 Fig. 4 a. Le même, grossi, vu de face.
 Fig. 4 b. Le même, grossi, vu de dos.
 Fig. 5. *Amnicola Guatemalensis*, Crosse et Fischer, vu de face, de grandeur naturelle.
 Fig. 5 a. Le même, grossi, vu de face.
 Fig. 5 b. Le même, grossi, vu de dos.
 Fig. 6. *Amnicola coronata*, Pfeiffer, vu de face, de grandeur naturelle.
 Fig. 6 a. Le même, grossi, vu de face.
 Fig. 6 b. Le même, grossi, vu de dos.
 Fig. 6 c. Autre spécimen du même, grossi, vu de dos.
 Fig. 6 d. *Amnicola coronata*, Pfeiffer, var. *crystallina*, grossi, vu de face.
 Fig. 6 e. Autre spécimen de la même variété, grossi, vu de dos.
 Fig. 7. *Pachychilus graphium*, Morelet, var. *transcendens*, vu de face, grandeur naturelle.
 Fig. 7 a. Le même, vu de dos.
 Fig. 8. *Pachychilus indifferens*, Crosse et Fischer, vu de face, grandeur naturelle.
 Fig. 8 a. Le même, vu de dos.
 Fig. 8 b. Autre spécimen de la même espèce, vu de face.
 Fig. 8 c. Le même, vu de dos.
 Fig. 9. *Pachychilus obeliscus*, Reeve, variété *pyrgiscus*, vu de face, grandeur naturelle.
 Fig. 9 a. Le même, vu de dos.
 Fig. 10. *Pachychilus Schiedeanus*, Philippi, vu de face, grandeur naturelle.
 Fig. 10 a. Le même, vu de dos.
 Fig. 10 b. Autre individu du même, vu de face.
 Fig. 11. *Semisinus ruginosus*, Morelet, vu de face, grandeur naturelle.
 Fig. 11 a. Le même, vu de dos.
 Fig. 11 b. Autre individu du même, forme allongée.
 Fig. 11 c. Base de la même espèce, grossie.
 Fig. 11 d. Extrémité de la spire de la même espèce, pour montrer les diverses cloisoas de sa troncature, grossie.



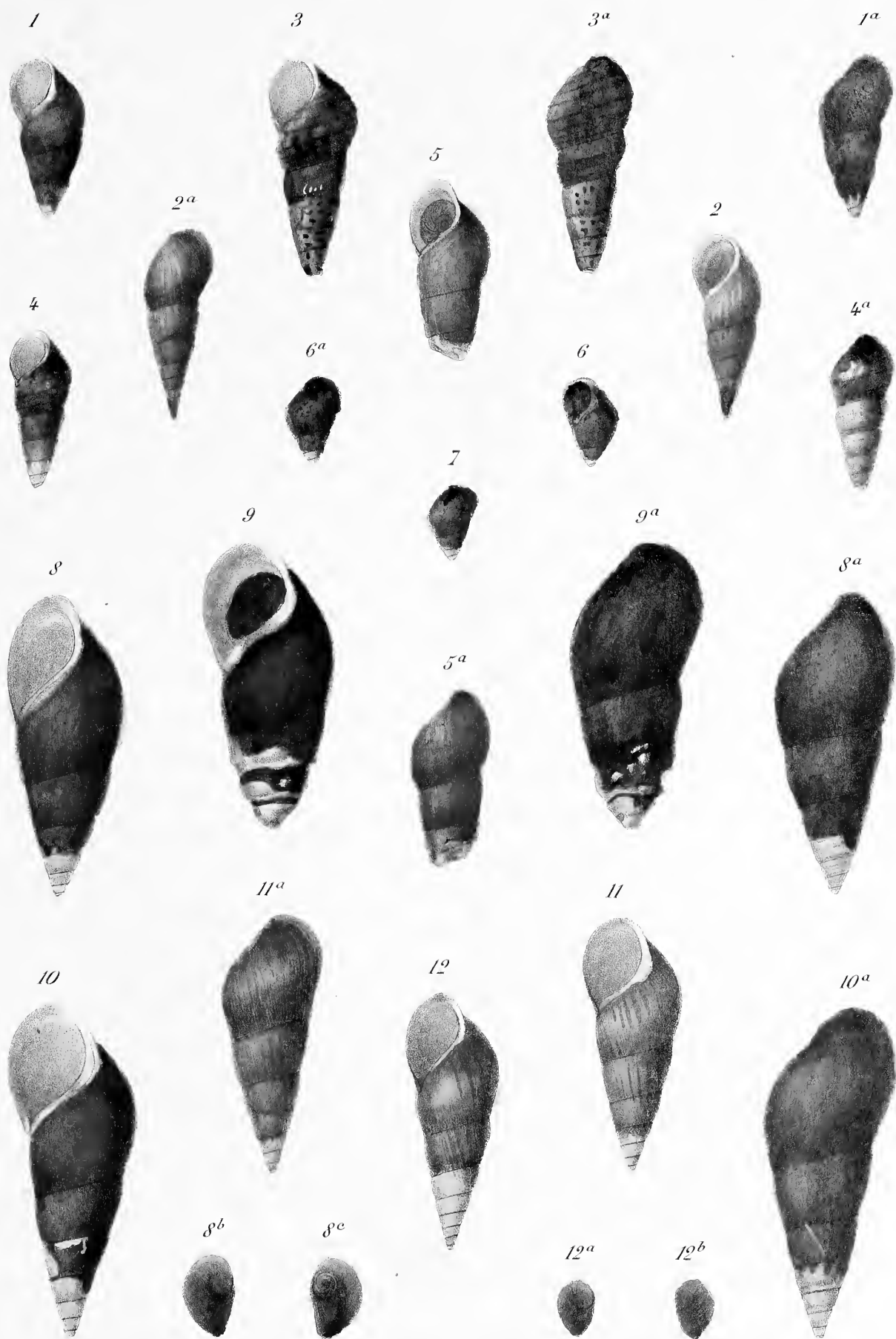
Arnoul del. et lith

Imprimerie Nationale

Valvata, Tryonia, Amnicola, Pachychilus, Semisinus.

PLANCHE LI.

- Fig. 1 *Pachychilus Turatii*, Villa, vu de face.
Fig. 1 a Le même, vu de dos.
Fig. 2 *Pachychilus graphium*, Morelet, vu de face.
Fig. 2 a Le même, vu de dos.
Fig. 3 *Pachychilus lacustris*, Morelet, vu de face.
Fig. 3 a Le même, vu de dos.
Fig. 4 *Pachychilus lacustris*, Morelet, variété *pumila*, vu de face.
Fig. 4 a Le même, vu de dos.
Fig. 5 *Pachychilus Gassiesi*, Reeve, vu de face.
Fig. 5 a Le même, vu de dos.
Fig. 6 *Pachychilus Sargi*, Crosse et Fischer, vu de face.
Fig. 6 a Le même, vu de dos.
Fig. 7 Autre individu du même, vu de dos.
Fig. 8 *Pachychilus chrysalis*, Brot, vu de face.
Fig. 8 a Le même, vu de dos.
Fig. 8 b Opercule du même, face externe.
Fig. 8 c Opercule du même, face interne.
Fig. 9 *Pachychilus chrysalis*, Brot, variété *vulnerata*, vu de face.
Fig. 9 a Le même, vu de dos.
Fig. 10 *Pachychilus chrysalis*, Brot, variété *vulnerata*, vu de face.
Fig. 10 a Le même, vu de dos.
Fig. 11 *Pachychilus levissimus*, Sowerby, vu de face.
Fig. 11 a Le même, vu de dos.
Fig. 12 Autre spécimen de la même espèce, vu de face.
Fig. 12 a Opercule du même, face externe.
Fig. 12 b Opercule du même, face interne.



Arnoul del. et lith.

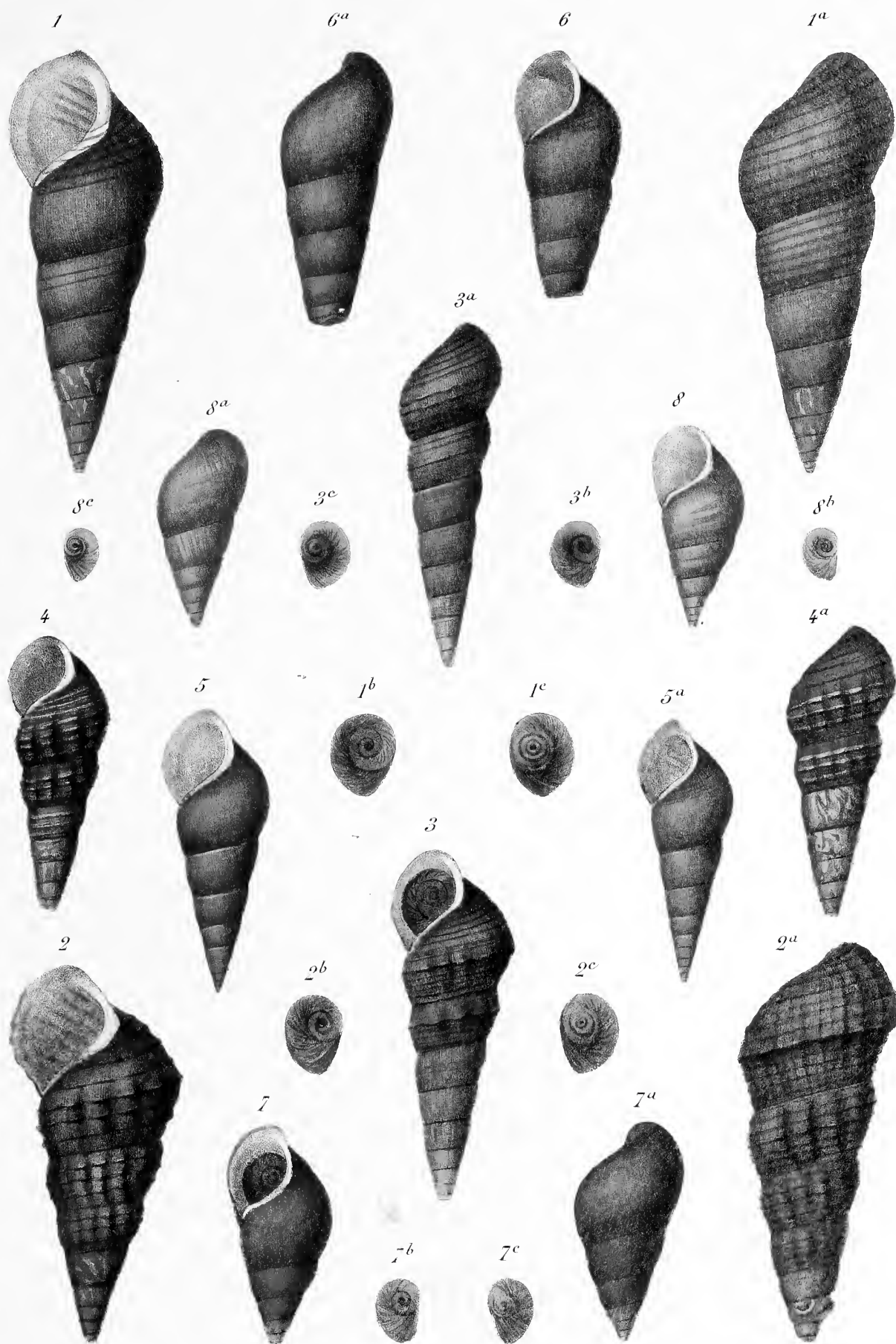
Imprimerie Nationale.

Pachychilus.

MOLLUSQUES.

PLANCHE LII.

- Fig. 1 *Pachychilus glaphyrus*, Morelet, variété *pyramidalis*, vu de face.
Fig. 1 a Autre spécimen de la même variété, vu de dos.
Fig. 1 b Opercule du même, face externe.
Fig. 1 c Opercule du même, face interne.
Fig. 2 *Pachychilus glaphyrus*, Morelet, variété *scannata*, vu de face.
Fig. 2 a *Pachychilus glaphyrus*, Morelet, variété *glaphyra*, vu de dos.
Fig. 2 b Opercule du même, face externe.
Fig. 2 c Opercule du même, face interne.
Fig. 3 *Pachychilus lacustris*, Morelet, variété *amphibola*, vu de face.
Fig. 3 a *Pachychilus lacustris*, Morelet, variété *terebralis*, vu de dos.
Fig. 3 b Opercule du même, face externe.
Fig. 3 c Opercule du même, face interne.
Fig. 4 *Pachychilus lacustris*, Morelet, vu de face.
Fig. 4 a Autre spécimen, vu de dos.
Fig. 5 *Pachychilus Largillierti*, Philippi, vu de face.
Fig. 5 a Autre spécimen, vu de dos.
Fig. 6 *Pachychilus subexaratus*, Crosse et Fischer, vu de face.
Fig. 6 a Autre spécimen, vu de dos.
Fig. 7 *Pachychilus corvinus*, Morelet, vu de face.
Fig. 7 a Autre spécimen, vu de dos.
Fig. 7 b Opercule du même, face externe.
Fig. 7 c Opercule du même, face interne.
Fig. 8 *Pachychilus cinereus*, Morelet, vu de face.
Fig. 8 a Autre spécimen, vu de dos.
Fig. 8 b Opercule du même, face externe.
Fig. 8 c Opercule du même, face interne.



Arnoul del. et lith.

Imprimerie Nationale.

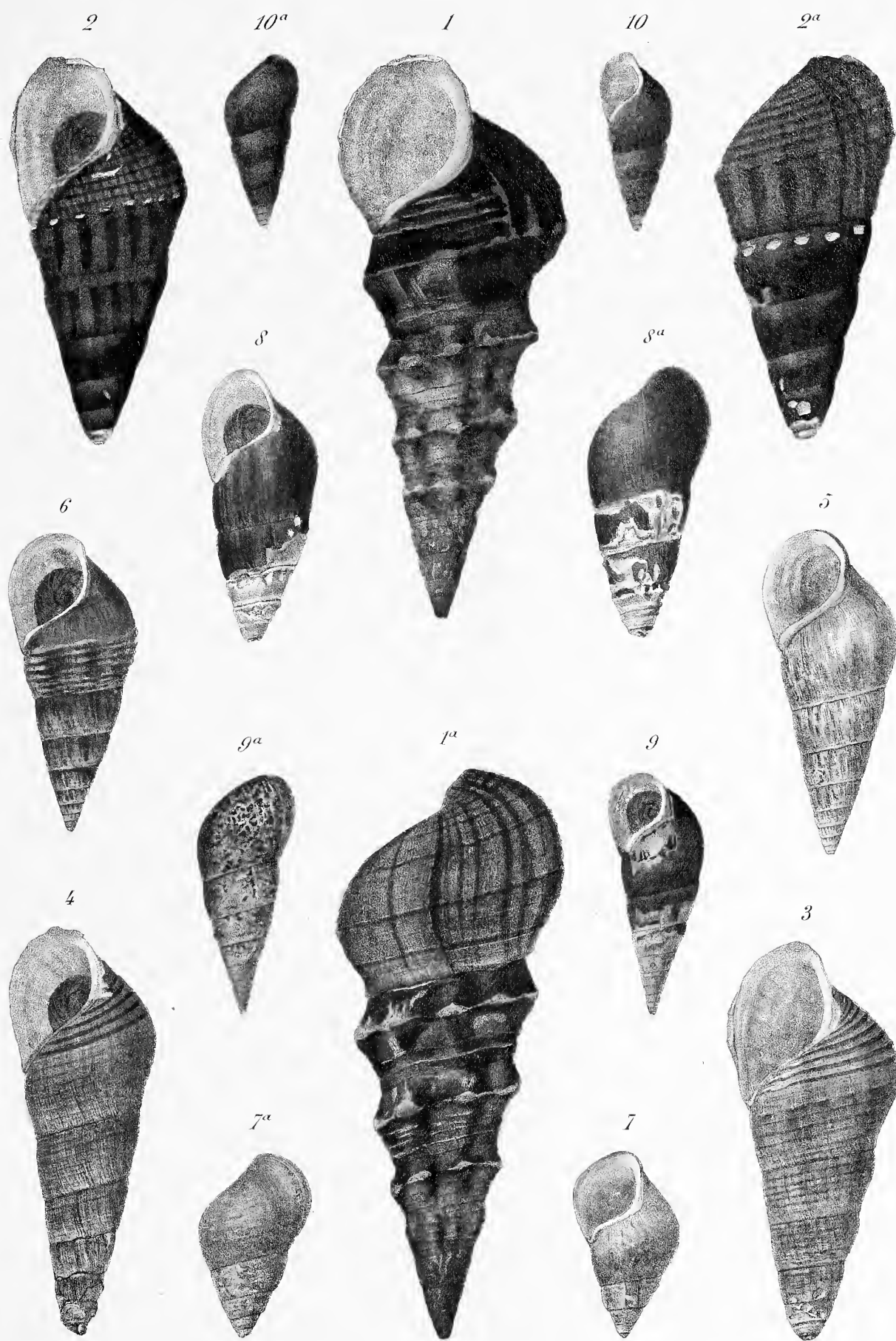
Pachychilus.

MOLLUSQUES.

PLANCHE LIII.

- Fig. 1 *Pachychilus glaphyrus*, Morelet, var. *immanis*, vu de face.
Fig. 1 a Le même, vu de dos.
Fig. 2 *Pachychilus glaphyrus*, Morelet, var. *semilevis*, vu de face.
Fig. 2 a Le même, vu de dos.
Fig. 3 *Pachychilus glaphyrus*, Morelet, var. *opiparis*, vu de face.
Fig. 4 Autre spécimen de la même variété, vu de face.
Fig. 5 *Pachychilus lævissimus*, Sowerby, vu de face, variété δ , *costato-plicata*.
Fig. 6 *Pachychilus lævissimus*, Sowerby, var. γ , *varicosa*, vu de face.
Fig. 7 *Pachychilus corvinus*, Morelet, var. *lutescens*, vu de face.
Fig. 7 a Le même, vu de dos.
Fig. 8 *Pachychilus panucula*, Morelet, vu de face.
Fig. 8 a Le même, vu de dos.
Fig. 9 *Pachychilus indifferens*, Crosse et Fischer, var. *explicata*, vu de face.
Fig. 9 a Le même, vu de dos.
Fig. 10 *Pachychilus indifferens*, Crosse et Fischer, autre spécimen de la variété *explicata*, vu de face.
Fig. 10 a Le même, vu de dos.

Toutes les figures de cette planche sont représentées de grandeur naturelle.



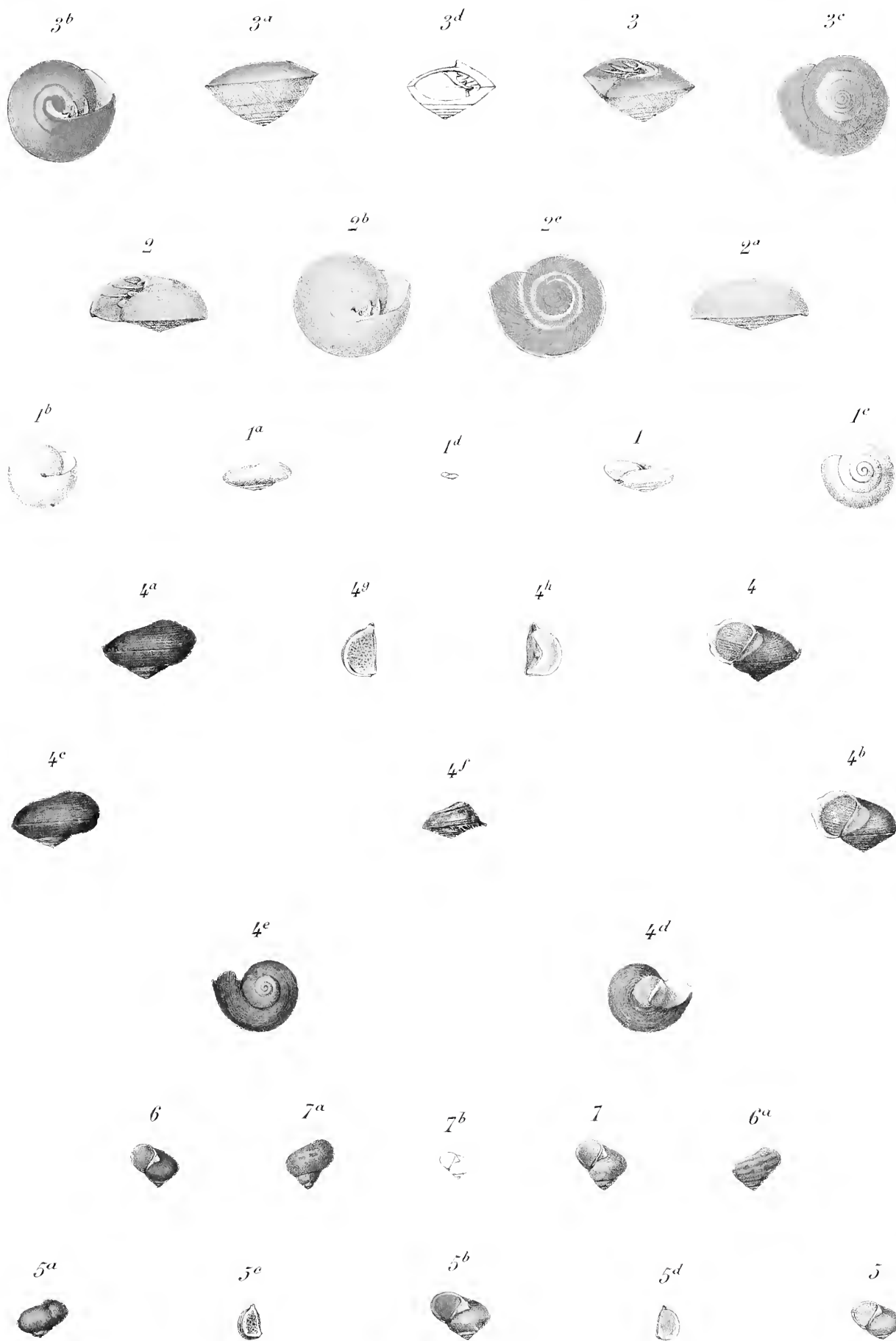
Arnoul del. et lith.

Imprimerie Nationale.

Pachychilus.

PLANCHE LIV.

- Fig. 1. *Proserpinella Berendti*, Bland, vu de face et grossi.
 Fig. 1 a. Le même, vu de dos et grossi.
 Fig. 1 b. Le même, vu du côté de la région ombilicale et grossi.
 Fig. 1 c. Le même, vu du côté de la spire et grossi.
 Fig. 1 d. Le même, dessiné au trait, vu de face et de grandeur naturelle.
 Fig. 2. *Ceres colina*, Duclos, vu de face.
 Fig. 2 a. Le même, vu de dos.
 Fig. 2 b. Le même, vu du côté de la région ombilicale.
 Fig. 2 c. Le même, vu du côté de la spire.
 Fig. 3. *Ceres Salleana*, Gray, vu de face.
 Fig. 3 a. Le même, vu de dos.
 Fig. 3 b. Le même, vu du côté de la région ombilicale.
 Fig. 3 c. Le même, vu du côté de la spire.
 Fig. 3 d. Le même, ouvert, pour montrer comment sont résorbées les cloisons intérieures.
 Fig. 4. *Schasichila Nicoleti*, Shuttleworth, vu de face.
 Fig. 4 a. Le même, vu de dos.
 Fig. 4 b. Var. ♂ du même, vue de face.
 Fig. 4 c. Même variété, vue de dos.
 Fig. 4 d. Même variété, vue du côté de la région ombilicale.
 Fig. 4 e. Même variété, vue du côté de la spire.
 Fig. 4 f. *Schasichila Nicoleti*, Shuttleworth, à l'état jeune et vu de dos.
 Fig. 4 g. Opercule du même, face externe.
 Fig. 4 h. Opercule du même, face interne.
 Fig. 5. *Schasichila panucea*, Morelet, vu de face.
 Fig. 5 a. Le même, vu de dos.
 Fig. 5 b. Var. ♂, *Misantlensis*, du même, vue de face.
 Fig. 5 c. Opercule de la variété ♂ du même, face externe.
 Fig. 5 d. Opercule de la variété ♂ du même, face interne.
 Fig. 6. *Schasichila alata*, Menke, vu de face.
 Fig. 6 a. Le même, vu de dos.
 Fig. 7. *Schasichila minuscula*, Pfeiffer, vu de face et grossi.
 Fig. 7 a. Le même, vu de dos et grossi.
 Fig. 7 b. Le même, dessiné au trait, vu de face et de grandeur naturelle.



Arnoul del. et lith.

Imprimerie Nationale.

Proserpinella, Ceres, Schasichila.

MOLLUSQUES.

PLANCHE LV.

- Fig. 1. *Ceres colina*, Duclos, vu du côté de la spire, dessiné au trait et grossi, pour montrer les détails et la direction des stries.
- Fig. 2. *Ceres Salleana*, Gray, vu du côté de la spire, dessiné au trait et grossi, pour montrer les détails et la direction des stries.
- Fig. 3. *Helicina amana*, Pfeiffer, vu de face.
- Fig. 3 *a* Même espèce, vue de dos.
- Fig. 3 *b* Même espèce, vue du côté de la base.
- Fig. 3 *c* Même espèce, vue du côté de la spire.
- Fig. 4. Variété β , *purpureo-flava*, de la même espèce, vue du côté de la spire. Type de l'*Helicina purpureo-flava*, Morelet (Collection A. Morelet).
- Fig. 5. *Helicina Ghiesbreghti*, Pfeiffer, vu de face.
- Fig. 5 *a* Même espèce, vue de dos.
- Fig. 5 *b* Même espèce, vue du côté de la base.
- Fig. 5 *c* Même espèce, vue du côté de la spire.
- Fig. 6. *Helicina cinctella*, Shuttleworth, vu de face.
- Fig. 6 *a* Même espèce, vue de dos.
- Fig. 6 *b* Même espèce, vue du côté de la base.
- Fig. 6 *c* Même espèce, vue du côté de la spire.
- Fig. 7. Variété γ , *Botteriana*, de la même espèce, vue de face (*Helicina Botteriana*, Pfeiffer).
- Fig. 7 *a* Même variété, vue de dos.
- Fig. 7 *b* Même variété, vue du côté de la base.
- Fig. 7 *c* Même variété, vue du côté de la spire.
- Fig. 8. *Helicina rostrata*, Morelet, vu de face.
- Fig. 8 *a* Même espèce, vue de dos.
- Fig. 8 *b* Même espèce, vue du côté de la base.
- Fig. 8 *c* Même espèce, vue du côté de la spire.
- Fig. 9. Variété β , *simplex*, de la même espèce, vue de face.
- Fig. 9 *a* Même variété, vue de dos.
- Fig. 9 *b* Même variété, vue du côté de la base.
- Fig. 9 *c* Même variété, vue du côté de la spire.
- Fig. 10. *Helicina zephyrina*, Duclos, vu de face.
- Fig. 10 *a* Même espèce, vue de dos.
- Fig. 10 *b* Même espèce, vue du côté de la base.
- Fig. 10 *c* Même espèce, vue du côté de la spire.
- Fig. 11. Animal de la même espèce, développé.



Annot del. ex lith.

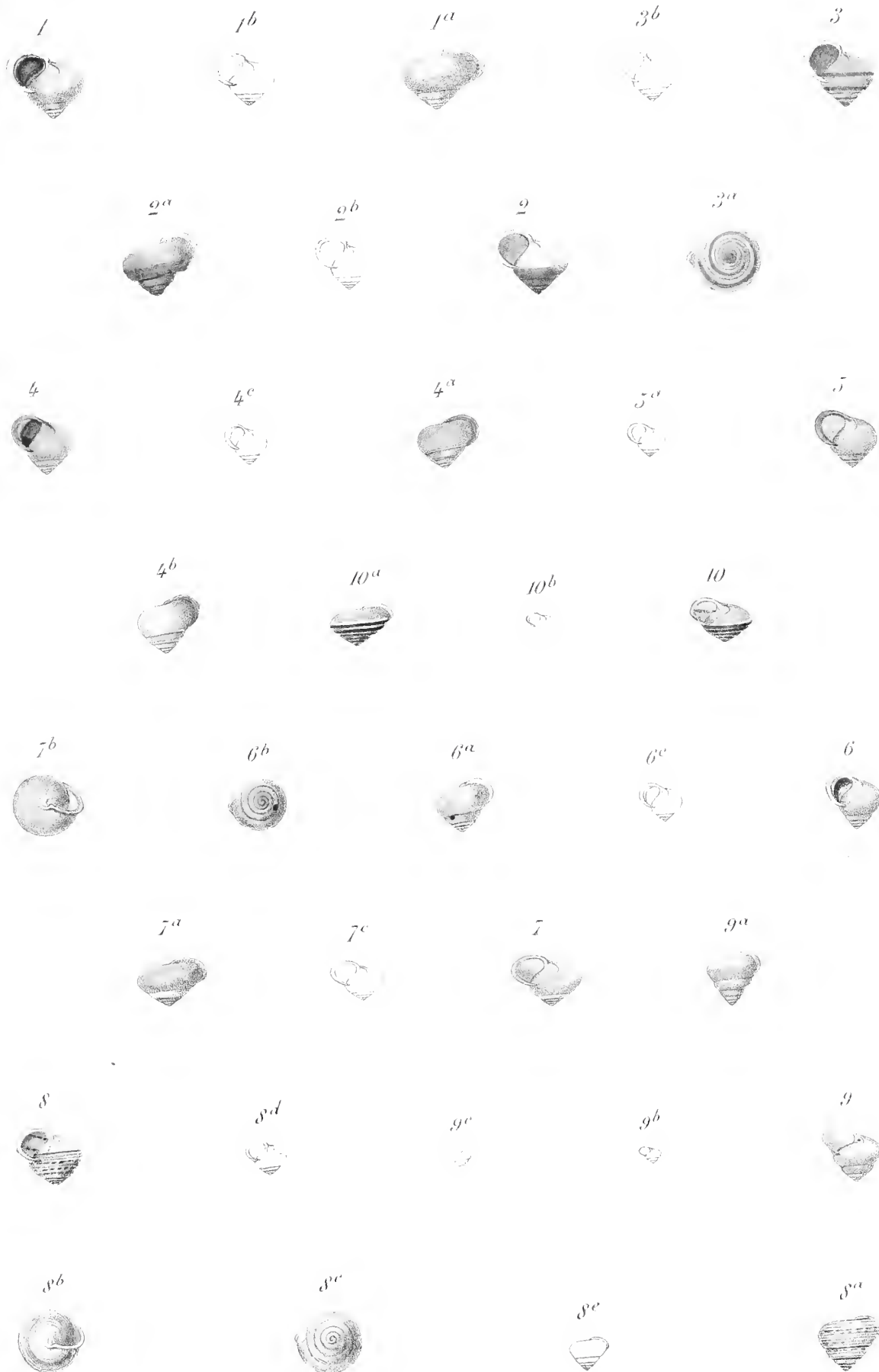
Imprimerie Leconte.

Ceres, Helicina.

MOLLUSQUES.

PLANCHE LVI.

- Fig. 1. Variété δ , *unicolor*, de l'*Helicina Lindeni*, Pfeiffer, vue de face, munie de son opercule en place et grossie. Premier type de l'*Helicina vernalis*, Morelet (Coll. A. Morelet).
- Fig. 1 a Même variété, vue de dos et grossie.
- Fig. 1 b Même variété, vue de face, dessinée au trait et de grandeur naturelle.
- Fig. 2. Variété ε , *rosco-fulvida*, de l'*Helicina Lindeni*, Pfeiffer, vue de face et grossie. Deuxième type de l'*H. vernalis*, Morelet (Coll. A. Morelet).
- Fig. 2 a Même variété, vue de dos et grossie.
- Fig. 2 b Même variété, vue de face, dessinée au trait et de grandeur naturelle.
- Fig. 3. Variété ε , *fulva*, de l'*Helicina Lindeni*, Pfeiffer, vue de face, munie de son opercule en place et grossie. Troisième type de l'*H. vernalis*, Morelet (Coll. A. Morelet).
- Fig. 3 a Même variété, vue du côté de la spire et grossie.
- Fig. 3 b Même variété, vue de face, dessinée au trait et de grandeur naturelle.
- Fig. 4. *Helicina Oweniana*, Pfeiffer, vu de face, muni de son opercule et grossi.
- Fig. 4 b Même espèce, vue de dos et grossie.
- Fig. 4 c Même espèce, vue de face, dessinée au trait et de grandeur naturelle.
- Fig. 4 a Variété β , *coccinostoma*, de l'*Helicina Oweniana*, Pfeiffer, vue de dos et grossie (*H. coccinostoma*, Morelet).
- Fig. 5. Même variété, vue de face et grossie.
- Fig. 5 a Même variété, vue de face, dessinée au trait et de grandeur naturelle.
- Fig. 6. *Helicina notata*, Sallé, vu de face, muni de son opercule et grossi.
- Fig. 6 a Même espèce, vue de dos et grossie.
- Fig. 6 b Même espèce, vue du côté de la spire et grossie.
- Fig. 6 c Même espèce, vue de face, dessinée au trait et de grandeur naturelle.
- Fig. 7. *Helicina Durangoana*, Mousson, vu de face et grossi.
- Fig. 7 a Même espèce, vue de dos et grossie.
- Fig. 7 b Même espèce, vue du côté de la base et grossie.
- Fig. 7 c Même espèce, vue de face, dessinée au trait et de grandeur naturelle.
- Fig. 8. *Helicina arenicola*, Morelet, vu de face et grossi. Type de l'*H. arenicola*, Morelet (Coll. A. Morelet).
- Fig. 8 a Même espèce, vue de dos et grossie.
- Fig. 8 b Même espèce, vue du côté de la base et grossie.
- Fig. 8 d Même espèce, vue de face, dessinée au trait et de grandeur naturelle.
- Fig. 8 e Même espèce, vue de dos, dessinée au trait et de grandeur naturelle.
- Fig. 8 c Variété β , *pallidior*, de l'*Helicina arenicola*, Morelet, vue du côté de la base et grossie. Deuxième type de l'*Helicina arenicola*, Morelet (Coll. A. Morelet).
- Fig. 9. *Helicina microdina*, Morelet, vu de face et grossi. Type de l'*H. microdina*, Morelet (Coll. A. Morelet).
- Fig. 9 a Même espèce, vue de dos et grossie.
- Fig. 9 b Même espèce, vue de face, dessinée au trait et de grandeur naturelle.
- Fig. 9 c Même espèce, vue de dos, dessinée au trait et de grandeur naturelle.
- Fig. 10. Variété ε , *Bocourti*, de l'*Helicina Dysoni*, Pfeiffer, vue de face et grossie (*Helicina Bocourti*, Crosse et Fischer).
- Fig. 10 a Même variété, vue de dos et grossie.
- Fig. 10 b Même variété, vue de face, dessinée au trait et de grandeur naturelle.



Arnoul del. ex lith.

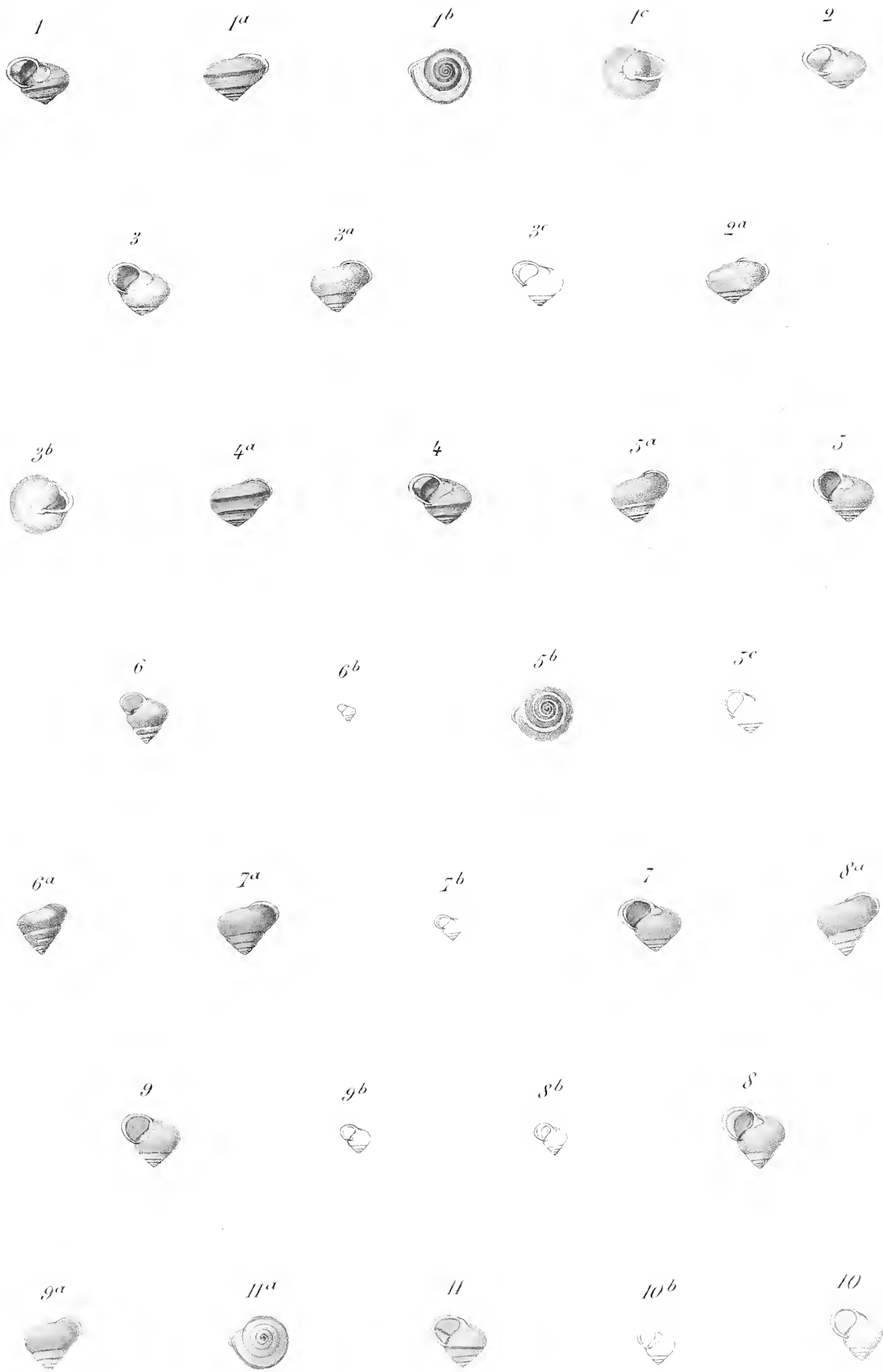
Depos. Mus. Hist. Nat. Paris

Helicina.

MOLLUSQUES.

PLANCHE LVII.

- Fig. 1..... *Helicina Cordilleræ*, Sallé, vu de face et muni de son opercule. Type de l'*Helicina Cordilleræ*, Sallé (Coll. A. Sallé).
- Fig. 1 *a*..... Même espèce, vue de dos.
- Fig. 1 *b*..... Même espèce, vue du côté de la spire.
- Fig. 1 *c*..... Même espèce, vue du côté de la base.
- Fig. 2..... Variété γ , *albida*, de l'*Helicina Cordilleræ*, Sallé, vue de face. Deuxième type de l'*Helicina Cordilleræ*, Sallé (Coll. A. Sallé).
- Fig. 2 *a*..... Même variété, vue de dos.
- Fig. 3..... Variété β , *unicolor*, de l'*Helicina delicatula*, Shuttleworth (*H. Heloisæ*, Sallé), vue de face, munie de son opercule et grossie. Type de l'*Helicina Heloisæ*, Sallé (Coll. A. Sallé).
- Fig. 3 *a*..... Même variété, vue de dos et grossie.
- Fig. 3 *b*..... Même variété, vue du côté de la base et grossie.
- Fig. 3 *c*..... Même variété, vue de face, dessinée au trait et de grandeur naturelle.
- Fig. 4..... *Helicina delicatula*, Shuttleworth (*H. Heloisæ*, Sallé), vu de face et munie de son opercule. Deuxième type de l'*H. Heloisæ*, Sallé (Coll. A. Sallé).
- Fig. 4 *a*..... Même espèce, vue de dos.
- Fig. 5..... Variété γ , *anozona*, de l'*Helicina Oweniana*, Pfeiffer, vue de face, munie de son opercule et grossie (*Helicina anozona*, Martens).
- Fig. 5 *a*..... Même variété, vue de dos et grossie.
- Fig. 5 *b*..... Même variété, vue du côté de la spire et grossie.
- Fig. 5 *c*..... Même variété, vue de face, dessinée au trait et de grandeur naturelle.
- Fig. 6..... *Helicina Chryseis*, Tristram, vu de face et grossi.
- Fig. 6 *a*..... Même espèce, vue de dos et grossie.
- Fig. 6 *b*..... Même espèce, vue de face, dessinée au trait et de grandeur naturelle.
- Fig. 7..... Variété γ , *merdigera*, de l'*Helicina fragilis*, Morelet (*H. merdigera*, Sallé), vue de face, munie de son opercule et grossie.
- Fig. 7 *a*..... Même variété, vue de dos et grossie.
- Fig. 7 *b*..... Même variété, vue de face, dessinée au trait et de grandeur naturelle.
- Fig. 8..... Variété β , *elata*, de l'*Helicina fragilis*, Morelet (*H. elata*, Shuttleworth), vue de face, munie de son opercule et grossie.
- Fig. 8 *a*..... Même variété, vue de dos et grossie.
- Fig. 8 *b*..... Même variété, vue de face, dessinée au trait et de grandeur naturelle.
- Fig. 9..... *Helicina fragilis*, Morelet, vu de face et grossi.
- Fig. 9 *a*..... Même espèce, vue de dos et grossie.
- Fig. 9 *b*..... Même espèce, vue de face, dessinée au trait et de grandeur naturelle.
- Fig. 10..... *Helicina flavida*, Menke (*H. trossula*, Morelet), vu de face et grossi. Premier type de l'*H. trossula*, Morelet (Coll. A. Morelet).
- Fig. 10 *a*..... Même espèce, vue de dos et grossie.
- Fig. 10 *b*..... Même espèce, vue de face, dessinée au trait et de grandeur naturelle.
- Fig. 11..... Variété de coloration de la même espèce, vue de face et grossie. Deuxième type de l'*H. trossula*, Morelet (Coll. A. Morelet).
- Fig. 11 *a*..... Même variété de coloration, vue du côté de la spire et grossie.



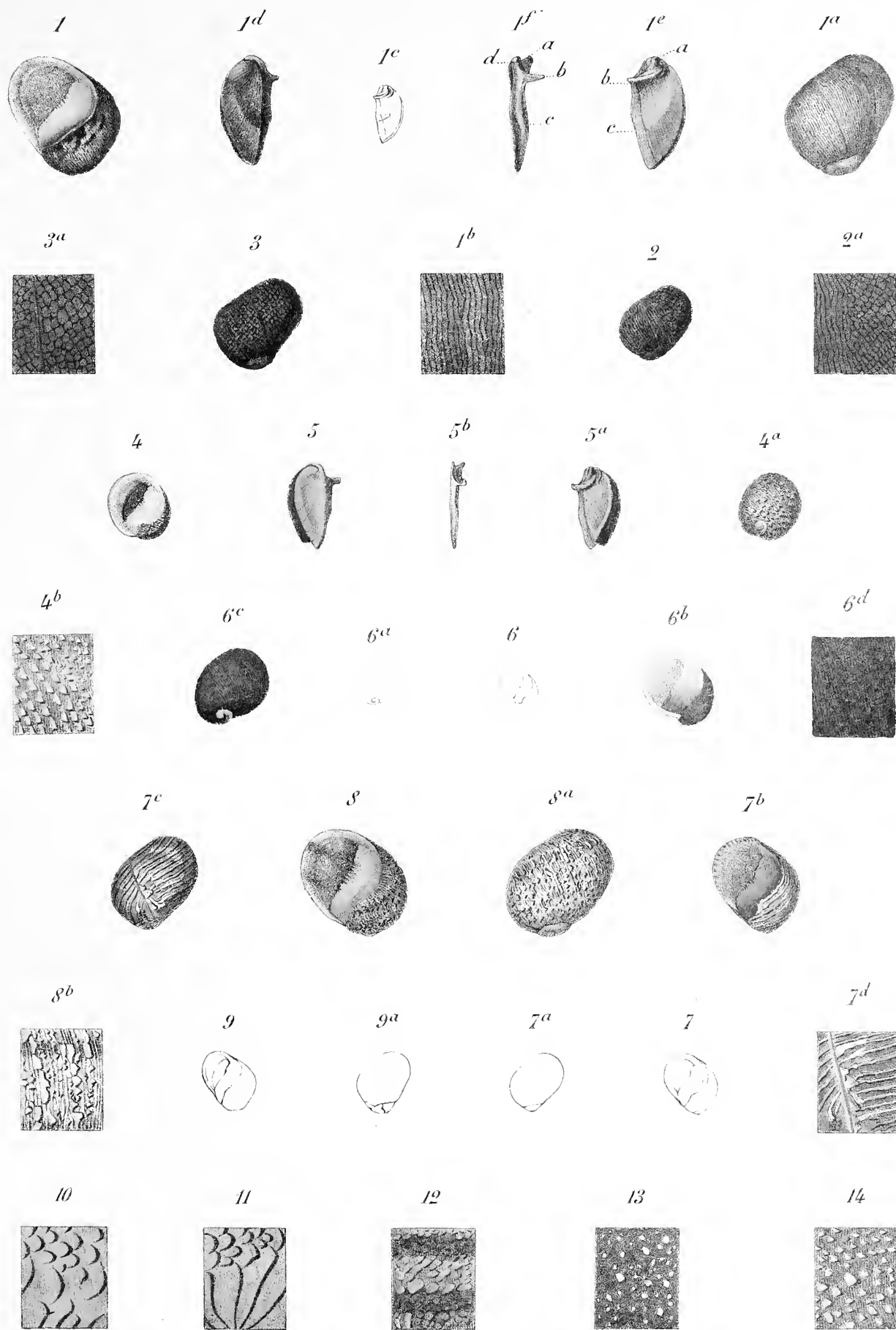
Arnoul del. et lith.

imprimerie Nationale.

Helicina.

PLANCHE LVIII.

- Fig. 1..... *Neritina reclinata*, Say, vu de face (type du *Neritina gravis*, Morelet), grandeur naturelle.
Fig. 1 *a*..... Le même, vu de dos.
Fig. 1 *b*..... Portion du test du même, grossie.
Fig. 1 *c*..... Opercule du même, face extérieure.
Fig. 1 *d*..... Opercule du même, grossi, face extérieure.
Fig. 1 *e*..... Opercule du même, grossi, face intérieure : *a*, apophyse apicale; *b*, apophyse claviforme; *c*, ren-
flement médio-marginal.
Fig. 1 *f*..... Opercule du même, grossi, vu de champ par son bord columellaire : *a*, apophyse apicale; *b*, apo-
physe claviforme; *c*, épaissement médio-marginal; *d*, callosité apicale.
Fig. 2..... *Neritina reclinata*, Say, variété, vue de dos.
Fig. 2 *a*..... Portion de test du même, grossie.
Fig. 3..... *Neritina reclinata*, Say, variété β , *reticulata*, vue de dos.
Fig. 3 *a*..... Portion de test du même, grossie.
Fig. 4..... *Neritina turbida*, Morelet, vu de face.
Fig. 4 *a*..... Le même, vu de dos.
Fig. 4 *b*..... Portion de test du même, grossie.
Fig. 5..... Opercule de *Neritina punctulata*, Lamarck, grossi; face extérieure.
Fig. 5 *a*..... Opercule du même, grossi, face intérieure.
Fig. 5 *b*..... Opercule du même, grossi, vu de champ.
Fig. 6..... *Neritina Sargi* (Pactel, Crosse et Fischer), vu de face, grandeur naturelle.
Fig. 6 *a*..... Le même, vu de dos, grandeur naturelle.
Fig. 6 *b*..... Le même, grossi, vu de face.
Fig. 6 *c*..... Le même, grossi, vu de dos.
Fig. 6 *d*..... Portion de test du même, grossie.
Fig. 7..... *Neritina usurpatrix*, Crosse et Fischer, vu de face, grandeur naturelle.
Fig. 7 *a*..... Le même, vu de dos, grandeur naturelle.
Fig. 7 *b*..... Le même, grossi, vu de face.
Fig. 7 *c*..... Le même, grossi, vu de dos.
Fig. 7 *d*..... Portion de test du même, grossie.
Fig. 8..... *Neritina cassiculum*, Sowerby, vu de face, grandeur naturelle.
Fig. 8 *a*..... Le même vu de dos, grandeur naturelle.
Fig. 8 *b*..... Portion de test du même, grossie.
Fig. 9..... *Neritina virginea*, Linné, vu de face, grandeur naturelle.
Fig. 9 *a*..... Le même, vu de dos, grandeur naturelle.
Fig. 10..... Portion de test grossie du *Neritina virginea*, Linné, variété β .
Fig. 11..... Portion de test grossie d'un autre spécimen de la même variété β .
Fig. 12..... Portion de test grossie du *Neritina virginea*, Linné, variété ε .
Fig. 13..... Portion de test grossie du *Neritina virginea*, Linné, variété δ .
Fig. 14..... Portion de test grossie du *Neritina virginea*, Linné, variété α .



Arnoul del. et lith.

Imprimerie Nationale.

Neritina.

MOLLUSQUES.

PLANCHE LIX.

- Fig. 1. *Anodonta Grijalvæ*, Morelet. Valve gauche, vue par sa face externe, et intérieur de la valve droite. Grandeur naturelle.
- Fig. 2. *Unio planivalvis*, Morelet. Valve gauche, vue par sa face externe, et intérieur de la valve droite. Grandeur naturelle.
- Fig. 3. *Unio paludosus*, Morelet. Valve gauche, vue par sa face externe, et intérieur de la valve droite. Grandeur naturelle.
- Fig. 4. *Unio scutulatus*, Morelet. Type. Valve gauche, vue par sa face externe, et intérieur de la valve droite. Grandeur naturelle.
- Fig. 5. *Unio scutulatus*, Morelet, variété β , *obliterata*. Valve gauche. Grandeur naturelle.
- Fig. 6. *Unio scutulatus*, Morelet, variété γ , *secabilis*. Valve gauche, vue par sa face externe, et intérieur de la valve droite. Grandeur naturelle.



Arnoul del. et lith.

Imprimerie Nationale

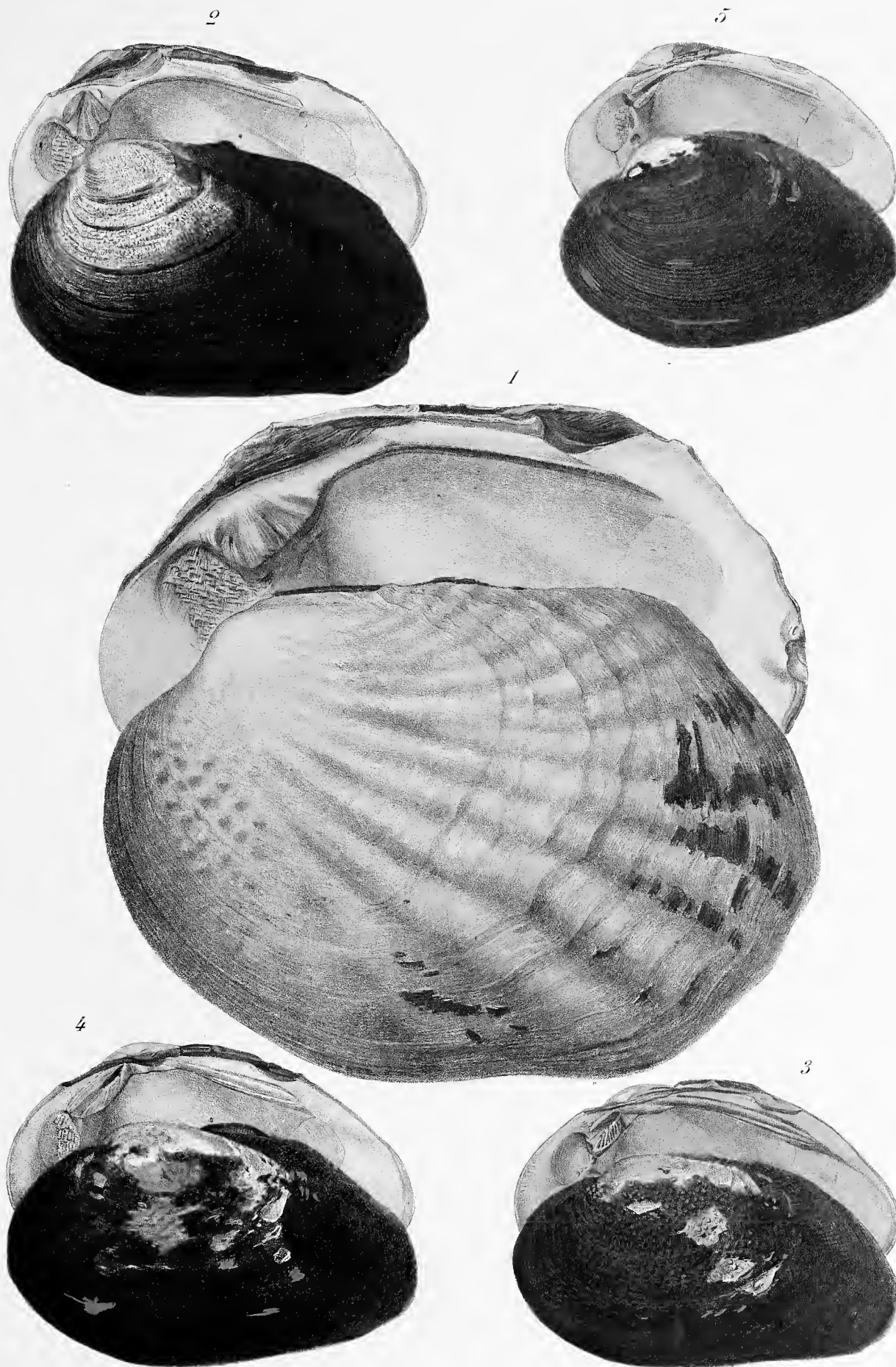
Anodonta, Unio.



MOLLUSQUES.

PLANCHE LX.

- Fig. 1. *Unio digitatus*, Morelet. Valve gauche, vue par sa face externe, et intérieur de la valve droite. Grandeur naturelle.
- Fig. 2. *Unio Morini*, Morelet. Valve gauche, vue par sa face externe, et intérieur de la valve droite. Grandeur naturelle.
- Fig. 3. *Unio Crocodilorum*, Morelet. Type. Valve gauche, vue par sa face externe, et intérieur de la valve droite. Grandeur naturelle.
- Fig. 4. Variété β , *semipustulata*, du même. Valve gauche, vue par sa face externe, et intérieur de la valve droite. Grandeur naturelle.
- Fig. 5. Variété γ , *præstricta*, du même. Valve gauche, vue par sa face externe, et intérieur de la valve droite. Grandeur naturelle.



Arnoul del. et lith.

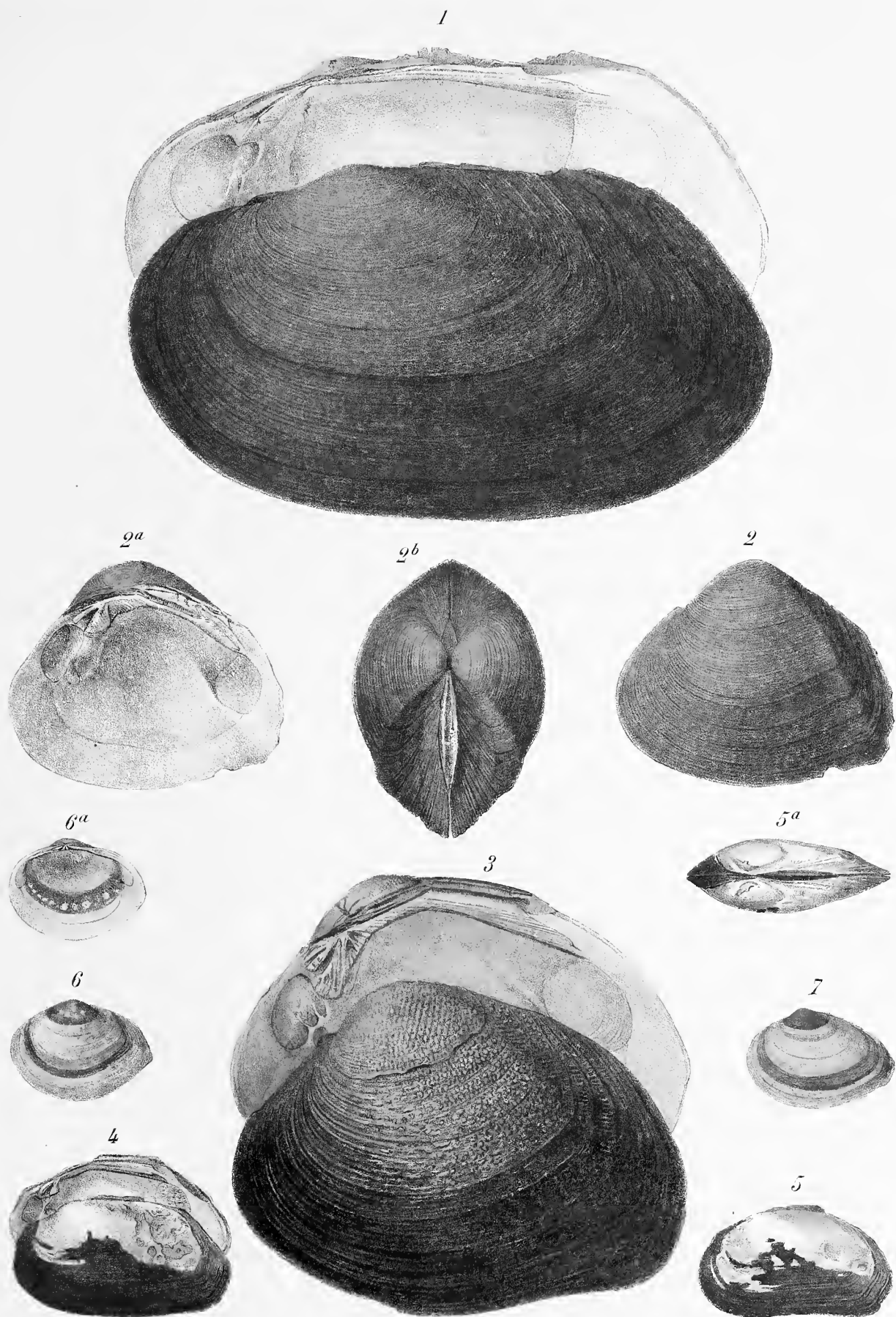
Imprimerie Nationale.

Unio.

MOLLUSQUES.

PLANCHE LXI.

- Fig. 1. *Unio explicatus*, Morelet. Valve gauche, vue par sa face externe, et intérieur de la valve droite. Grandeur naturelle.
- Fig. 2. *Unio spheniopsis*, Morelet. Valve gauche, face externe. Grandeur naturelle.
- Fig. 2 a. Même spécimen. Valve droite, face interne. Grandeur naturelle.
- Fig. 2 b. Même spécimen. Région dorsale des deux valves. Grandeur naturelle.
- Fig. 3. *Unio psoricus*, Morelet. Valve gauche, vue par sa face externe, et intérieur de la valve droite. Grandeur naturelle.
- Fig. 4. *Unio ravistellus*, Morelet. Valve gauche, vue par sa face externe, et intérieur de la valve droite. Grandeur naturelle.
- Fig. 5. Autre spécimen du même. Valve gauche. Grandeur naturelle.
- Fig. 5 a. Le même, vu de dos. Grandeur naturelle.
- Fig. 6. *Cyrena salmacida*, Morelet. Valve gauche, face externe. Grandeur naturelle.
- Fig. 6 a. Le même. Intérieur de la valve droite. Grandeur naturelle.
- Fig. 7. Même espèce, variété β . *subrostrata*. Valve gauche, face externe. Grandeur naturelle.



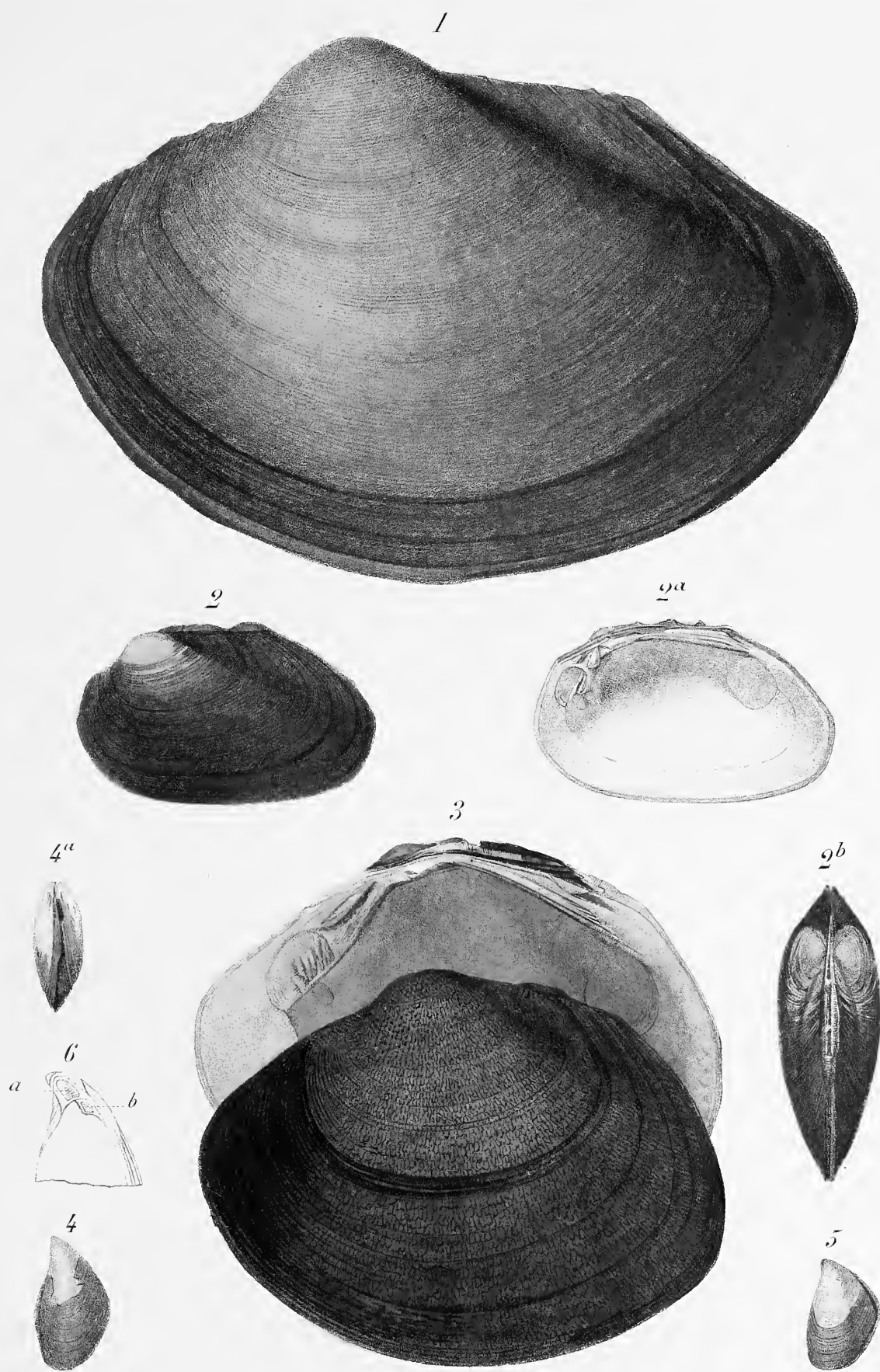
Arnoul del. et lith.

Imprimerie Nationale.

Unio, Cyrena.

PLANCHE LXII.

- Fig. 1. *Anodonta Tabascensis*, Morelet. Valve gauche, vue par sa face externe. Figure un peu réduite.
- Fig. 2. *Unio æruginosus*, Morelet. Valve gauche, vue par sa face externe. Grandeur naturelle.
- Fig. 2 a. Valve droite de la même espèce, vue par sa face interne. Grandeur naturelle.
- Fig. 2 b. Même espèce, vue par le côté dorsal. Grandeur naturelle.
- Fig. 3. *Unio testudineus*, Morelet. Face externe de la valve gauche et face interne de la valve droite. Grandeur naturelle.
- Fig. 4. *Dreissensia Sallei*, Récluz. Valve gauche, face externe. Grandeur naturelle.
- Fig. 4 a. Même espèce, vue par le côté ventral. Grandeur naturelle.
- Fig. 5. Même espèce. Valve gauche, variété plus courte. Grandeur naturelle.
- Fig. 6. Intérieur du sommet de la valve droite grossi, de la même espèce : *a*, impression du muscle adducteur antérieur des valves située sur le septum apical; *b*, impression du muscle protracteur du byssus.



Arnoul del. ex lith.

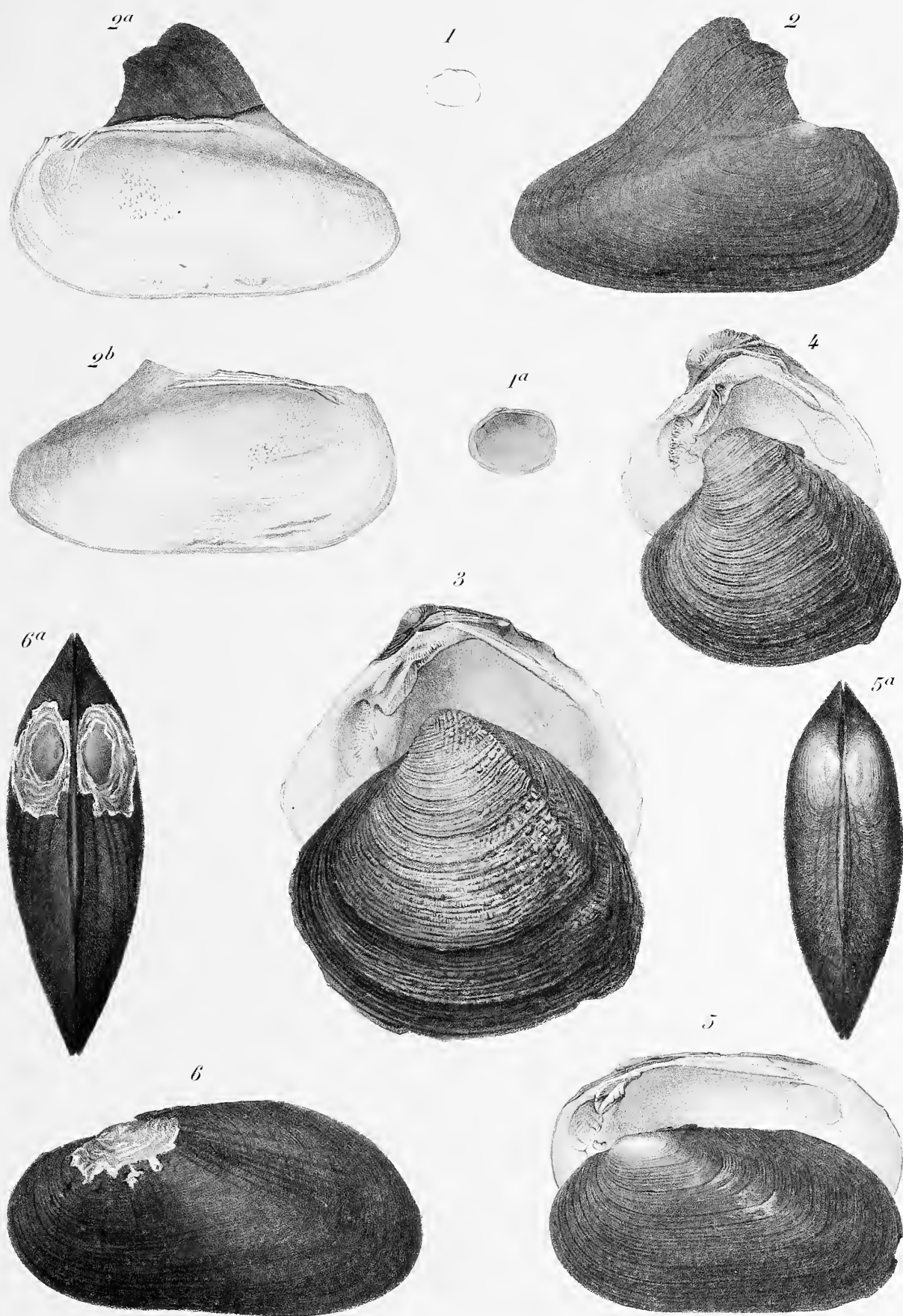
Imprimerie Nationale.

Anodonta, Unio, Dreissensia.

MOLLUSQUES.

PLANCHE LXIII.

- Fig. 1 *Sphærium Yucatanense*, Crosse et Fischer, valve gauche, dessinée au trait, de grandeur naturelle et vue par sa face extérieure.
- Fig. 1 a Même espèce, intérieur de la valve droite, grossie.
- Fig. 2 *Unio delphinulus*, A. Morelet, face externe de la valve droite, grandeur naturelle.
- Fig. 2 a Même espèce, intérieur de la valve droite, avec la portion symphysée de l'aileron de la valve gauche, grandeur naturelle.
- Fig. 2 b Même espèce, intérieur de la valve gauche, dont l'aileron a été cassé et est resté adhérent à la valve droite, grandeur naturelle.
- Fig. 3 *Unio ostreatus*, A. Morelet, face externe de la valve gauche et intérieur de la valve droite, grandeur naturelle.
- Fig. 4 *Unio Usumasintæ*, Crosse et Fischer, face externe de la valve gauche et intérieur de la valve droite, grandeur naturelle.
- Fig. 5 *Unio Calamitarum*, A. Morelet, face externe de la valve gauche et intérieur de la valve droite, grandeur naturelle (var. β , *prolongata*).
- Fig. 5 a Même espèce, vue du côté de la région dorsale, grandeur naturelle (var. β , *prolongata*).
- Fig. 6 *Anodonta Bambousearum*, A. Morelet, face externe de la valve gauche, grandeur naturelle.
- Fig. 6 a Même espèce, vue du côté de la région dorsale, grandeur naturelle.



Arnoul del. et lith.

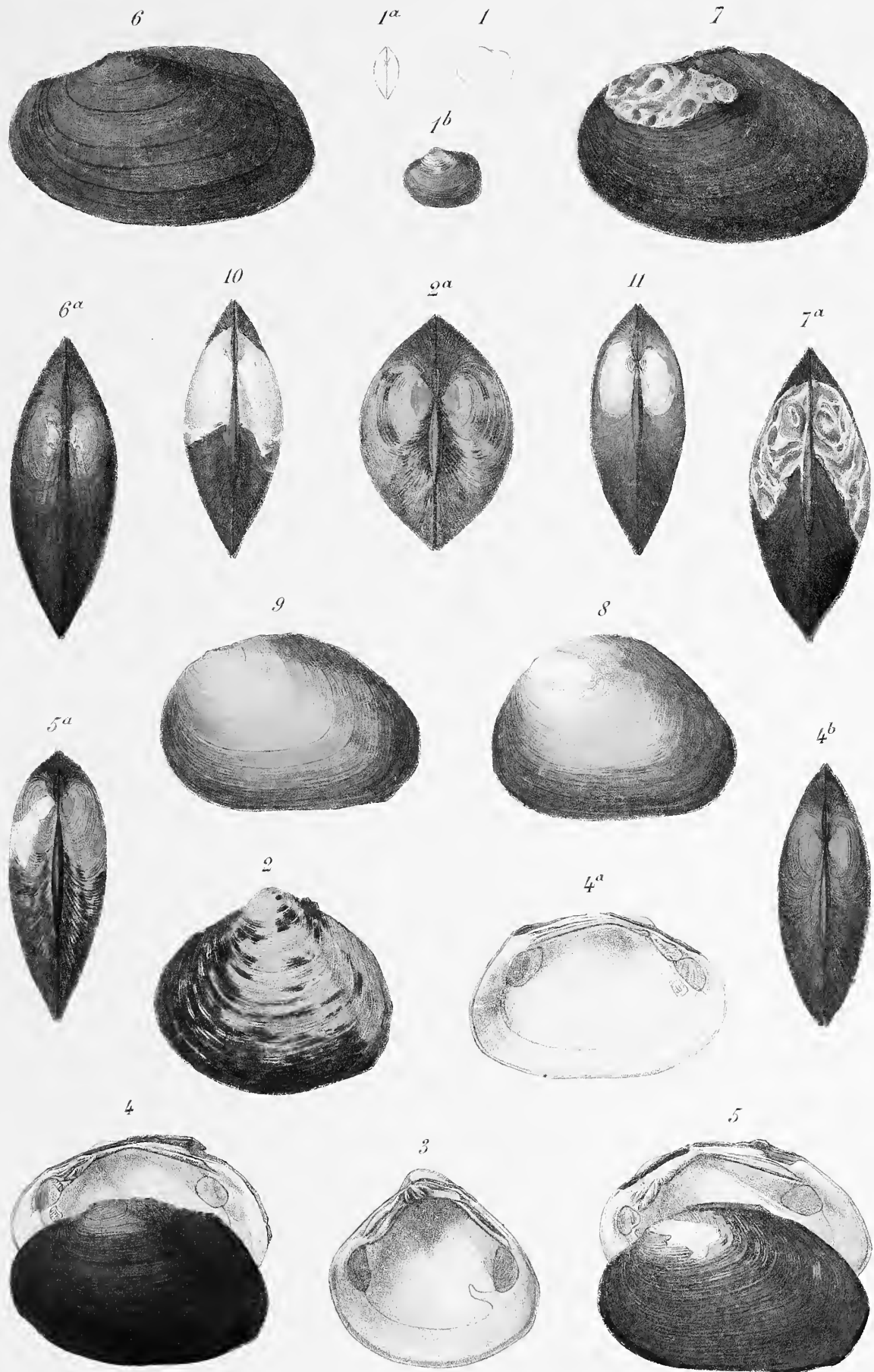
Imprimerie Nationale.

Sphaerium, Unio, Anodonta.

MOLLUSQUES.

PLANCHE LXIV.

- Fig. 1 *Sphaerium Yucatanense*, Crosse et Fischer, face externe de la valve gauche, dessinée au trait et de grandeur naturelle.
- Fig. 1 a. Même espèce, vue du côté de la région dorsale, dessinée au trait et de grandeur naturelle.
- Fig. 1 b. Même espèce, vue du côté de la face externe de la valve gauche et grossie.
- Fig. 2 *Cyrena Nicaraguana*, T. Prime, face externe de la valve gauche, grandeur naturelle.
- Fig. 2 a. Même espèce, vue du côté de la région dorsale, grandeur naturelle.
- Fig. 3 Même espèce; autre spécimen, vu du côté interne de la valve droite, grandeur naturelle.
- Fig. 4 *Unio Izabalensis*, Crosse et Fischer, face externe de la valve gauche et intérieur de la valve droite, grandeur naturelle.
- Fig. 4 a. Même espèce; individu vu du côté de la face interne de la valve gauche, grandeur naturelle.
- Fig. 4 b. Même espèce, vue du côté de la région dorsale, grandeur naturelle.
- Fig. 5 *Unio Calamitarum*, A. Morelet, face externe de la valve gauche et intérieur de la valve droite, grandeur naturelle (var. γ , *arcuans*).
- Fig. 5 a. Même espèce, vue du côté de la région dorsale, grandeur naturelle (var. γ , *arcuans*).
- Fig. 6. *Anodonta lurulenta*, A. Morelet, face externe de la valve gauche, grandeur naturelle.
- Fig. 6 a. Même espèce, vue du côté de la région dorsale, grandeur naturelle.
- Fig. 7 *Anodonta Chalcoensis*, Crosse et Fischer, face externe de la valve gauche, grandeur naturelle.
- Fig. 7 a. Même espèce, vue du côté de la région dorsale, grandeur naturelle.
- Fig. 8 *Anodonta Chapalensis*, Crosse et Fischer, face externe de la valve gauche, grandeur naturelle.
- Fig. 9 Même espèce, face externe de la valve gauche d'un autre individu, grandeur naturelle.
- Fig. 10 Même espèce; autre spécimen, vu du côté de la région dorsale, grandeur naturelle.
- Fig. 11 Même espèce; autre spécimen, vu également du côté de la région dorsale, grandeur naturelle.



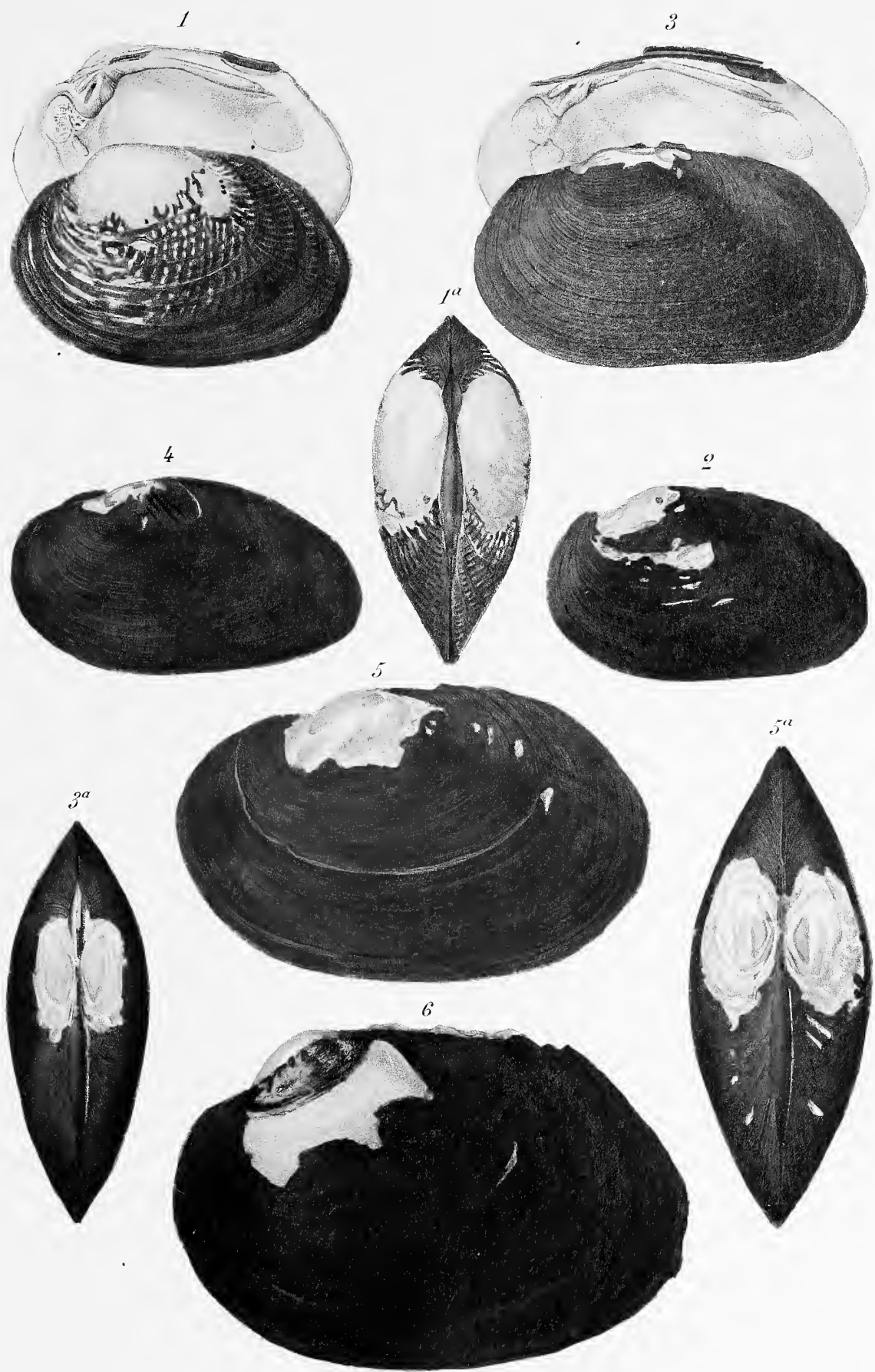
Arnoul del. et lith.

Imprimerie Nationale.

Sphaerium, Cyrena, Unio, Anodonta.

PLANCHE LXV.

- Fig. 1 *Unio pigerrimus*, Crosse et Fischer, face externe de la valve gauche et intérieur de la valve droite, grandeur naturelle.
- Fig. 1 a. Même espèce, vue du côté de la région dorsale, grandeur naturelle.
- Fig. 2 *Unio pliciferus*, I. Lea, face externe de la valve gauche, grandeur naturelle.
- Fig. 3 *Unio Tehuantepecensis*, Crosse et Fischer, face externe de la valve gauche et intérieur de la valve droite, grandeur naturelle.
- Fig. 3 a. Même espèce, vue du côté de la région dorsale, grandeur naturelle.
- Fig. 4 Autre spécimen de la même espèce, face externe de la valve gauche, grandeur naturelle.
- Fig. 5 *Unio alienigenus*, Crosse et Fischer, face externe de la valve gauche, grandeur naturelle.
- Fig. 5 a. Même espèce, vue du côté de la région dorsale, grandeur naturelle.
- Fig. 6 *Unio Tecomatensis*, I. Lea, face externe de la valve gauche, grandeur naturelle.



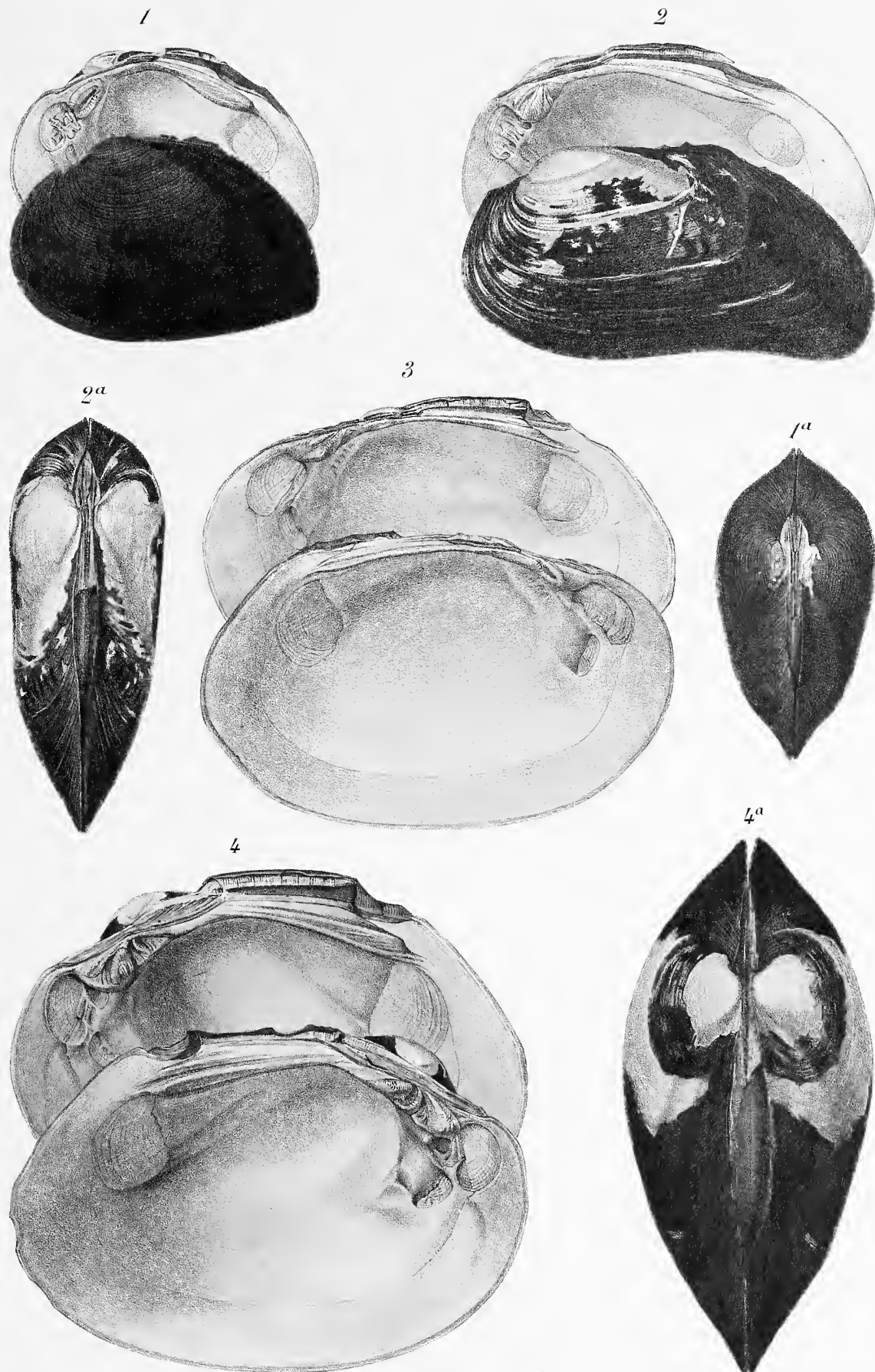
Arnoul del. et lith.

Imprimerie Nationale.

Unio.

PLANCHE LXVI.

- Fig. 1 *Unio opacatus*, Crosse et Fischer, face externe de la valve gauche et intérieur de la valve droite, grandeur naturelle.
- Fig. 1 a. Même espèce, vue du côté de la région dorsale, grandeur naturelle.
- Fig. 2 *Unio sphenorhynchus*, Crosse et Fischer, face externe de la valve gauche et intérieur de la valve droite, grandeur naturelle.
- Fig. 2 a. Même espèce, vue du côté de la région dorsale, grandeur naturelle.
- Fig. 3 *Unio alienigenus*, Crosse et Fischer, intérieur des deux valves, grandeur naturelle.
- Fig. 4 *Unio Tecomatensis*, I. Lea, intérieur des deux valves, grandeur naturelle.
- Fig. 4 a. Même espèce, vue du côté de la région dorsale, grandeur naturelle.



Arnoul del. et lith.

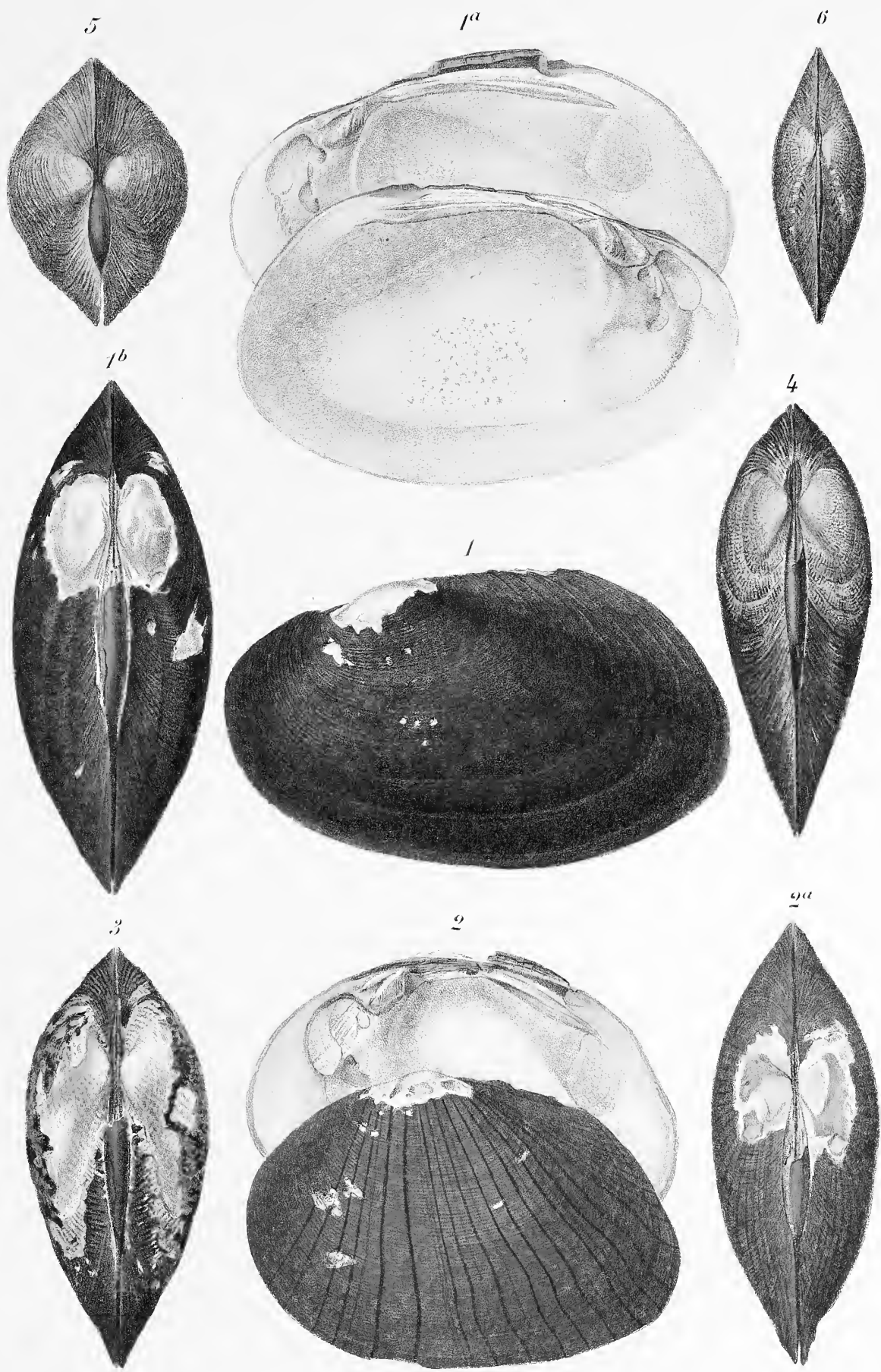
Imprimerie Nationale.

Unio.

MOLLUSQUES.

PLANCHE LXVII.

- Fig. 1. *Unio umbrosus*, Lea, face externe de la valve gauche, grandeur naturelle.
Fig. 1 a. Intérieur des deux valves de la même espèce, grandeur naturelle.
Fig. 1 b. Même espèce, vue du côté de la région dorsale et de grandeur naturelle.
Fig. 2. *Unio computatus*, Crosse et Fischer, face interne de la valve droite et face externe de la valve gauche, grandeur naturelle.
Fig. 2 a. Même espèce, vue du côté de la région dorsale et de grandeur naturelle.
Fig. 3. *Unio Crocodilorum*, A. Morelet, vu du côté de la région dorsale et de grandeur naturelle.
Fig. 4. *Unio Morini*, A. Morelet, vu du côté de la région dorsale et de grandeur naturelle.
Fig. 5. *Unio Usumasintæ*, Crosse et Fischer, vu du côté de la région dorsale et de grandeur naturelle.
Fig. 6. *Unio scutulatus*, A. Morelet, vu du côté de la région dorsale et de grandeur naturelle.



Arnoul del. et lith.

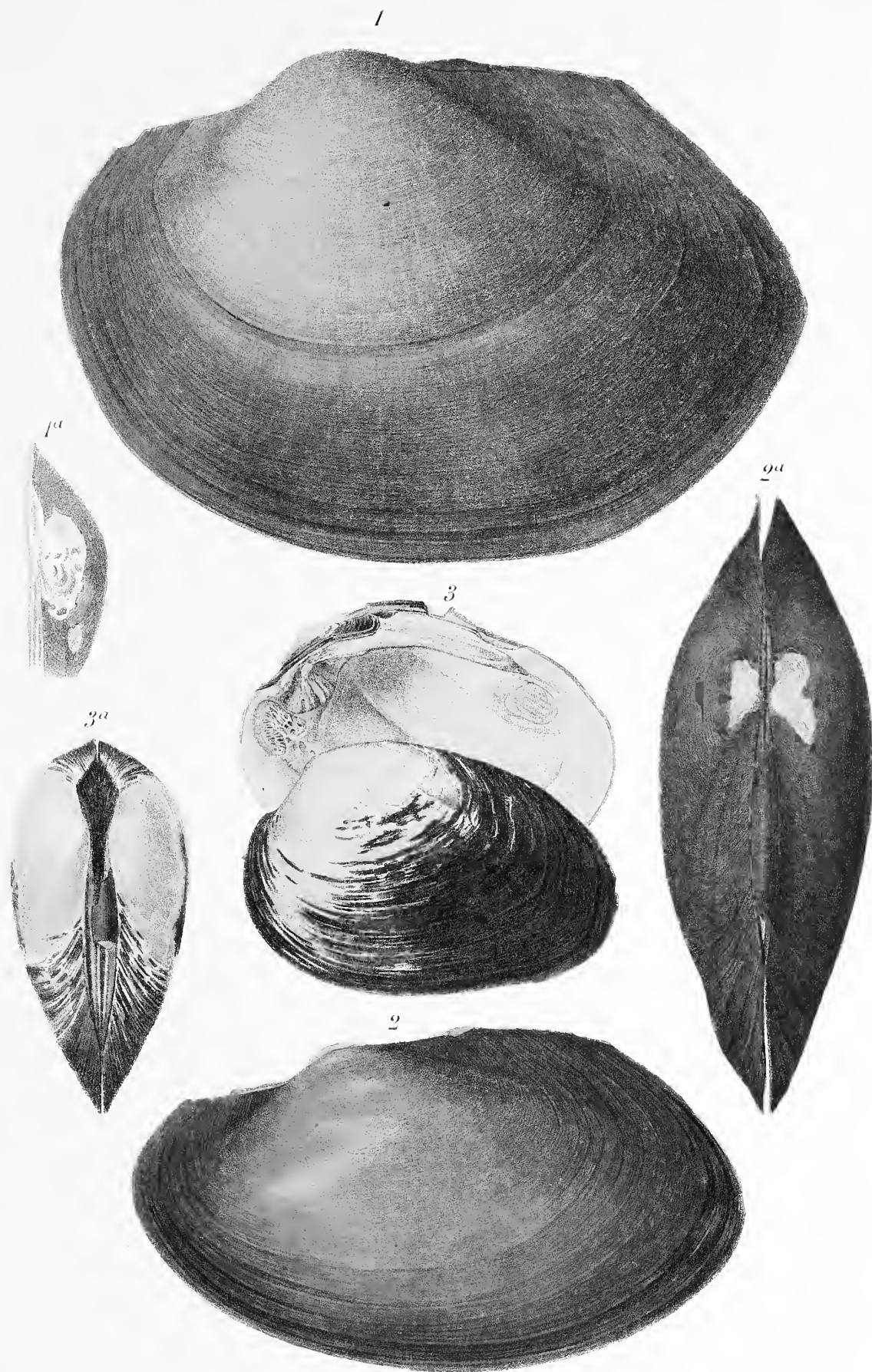
Imprimerie Nationale.

Unio.

MOLLUSQUES.

PLANCHE LXVIII.

- Fig. 1 *Anodonta globosa*, Lea, face externe de la valve gauche, grandeur naturelle.
Fig. 1 a Sommet de la valve droite de la même espèce, grossi.
Fig. 2 *Anodonta ciconia*, Gould, face externe de la valve gauche, grandeur naturelle.
Fig. 2 a Même espèce, vue du côté de la région dorsale et de grandeur naturelle.
Fig. 3 *Unio Sallei*, Crosse et Fischer, face externe de la valve gauche et intérieur de la valve
droite, de grandeur naturelle.
Fig. 3 a Même espèce, vue du côté de la région dorsale et de grandeur naturelle.



Arnoud del. et lith.

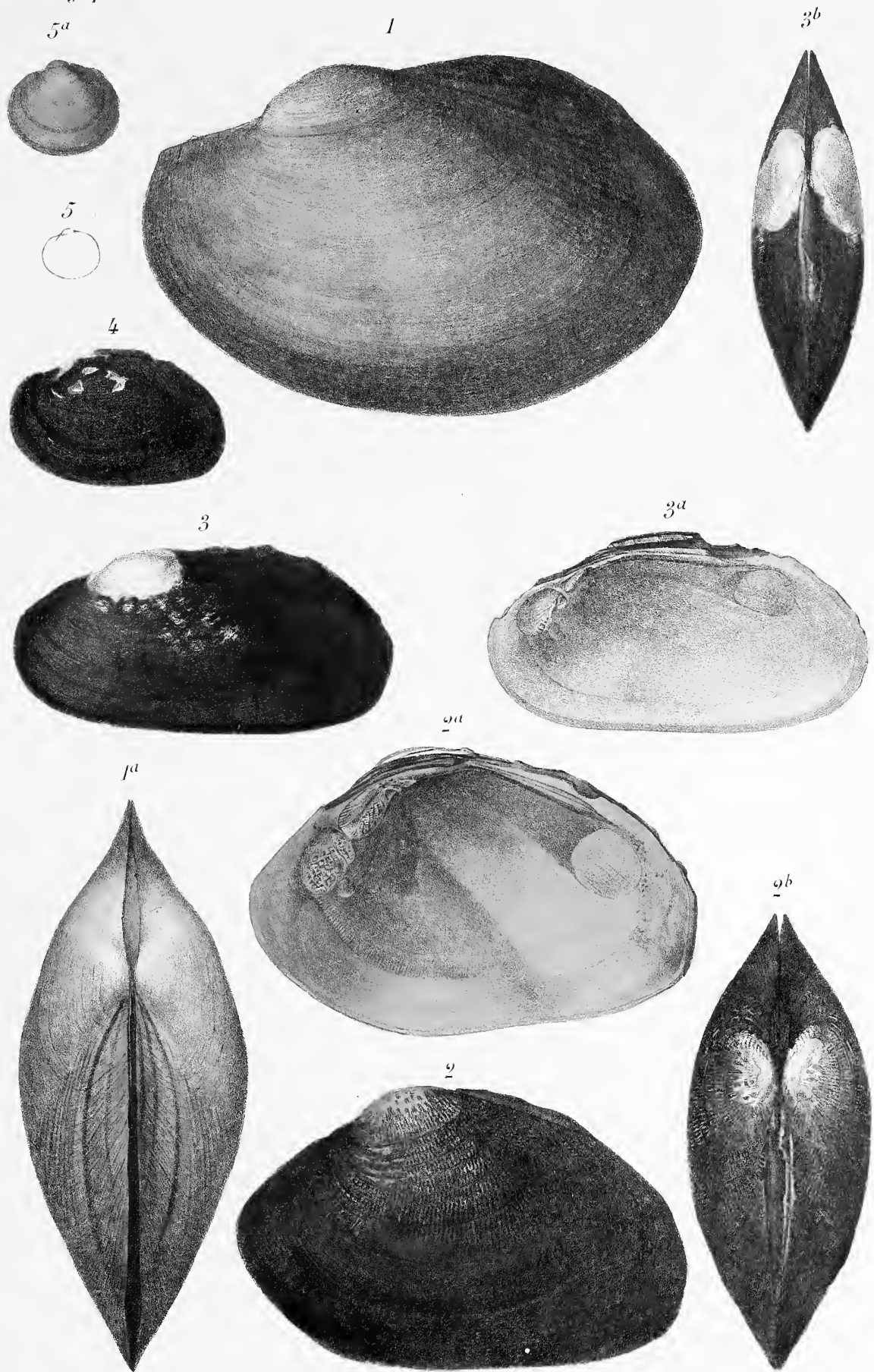
Imprimerie Nationale.

Anodonta unio.

MOLLUSQUES.

PLANCHE LXIX.

- Fig. 1 *Anodonta glauca*, Lamarck, face externe de la valve gauche, grandeur naturelle.
Fig. 1 a Même espèce, vue du côté de la région dorsale et de grandeur naturelle.
Fig. 2 *Unio distinctus*, Crosse et Fischer, face externe de la valve gauche, grandeur naturelle.
Fig. 2 a Même espèce, intérieur de la valve droite, grandeur naturelle.
Fig. 3 *Unio Soledadensis*, Crosse et Fischer, face externe de la valve gauche, grandeur naturelle.
Fig. 3 a Même espèce, intérieur de la valve droite, grandeur naturelle.
Fig. 3 b Même espèce, vue du côté de la région dorsale et de grandeur naturelle.
Fig. 4 *Unio pliciferus*, Lea, var. β , *minor*, face externe de la valve gauche d'un petit individu adulte, grandeur naturelle.
Fig. 5 *Sphaerium subtransversum*, T. Prime, face externe de la valve gauche, dessinée au trait et de grandeur naturelle.
Fig. 5 a Même espèce, face externe de la valve gauche grossie.



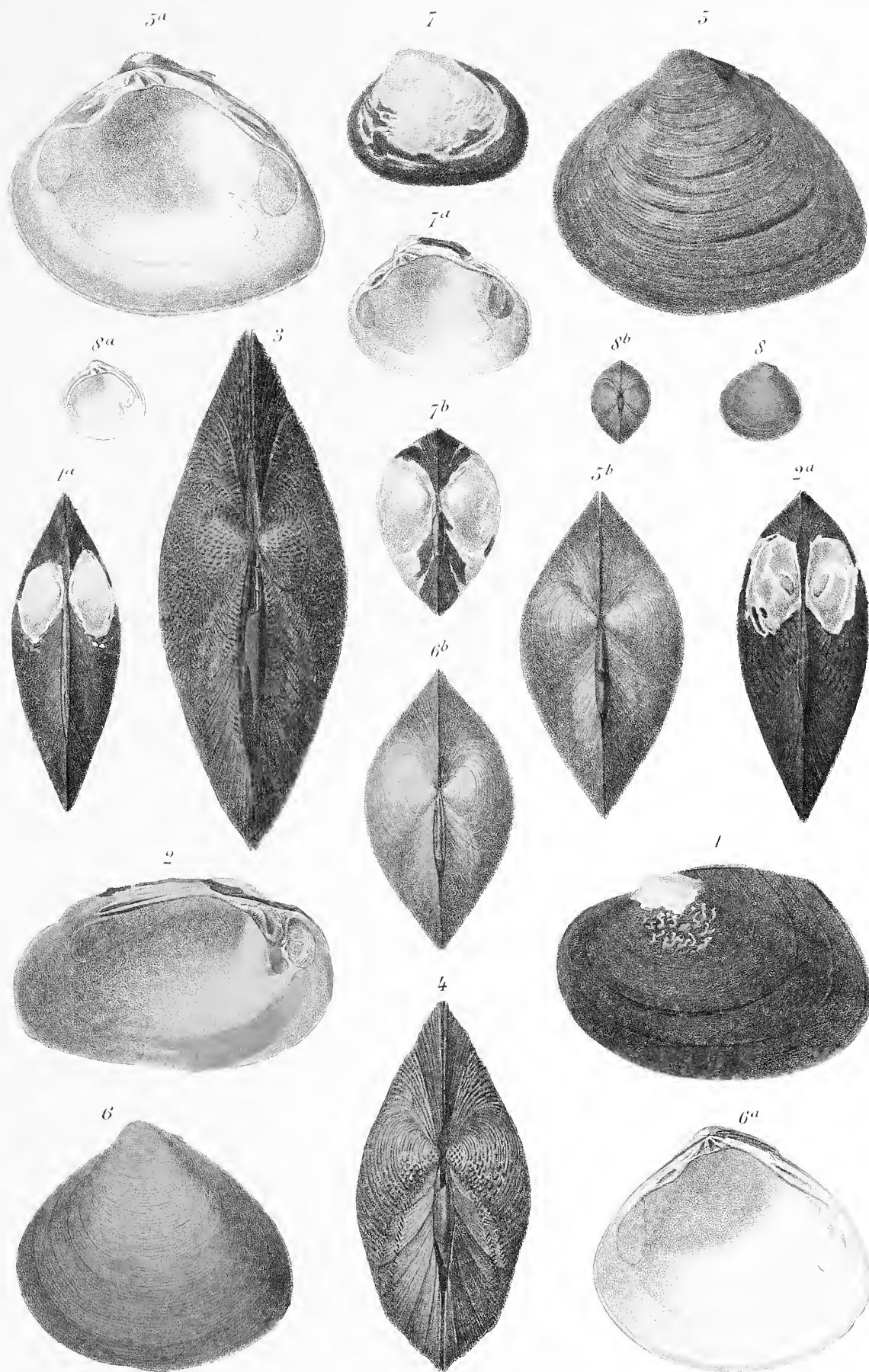
Arnoud del. et lith.

Imprimerie Nationale.

Anodonta, Unio, Sphaerium.

PLANCHE LXX.

- Fig. 1 *Anodonta Tehuantepecensis*, Crosse et Fischer, face externe de la valve gauche, grandeur naturelle.
- Fig. 1 a Même espèce, vue du côté de la région dorsale et de grandeur naturelle.
- Fig. 2 *Unio pliciferus*, Lea, face interne de la valve droite, grandeur naturelle.
- Fig. 2 a Même espèce, vue du côté de la région dorsale et de grandeur naturelle.
- Fig. 3 *Unio testudineus*, A. Morelet, vu du côté de la région dorsale et de grandeur naturelle.
- Fig. 4 *Unio ostreatus*, A. Morelet, vu du côté de la région dorsale et de grandeur naturelle.
- Fig. 5 *Cyrena olivacea*, Carpenter, face externe de la valve gauche, grandeur naturelle.
- Fig. 5 a Même espèce, face interne de la valve droite, grandeur naturelle.
- Fig. 5 b Même espèce, vue du côté de la région dorsale et de grandeur naturelle.
- Fig. 6 *Cyrena triangula*, Von dem Busch, face externe de la valve gauche, grandeur naturelle.
- Fig. 6 a Même espèce, face interne de la valve droite, grandeur naturelle.
- Fig. 6 b Même espèce, vue du côté de la région dorsale et de grandeur naturelle.
- Fig. 7 *Cyrena Mexicana*, Sowerby, face externe de la valve gauche, grandeur naturelle.
- Fig. 7 a Même espèce, face interne de la valve droite, grandeur naturelle.
- Fig. 7 b Même espèce, vue du côté de la région dorsale et de grandeur naturelle.
- Fig. 8 *Corbicula convexa*, Deshayes, face externe de la valve gauche, grandeur naturelle.
- Fig. 8 a Même espèce, face interne de la valve droite, grandeur naturelle.
- Fig. 8 b Même espèce, vue du côté de la région dorsale et de grandeur naturelle.



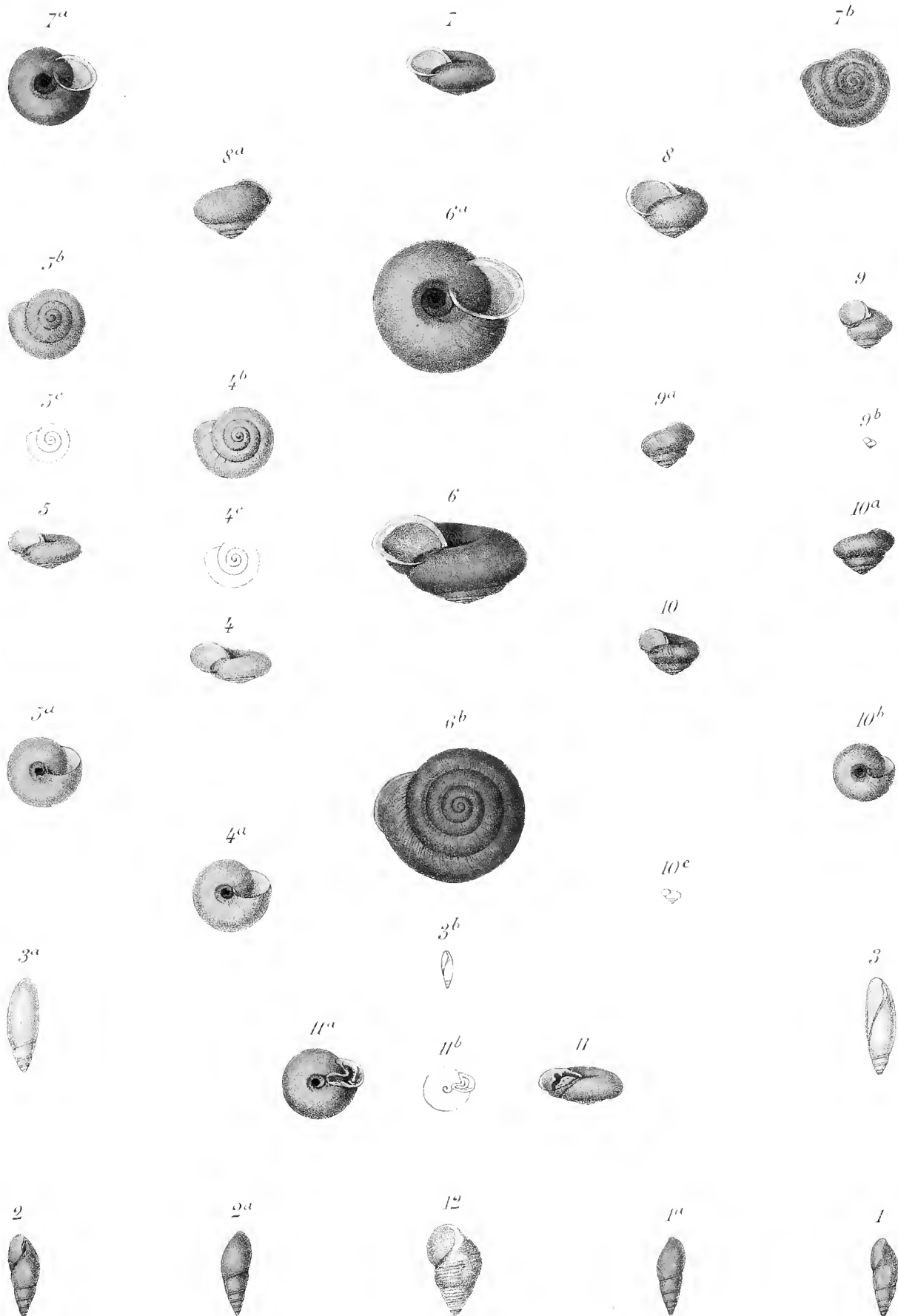
Arnoul del. ex lith.

Imprimerie Nationale.

Anodonta, Unio, Cyrena, Corbicula.

PLANCHE LXXI.

- Fig. 1. *Streptostyla Sargi*, Crosse et Fischer, vu de face.
Fig. 1 a. Même espèce, vue de dos.
Fig. 2. Variété β , *pallidior*, du *Streptostyla Sargi*, Crosse et Fischer, vue de face.
Fig. 2 a. Même variété, vue de dos.
Fig. 3. *Salasiella Joaquinæ*, Strebel, vu de face et grossi.
Fig. 3 a. Même espèce, vue de dos et grossie.
Fig. 3 b. Même espèce, vue de face, dessinée au trait et de grandeur naturelle.
Fig. 4. *Zonites (Zonhyalina) Jalapensis*, Strebel, vu de face et grossi.
Fig. 4 a. Même espèce, vue du côté de l'ombilic et grossie.
Fig. 4 b. Même espèce, vue du côté de la spire et grossie.
Fig. 4 c. Même espèce, vue du côté de la spire, dessinée au trait et de grandeur naturelle.
Fig. 5. *Zonites (Patulopsis) carinatus*, Strebel, vu de face et grossi.
Fig. 5 a. Même espèce, vue du côté de l'ombilic et grossie.
Fig. 5 b. Même espèce, vue du côté de la spire et grossie.
Fig. 5 c. Même espèce, vue du côté de la spire, dessinée au trait et de grandeur naturelle.
Fig. 6. *Helix Sargi*, Crosse et Fischer, vu de face.
Fig. 6 a. Même espèce, vue du côté de l'ombilic.
Fig. 6 b. Même espèce, vue du côté de la spire.
Fig. 7. *Helix Sumichrasti*, Crosse et Fischer, vu de face.
Fig. 7 a. Même espèce, vue du côté de l'ombilic.
Fig. 7 b. Même espèce, vue du côté de la spire.
Fig. 8. *Helix ampla*, Pfeiffer, vu de face.
Fig. 8 a. Même espèce, vue de dos.
Fig. 9. *Helix Guatemalensis*, Crosse et Fischer, vu de face et grossi.
Fig. 9 a. Même espèce, vue de dos et grossie.
Fig. 9 b. Même espèce, vue de face, dessinée au trait et de grandeur naturelle.
Fig. 10. *Helix (Patula) paleosa*, Strebel, vu de face et grossi.
Fig. 10 a. Même espèce, vue de dos et grossie.
Fig. 10 b. Même espèce, vue du côté de l'ombilic et grossie.
Fig. 10 c. Même espèce, vue de face, dessinée au trait et de grandeur naturelle.
Fig. 11. *Helix (Polygyra) unguifera*, Mousson, vu de face et grossi.
Fig. 11 a. Même espèce, vue du côté de l'ombilic et grossie.
Fig. 11 b. Même espèce, vue du côté de l'ombilic, dessinée au trait et de grandeur naturelle.
Fig. 12. *Pachychilus (Potamanax) Rovirosai*, Pilsbry, vu de face.



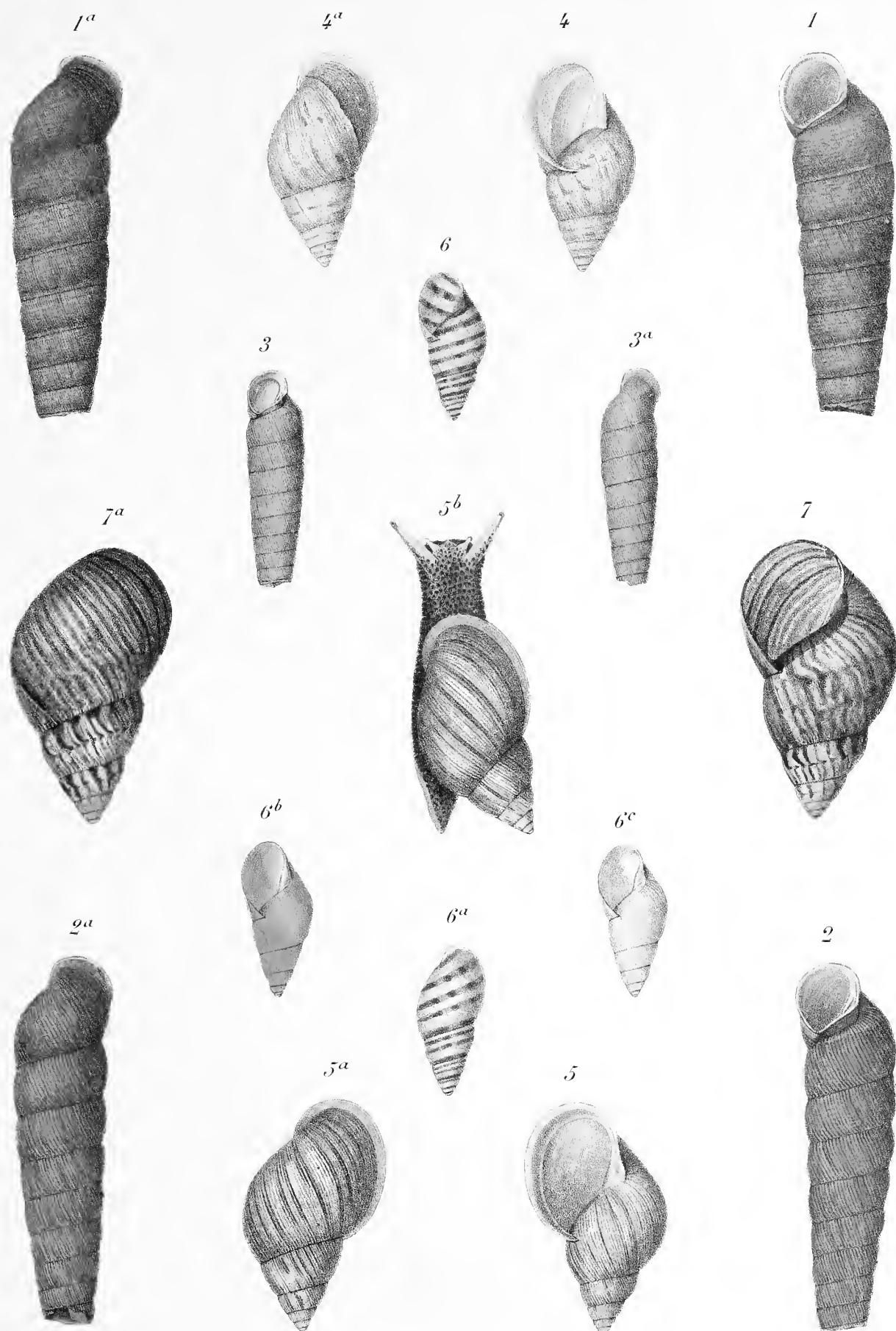
Arnoul del. et lith.

Imprimerie Nationale.

Streptostyla, Salasiella, Zonites, Helix, Pachychilus.

PLANCHE LXXII.

- Fig. 1 *Eucalodium Sumichrasti*, Crosse et Fischer, vu de face.
Fig. 1 a Même espèce, vue de dos.
Fig. 2 Variété β , *minor*, de l'*Eucalodium Blandianum*, Crosse et Fischer, vue de face.
Fig. 2 a Même variété, vue de dos.
Fig. 3 *Eucalodium cereum*, Strebel, vu de face.
Fig. 3 a Même espèce, vue de dos.
Fig. 4 *Bulimulus Forreri*, Mousson, vu de face.
Fig. 4 a Même espèce, vue de dos.
Fig. 5 *Bulimulus Chaperi*, Crosse et Fischer, vu de face.
Fig. 5 a Même espèce, vue de dos.
Fig. 5 b Animal de la même espèce, développé.
Fig. 6 *Bulimulus Palpalocensis*, Strebel, vu de face. Forme typique.
Fig. 6 a Même espèce, vue de dos.
Fig. 6 b Variété β du *Bulimulus Palpalocensis*, Strebel, vue de face.
Fig. 6 c Variété γ du *Bulimulus Palpalocensis*, Strebel, vue de face.
Fig. 7 *Orthalicus zoniferus*, Strebel, vu de face.
Fig. 7 a Même espèce, vue de dos.



Arnoul del. et lith.

imprimerie Nationale.

Eucalodium, Bulimulus, Orthalicus.

Lee

SMITHSONIAN INSTITUTION LIBRARIES



3 9088 00593 9434